

AG171741  
BA\_TH238B



# Caractérisation quantitative des paysages forestiers tropicaux

## Application à l'analyse de la déforestation par l'agriculture sur brûlis

1997

## ANNEXES

CIRAD-Dist  
UNITÉ BIBLIOTHÈQUE  
BAILLARGUET

BA  
TH238B

Anne BRANTHOMME

FIF 5ème promotion



\* TH02820 \*

## TABLE DES ANNEXES

---

### PRESENTATION DES INDICES UTILISES

**1. Indices calculés par FRAGSTATS.**

### IMAGES SATELLITALES ETUDIEES

**2. Images des sites étudiés.**

**3. Images du *Municipio* de Theobroma de 1973 à 1996.**

### COMPARAISON ET CARACTERISATION DES SITES

**4. Matrice de corrélation des indices calculés sur toutes les cellules des images.**

**5. Graphes des indices calculés sur toutes les cellules des sites.**

**6. Classement des indices suivant les F des analyses de variance.**

**7. Graphes de comparaison entre les sites des indices sélectionnés.**

**8. Tableau des indices calculés sur l'intégralité des images.**

**9. Graphes des indices sélectionnés calculés sur l'intégralité des images.**

**10. Tableaux et grilles de variabilité interne des sites.**

**11. Caractéristiques spatiales des motifs de paysage identifiés sur les sites.**

### ETUDE SPATIO-TEMPORELLE DU SITE DE THEOBROMA

**12. Stratification de l'image du municipio de Theobroma pour l'analyse temporelle.**

**13. Tableau des indices calculés sur l'intégralité de l'image du *Municipio* de Theobroma entre 1973 à 1996.**

**14. Tableau des indices calculés sur les deux zones du *Municipio* de Theobroma entre 1973 et 1996.**

# **PRÉSENTATION DES INDICES UTILISÉS**

---

## 1. Indices calculés par FRAGSTATS

La plupart des indices ont été calculés à l'aide du logiciel FRAGSTATS, qui est un programme d'analyse des motifs spatiaux destiné à quantifier la structure du paysage.

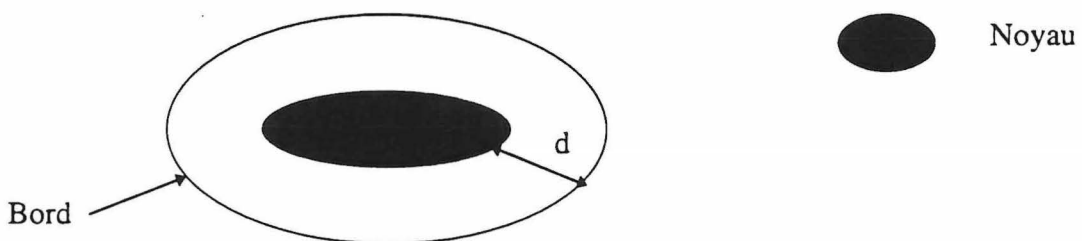
Ce logiciel appartient au domaine public. Il a été mis au point par K. Mc GARICAL et B. J. MARKS (Forest Science Department, Oregon State University) en 1994.

FRAGSTATS calcule trois groupes de métriques pour une mosaïque de paysage donnée, correspondant à trois niveaux de perception différents : certaines statistiques sont calculées pour chaque patch de la mosaïque (niveau du patch); d'autres sont calculées sur chaque classe de patch qui regroupe l'ensemble des polynômes de même type (niveau de la classe); le troisième groupe de métriques concerne le paysage dans sa globalité (niveau du paysage).

**FRAGSTATS calcule plusieurs types d'indices :**

- des indices de surface;
- des indices de densité, de taille et de variabilité des patches;
- des indices de bords;
- des indices de forme;
- des indices de surface du noyau;
- des indices du plus proche voisin;
- des indices de diversité;
- des indices de contagion et d'interspersion.

Le **noyau** est la partie interne à un patch, située à une distance  $d$ , définie par l'utilisateur, du bord du patch.



**Les indices fractals :**

La dimension fractale d'un paysage (Turner et Ruscher, 1988) est égale au double de la pente de la droite issue de la régression linéaire  $\log(p/4)$  par  $\log(s)$  où  $p$  et  $s$  sont respectivement le périmètre et la surface des patches composant le paysage. Le périmètre est donc relié à l'aire par la relation  $P \sim A^{(1/2)D}$ ,  $D$  étant la dimension fractale.

La dimension fractale peut théoriquement varier de 1.0 à 2.0, 1.0 représentant le périmètre linéaire d'un carré parfait et 2.0 représentant un périmètre très complexe possédant la même aire. La dimension fractale  $D$  caractérise donc le degré de complexité de formes planes par une méthode rapport périmètre sur surface.

Il faut cependant se garder d'une interprétation trop hâtive de la dimension fractale : la dimension fractale d'une famille d'objets, aussi complexes soient-ils, vaudra toujours 1 si ces objets sont homothétiques. Ceci laisse à penser que la dimension fractale ne mesure pas la complexité des formes d'un paysage mais plutôt la variabilité de cette complexité (Delcros, 1993). On peut donc interpréter la dimension fractale comme une mesure de la complexité, dans la mesure où la variabilité de la complexité est constante. Il serait peut-être plus exact de concevoir la dimension fractale comme une sorte de révélateur à la fois de complexité des formes des patches et de leur variabilité intrinsèque.

**Tableau des indices calculés par le logiciel FRAGSTATS**

Type d'indice	Nom de l'indice	Abréviation utilisée	Niveau (patch/ classe/ paysage)	Unité	Description	Signification / utilisation possible Configuration/Composition
Métriques de surface	Area	AREA	Patch	ha	Mesure la surface de chaque patch.	Composition
	Landscape Similarity Index	LSI	Patch	%	Pourcentage de paysage occupé par les patches de la même classe.	Composition
	Class Area	CA	Classe	ha	Mesure la surface de la classe.	Composition
	Percent of Landscape	%LAND	Classe	%	Représente le pourcentage de surface occupée par la classe considérée dans le paysage. Cette mesure, est influencée par le grain de l'image (résolution)	Cette mesure est importante pour beaucoup d'applications écologiques, comme la perte qualitative d'habitats suite à la fragmentation de l'habitat, l'étude de la surface minimale requise par une espèce. Elle apparaît intéressante dans le cadre d'une étude de la fragmentation du couvert forestier.
	Total Area	TA	Classe/Paysage	ha	Cette métrique correspond à la surface totale du paysage.	Composition
	Largest Patch Index	LPI	Classe/Paysage	%	Correspond au pourcentage occupé par le plus grand patch de la classe dans le paysage, ou le plus grand patch dans le paysage. Cet indice est influencé par la résolution de l'image.	Composition
Métriques de densité, de taille et de variabilité	Number of Patches	NP	Classe/Paysage		Cette mesure correspond au nombre de patches d'une classe ou présent dans le paysage. L'indice est influencé par la résolution de l'image.	Il traduit la configuration du paysage et peut notamment permettre de quantifier la division des habitats. Il peut servir d'indice de l'hétérogénéité spatiale pour l'ensemble de la mosaïque du paysage.
	Patch Density	PD	Classe/Paysage	/100 ha	Mesure la densité de patches d'une classe en particulier ou toutes classes confondues, dans le paysage.	Peut être un bon indice de fragmentation. Traduit la configuration.
	Mean Patch Size	MPS	Classe/Paysage	ha	L'indice est un calcul de la moyenne de la taille des patches d'une classe., ou de tous les patches du paysage. Il est affecté par le grain de l'image.	Il peut servir comme indice de fragmentation des habitats.

	Patch Standard Deviation	Size	PSSD	Classe/Paysage	ha	Représente l'écart type de la surface des patches dans la classe ou dans le paysage.	Il traduit la variabilité de la taille des patches dans une classe donnée. C'est une mesure de variabilité absolue. Elle est nulle lorsque tous les patches de la classe sont de la même taille ou lorsqu'il n'y a qu'un patch de la classe dans le paysage.
	Patch Coefficient of Variation	Size	PSCV	Classe/Paysage	%	Correspond au coefficient de variation de la taille des patches dans la classe ou dans le paysage.	Il mesure la variabilité de la taille des patches autour de la moyenne des patches d'une classe. Il est nul lorsqu'il n'y a pas de variabilité de la classe dans le paysage.
Métriques de bords	Perimeter	PERIM	Patch	m	Mesure le périmètre d'un patch.	Configuration.	
	Edge Contrast Index	EDGECON	Patch	%	Somme des longueurs contrastées des bordures d'un patch.	L'indice mesure le degré de contraste entre un patch et son voisinage immédiat.	
	Total Edge	TE	Classe/Paysage	m	Somme des longueurs des bordures de tous les patches d'une classe ou du paysage.	Configuration.	
	Edge Density	ED	Classe/Paysage	m/ha	L'indice représente la somme des longueurs de tous les segments de bordure des patches de la classe donnée, ou de tous les patches divisée par l'aire totale du paysage. Il est affecté par la résolution de l'image : plus la résolution est fine. Plus la longueur des haies est importante.	Il peut être utilisé pour l'étude des relations entre la faune et les bordures, des effets de lisière, des effets de la fragmentation des forêts sur les organismes. Cet indice évolue en relation avec le degré d'hétérogénéité spatiale dans le paysage.	
	Contrast-Weighted Edge Density	CWED	Classe/Paysage	m/ha	Correspond à la somme des EDGECON, calculés sur les patches d'une classe ou de l'ensemble du paysage, divisée par la surface du paysage.	Configuration	
	Total Edge Contrat Index	TECI	Classe/Paysage	%	Somme des longueurs contrastées des bordures des patches de la classe ou du paysage.		
	Mean Edge Contrast Index	MECI	Classe/Paysage	%	Quantifie la moyenne des longueurs contrastées des bordures sur les patches d'une classe ou de tout le paysage.		
	Area-Weighted Mean Edge Contrats Index	AWMECI	Classe/Paysage	%	Correspond au MECI pondérée par la surface des patches.	Cet indice est plus approprié que le MECI lorsque les grands patches jouent un rôle prépondérant pour le phénomène étudié.	

Type d'indice	Nom de l'indice	Abréviation utilisée	Niveau (patch/ classe/ paysage)	Unité	Description	Signification / utilisation possible Configuration/Composition
<b>Métriques de forme</b>	Shape index	SHAPE	Patch		Mesure la complexité de la forme des patches comparée à une forme standard (carrée dans le cas d'une version raster, circulaire dans le cas de la version vecteur).	Mesure de la complexité de forme d'un patch. (Index de Patton.)
	Fractal Dimension	FRACT	Patch		Dimension fractale de chaque patch par une relation périmètre/surface;	Quantifie le degré de complexité d'un polygone. Valeur comprise entre 1 et 2.
	Landscape Shape Index	LSI	Classe/Paysage		<p>Le LSI évalue la quantité de bords dans un paysage, relativement à la quantité de bords qui pourrait être présente dans un paysage de la même taille, mais avec des formes géométriques simples (carré dans le cas d'une image raster). Il est basé sur des relations périmètre-aire.</p> <p>Cet indice correspond l'index de Patton (1975). Il peut-être utilisé pour comparer des images de tailles différentes, et est affecté par la résolution (surestimation des longueur des images en mode raster).</p>	<p>L'indice augmente avec l'irrégularité du paysage et/ou quand la longueur de la bordure à l'intérieur du paysage augmente.</p> <p>Cet index mesure la complexité, plus que la morphologie : des patches ayant des structures très différentes pourront avoir les mêmes Shape Index.</p> <p>LSI est toujours supérieur ou égal à 1; il est égal à 1 lorsque le paysage est constitué d'un unique patch du type correspondant et carré.</p>
	Mean Shape Index	MSI	Classe/Paysage		Cet index mesure la moyenne des SHAPE ou moyenne des perimeter-to-area-ratios (des rapports périmètre sur surface).	<p>C'est un indice de complexité des patches, en comparaison avec une forme standard simple (carrée en mode raster).</p> <p>MSI est toujours supérieur ou égal à 1. Il augmente sans limite au fur et à mesure que l'irrégularité de forme croît.</p>
	Area-Weighted Mean Shape Index	AWMSI	Classe/Paysage		<p>Cet index est calculé par pondération des MSI en fonction de leur surface. Cet index peut-être plus approprié que MSI dans le cas où les patches de grandes tailles jouent un rôle prépondérant dans la fonction du paysage, en relation avec le phénomène considéré.</p> <p>L'index diffère suivant que l'image est en mode raster ou vecteur; les longueurs des périmètre sont biaisées (surestimation pour les images raster).</p>	L'index n'est pas sensible à la morphologie des patches.
	Double log Fractal Dimension	DLF D	Classe/Paysage		<p>Cet index, D, est calculé par régression logA, Log P : <math>\log A = 2/D \log P + k</math>. 2/D est la pente.</p> <p>Cette méthode n'est valable que si l'échantillon est suffisamment important: le nombre de patches doit être supérieur ou égal à 20 dans le paysage.</p>	DLFD est compris entre 1 et 2.

	Mean Fractal Dimension Patch	MPFD	Classe/Paysage		Représente la moyenne des dimensions fractales D des patches.	1<=MPFD<=2
	Area-Weighted Mean Fractal Dimension Patch	AWMPFD	Classe/Paysage		L'indice est calculé de la même façon que MPFD mais les indices sont pondérés en fonction de leur taille.	
Indices de la surface du noyau	Core Area	CORE	Patch	ha	Mesure la surface interne à un patch au de là d'une certaine distance de la bordure définie par l'utilisateur (le noyau).	Reflète à la fois la composition et la configuration.
	Number of Core areas	NCORE	Patch		Nombre de noyaux à l'intérieur d'un patches.	
	Core Area Index	CAI	Patch	%	Pourcentage du patch inclu dans un noyau.	
	Core Area percent of Landscape	%CLAND	Classe	%	Pourcentage de surface occupé par les noyaux d'une classe dans le paysage.	
	Total Core Area	TCA	Class/Paysage	ha	Surface occupée par les noyaux des patches d'une classe ou de tout le paysage.	
	Number of Core Areas	NCA	Class/Paysage		Nombre de noyaux d'une classe ou du paysage.	
	Core Area Density	CAD	Class/Paysage	/100ha	Densité de noyaux d'une classe ou de toutes les classes dans le paysage.	
	Mean Core Area per Patch	MCA1	Classe/Paysage	ha	Moyenne de la surface des noyaux pour une classe donnée ou toutes classes confondues. Si un patch comporte plusieurs noyaux, c'est la surface totale pour le patch qui est retenue pour le calcul de la moyenne.	
	Patch Core Area Standard Deviation	CASDI	Classe/Paysage	ha	Ecart-type de la surface des noyaux d'une classe ou de toutes les classes. Idem MCA1	
	Patch core area coefficient of Variation	CACVI	Classe/Paysage	%	Coefficient de variation de la surface des noyaux d'une classe ou de toutes les classes. Idem MCA1	
	Mean Core Area per Disjunct Core	MCA2	Classe/Paysage	ha	Moyenne de la surface des noyaux pour une classe donnée ou toutes classes confondues. Si un patch comporte plusieurs noyaux, chacun des noyaux est considéré le calcul de la moyenne.	

Type d'indice	Nom de l'indice	Abréviation utilisée	Niveau (patch/ classe/ paysage)	Unité	Description	Signification / utilisation possible Configuration/Composition
	Disjunct Core Area Standard Deviation	CASD2	Classe/Paysage	ha	Ecart-type de la surface des noyaux d'une classe ou de toutes les classes. Idem MCA2	
	Disjunct Core Area Coefficient of Variation	CACV2	Classe/Paysage	%	Coefficient de variation de la surface des noyaux d'une classe ou de toutes les classes. Idem MCA2	
	Total Core Area Index	TCAI	Classe/Paysage	%	Quantifie le pourcentage de la classe ou du paysage occupé par les noyaux d'une classe ou de toutes les classes dans le paysage.	
	Mean Core Area Index	MCAI	Classe/Paysage	%	Correspond à la moyenne de surface des noyaux dans la classe ou dans le paysage.	
Métriques du plus proche voisin	Nearest-Neighbor Distance	NEAR	Patch	m	Distance d'un patch au plus proche voisin de la même classe.	
	Proximity Index	PROXIM	Patch		L'indice est calculé en sommant la surface des patches de la classe du patch considéré, compris dans un cercle de rayon défini par l'utilisateur.	
	Mean Nearest-Neighbor Distance	MNN	Classe/Paysage	m	MNN représente la moyenne des distances au plus proche voisin du même type, de chaque patch de la classe. Ce calcul n'est possible que si le nombre de patches de la classe est supérieur à 2.	Généralement, cet indice ne caractérise pas très bien l'ensemble du paysage, surtout lorsque le paysage ne contient que très peu de type. Il n'est pas très significatif si la distribution est complexe.
	Nearest-Neighbor Standard Deviation	NNSD	Classe/Paysage	m	L'indice correspond à l'écart-type des MNN. Il mesure la dispersion des patches.  Il dépend de la taille du paysage.	Si NNSD est faible, la distribution des patches de la classe est régulière, uniforme. Si elle est grande, la distribution est irrégulière. L'application d'un tel indice peut-être de déterminer l'origine anthropique ou naturelle de la perturbation qui a contribué à la distribution des patches. Cet indice est difficile à interpréter sans le mettre en relation avec les MNN. Il est généralement grand dans les paysages réels : il est alors plus informatif de regarder la distribution elle-même.

	Nearest-Neighbor Coefficient of Variation	NNCV	Classe/Paysage	%	NNCV mesure le coefficient de variation des MNN i.e. la variabilité relative autour de la moyenne. L'indice dépend de la taille du paysage. Comme tous les indices de plus proche voisin, il ne prend pas en compte l'extérieur du paysage.	Il est souvent préférable à NNSD pour comparer la variabilité entre les paysages.
	Mean Proximity Index	MPI	Classe/Paysage		Il est calculé en sommant la surface des patches de la classe du patch considéré, compris dans un cercle de rayon défini par l'utilisateur. Une moyenne de ces sommes est alors réalisée. Le calcul est biaisé pour les patches localisés près de la bordure du paysage (ce problème est fonction de l'échelle). L'indice est significatif si le rayon a une interprétation.	Cet index quantifie le contexte spatial d'un habitat en relation à ses voisins et distingue les distributions dispersée de petits patchs des configurations formées par un groupe de plus gros patchs. Il mesure le degré d'isolation d'un patch et le degré de fragmentation. La valeur absolue de l'index a peu de signification. Il doit être utilisé par comparaison.
Métriques de diversité	Shannon's Diversity Index	SHDI	Paysage			L'indice de diversité de Shannon, représente la quantité d'"informations" par patches. Il est utilisé pour comparer différents paysages, et se rapportent au nombre de types de classes présente dans le paysage. Il est relatif à la richesse.
	Simpson's Diversity Index	SIDI	Paysage			L'index de diversité de Simpson, représente la probabilité pour que n'importe quels types sélectionné aléatoirement soient différents
	Modified Simpson's Diversity Index	MSIDI	Paysage			Composition
	Patch Richness	PR	Paysage		Mesure le nombre de type de patch présent.	Composition
	Patch Richness Density	PRD	Paysage	/100 ha	Densité de type de paysage.	Composition
	Relative Patch Richness	RPR	Paysage	%	Pourcentage du nombre maximum de type ed patch dans le paysage.	Composition
	Shannon's Evenness Index	SHEI	Paysage			Traduit la composition
	Simpson's Evenness Index	SIEI	Paysage			Composition
	Modified Simpson's Evenness Index	MSIEI	Paysage			Composition
Métriques de contagion et d'interspersion	Interspersion and Juxtaposition Index	IJI	Classe/Paysage	%	Mesure si un type de patch est également à tous les autres types ou pas.	
	Contagion index	CONTAG	Paysage	%	Cet indice mesure si les éléments du paysage sont agrégés ou dispersés.	Si CONTAG fort, le paysage a quelques grands patchs continus. Si CONTAG faible, il présente beaucoup de petits patchs dispersé.

## **IMAGES SATELLITALES ÉTUDIÉES**

---

**2. Images des sites étudiés**

**Annexe 2a : Image du site de Pedro Peixoto.**

**Annexe 2b : Image du site de Theobroma.**

**Annexe 2c : Image du site de Yurimaguas.**

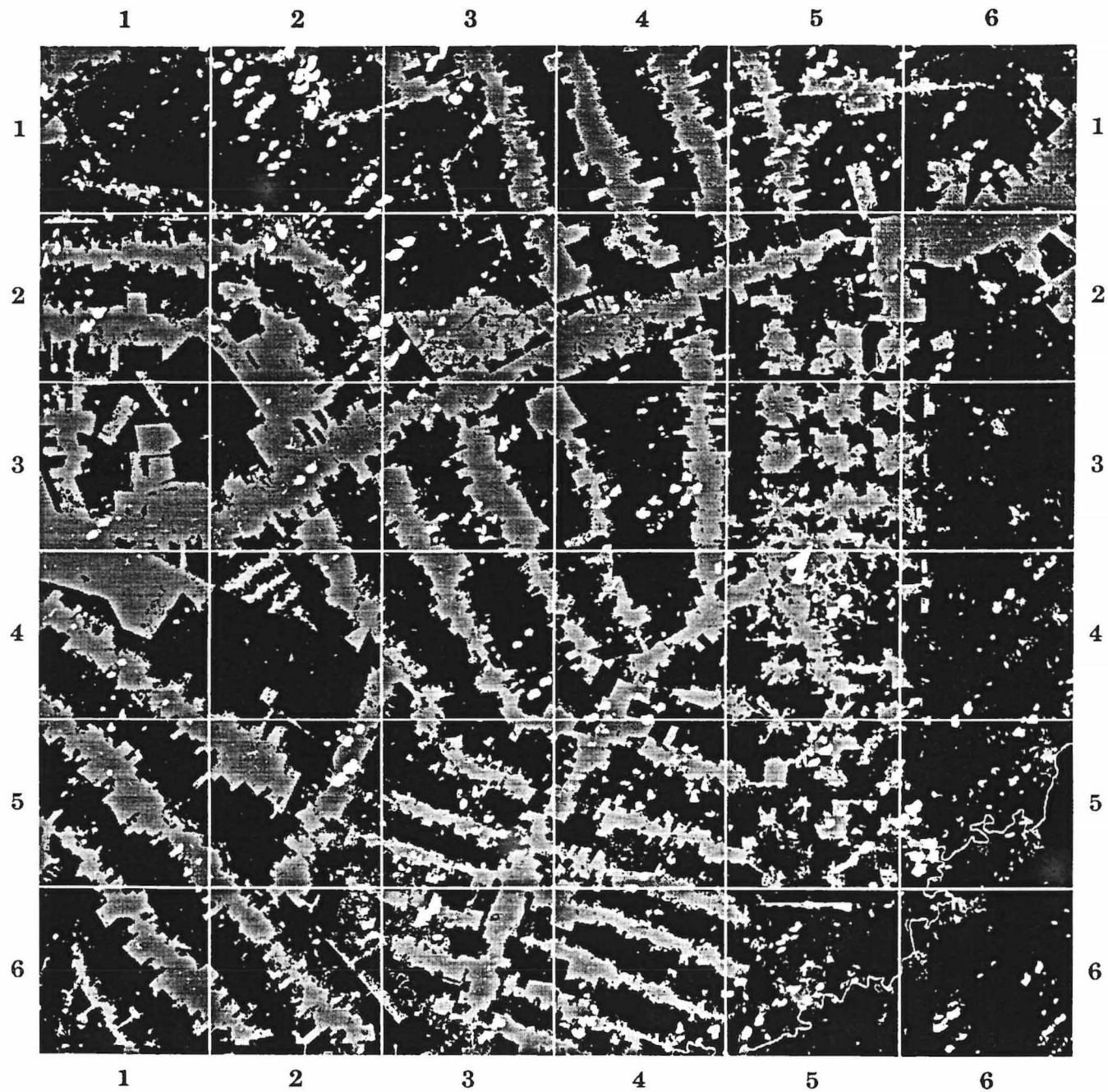
**Annexe 2d : Image du site de Pucallpa.**

**Annexe 2e : Image du site de Ambam.**

**Annexe 2f : Image du site de Yaoundé.**

**Annexe 2g : Image du site de Lampung.**

## PEDRO PEIXOTO 1996



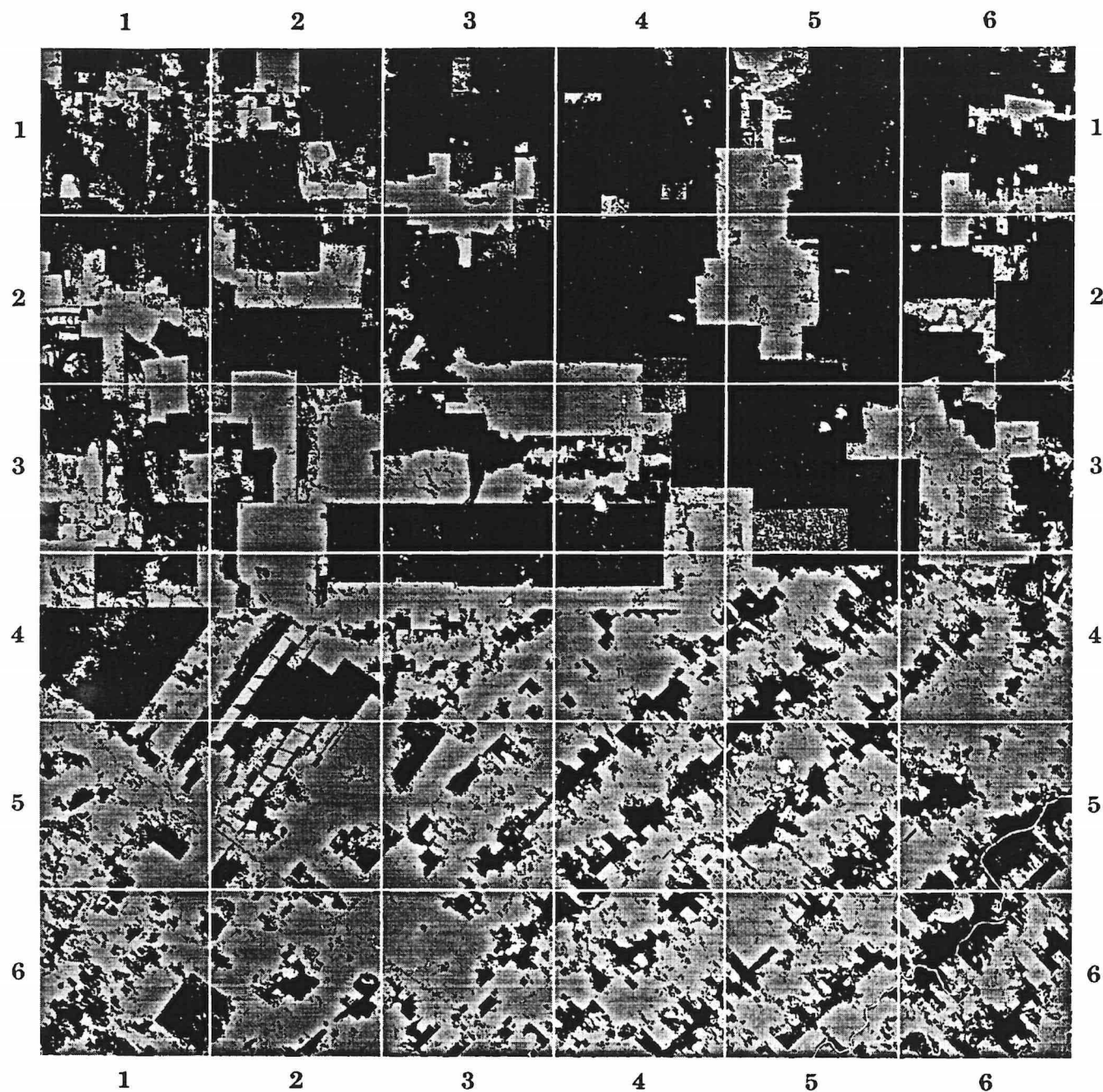
- [Solid black square] Forêt
- [Dark gray square] Domaine agricole
- [White square] Autre (Nuage, eau, ville...)

8 km



Image SPOT XS

## THEOBROMA 1996



Forêt

Domaine agricole

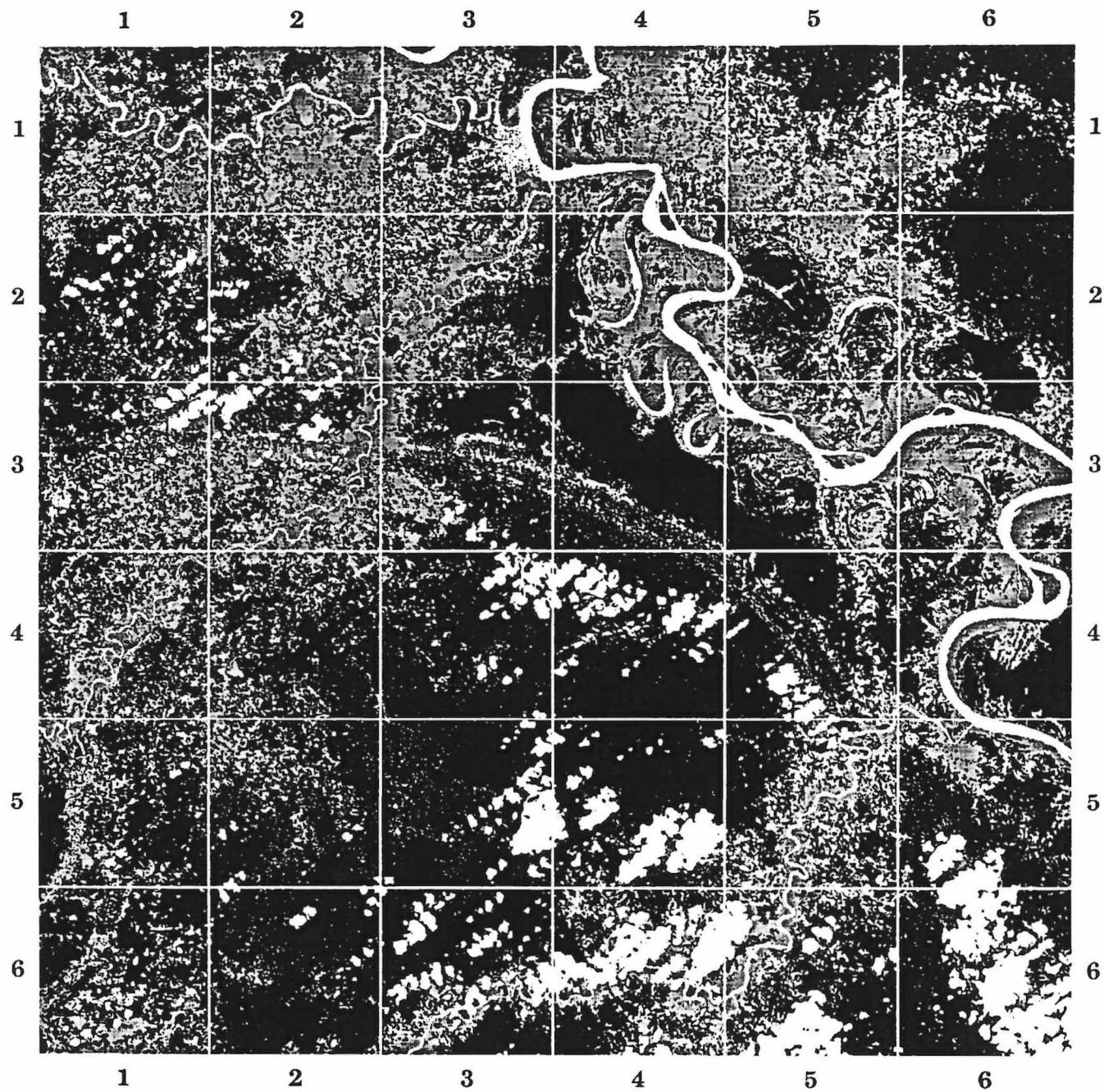
Autre (Nuage, eau, ville...)

8 km



Image SPOT XS

## YURIMAGUAS 1995



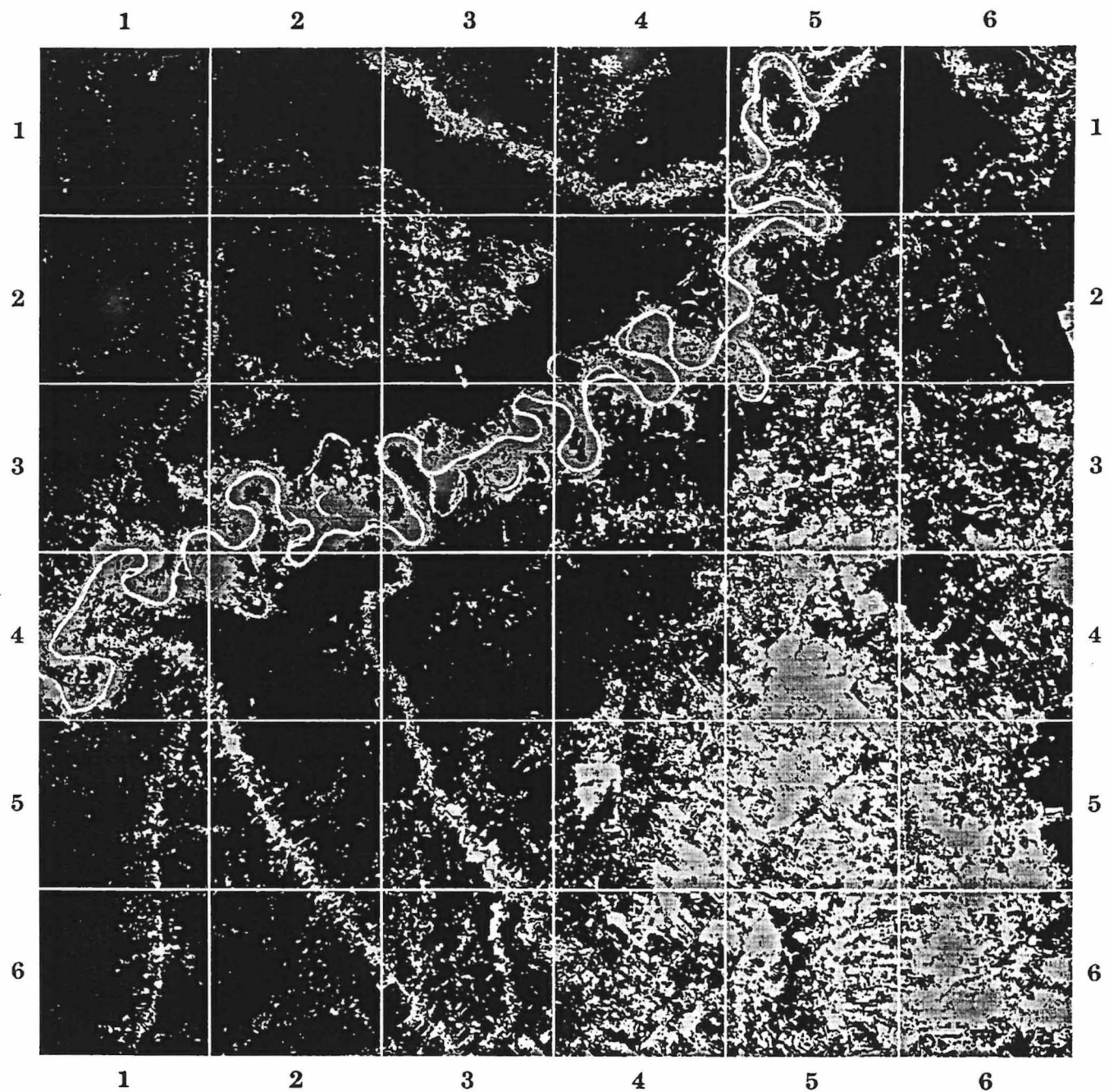
- [Solid black square] Forêt
- [Dotted gray square] Domaine agricole
- [White square] Autre (Nuage, eau, ville...)

8 km



Image SPOT XS

## PUCALLPA 1996



Forêt

Domaine agricole

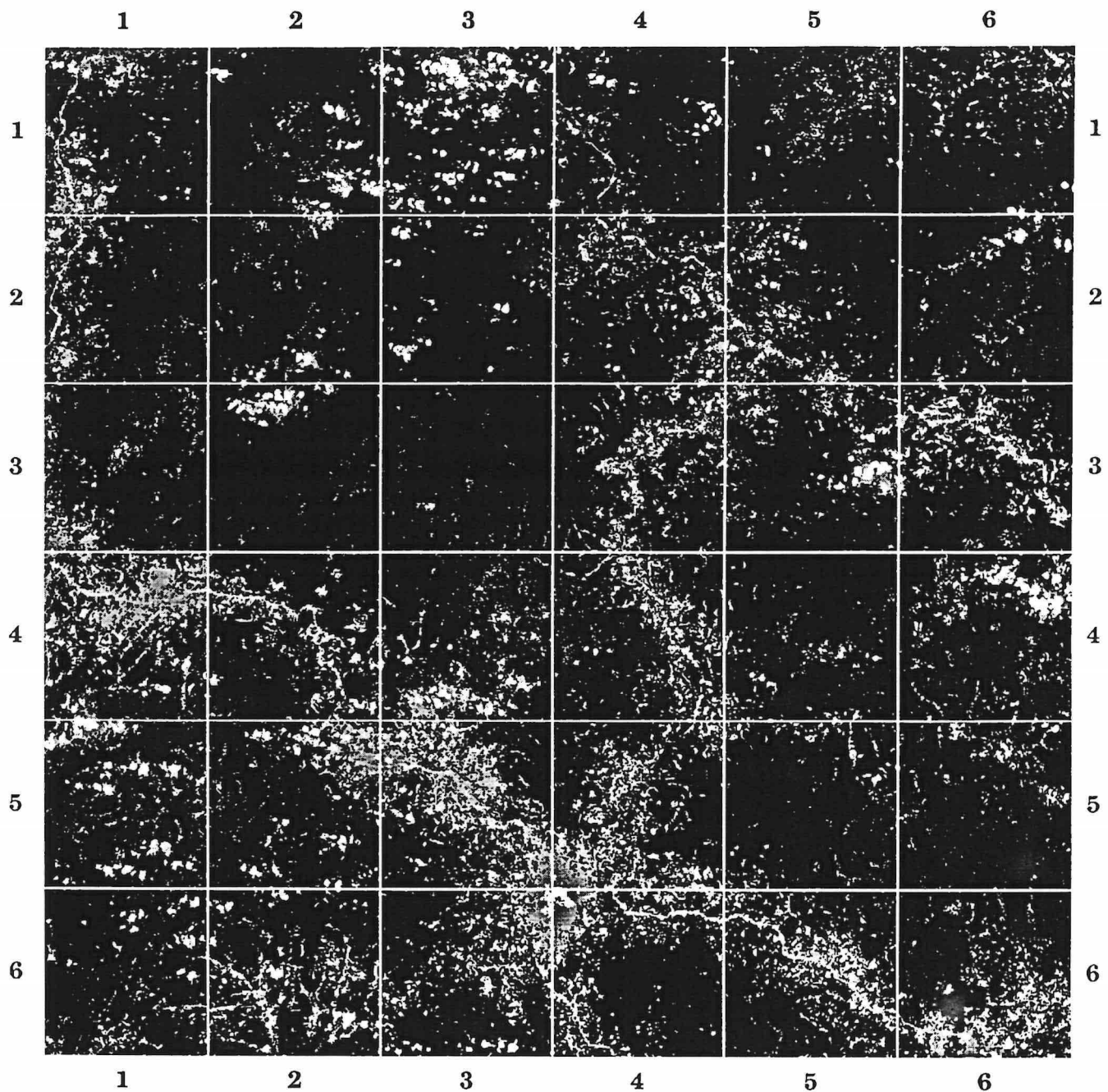
Autre (Nuage, eau, ville...)

8 km



Image SPOT XS

## AMBAM 1995



Forêt

Domaine agricole

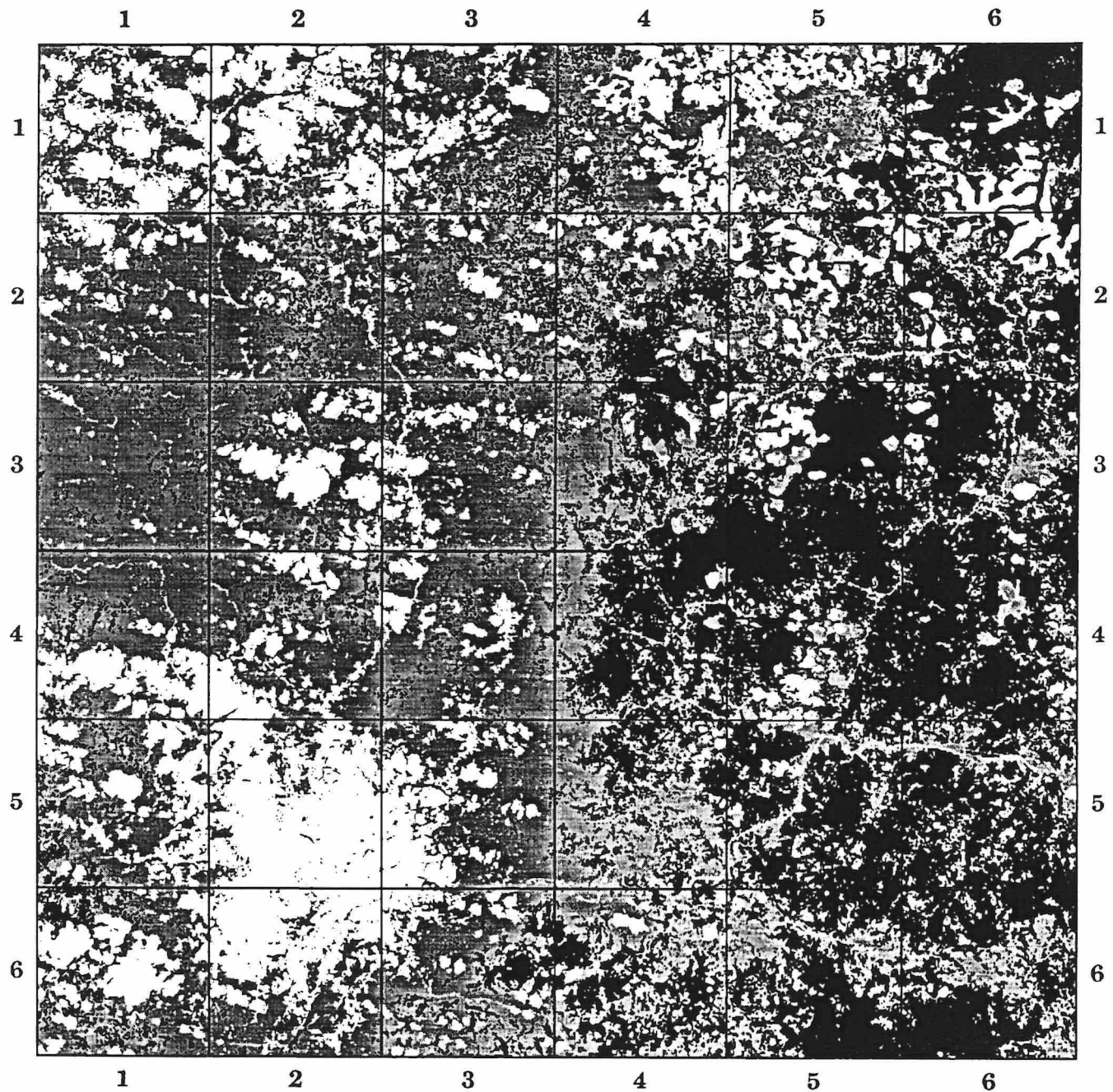
Autre (Nuage, eau, ville...)

8 km



Image SPOT XS

## YAOUNDE 1995



- Forêt
- Domaine agricole
- Savane
- Autre (Nuage, eau, ville...)

8 km



Image SPOT XS

## LAMPUNG 1996



Forêt

Domaine agricole

Plantation

Autre (nuage, eau, ville...)

8 km



Image SPOT XS

**3. Images du *municipio* de Theobroma de 1973 à 1996**

Annexe 3a : Image du *municipio* de Theobroma de 1973.

Annexe 3b : Image du *municipio* de Theobroma de 1978.

Annexe 3c : Image du *municipio* de Theobroma de 1987.

Annexe 3d : Image du *municipio* de Theobroma de 1993.

Annexe 3e : Image du *municipio* de Theobroma de 1994.

Annexe 3f : Image du *municipio* de Theobroma de 1996.

Municipio de Theobroma - 1973

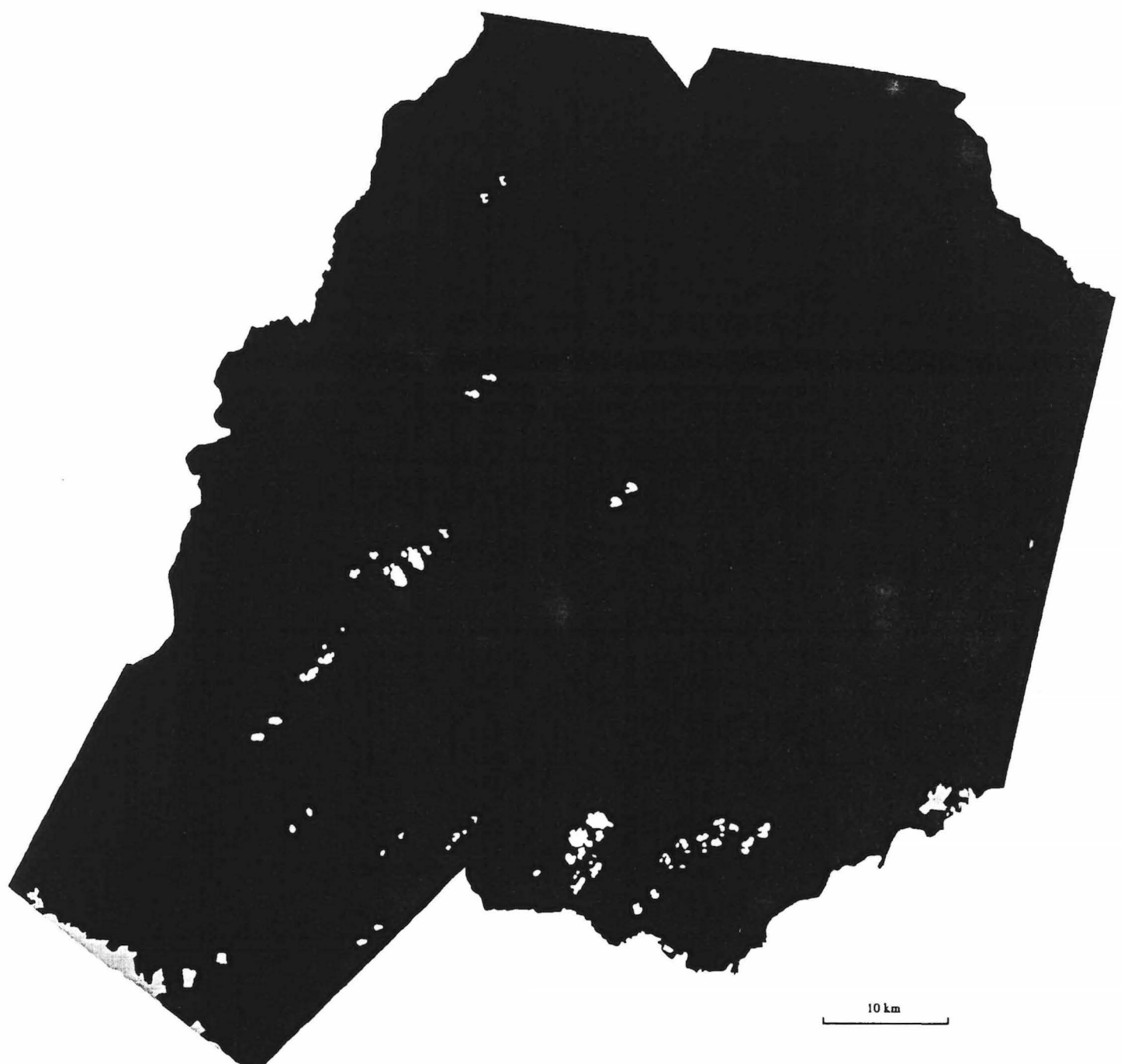


Image LANDSAT MSS

- [Solid black square] Forêt
- [Grey square with diagonal lines] Domaine agricole
- [White square] Autre (Nuage, eau, ville...)



Municipio de Theobroma - 1978

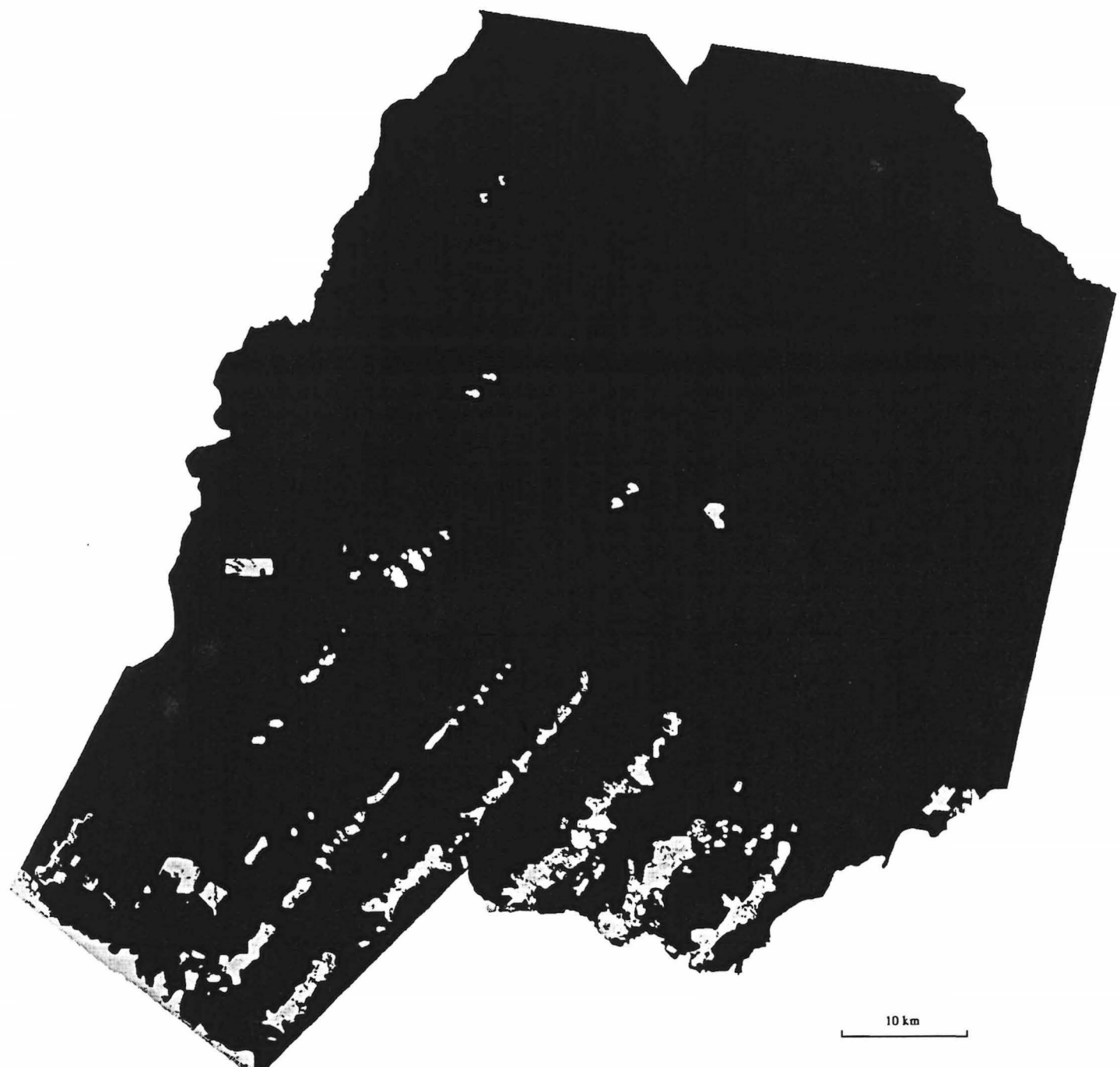
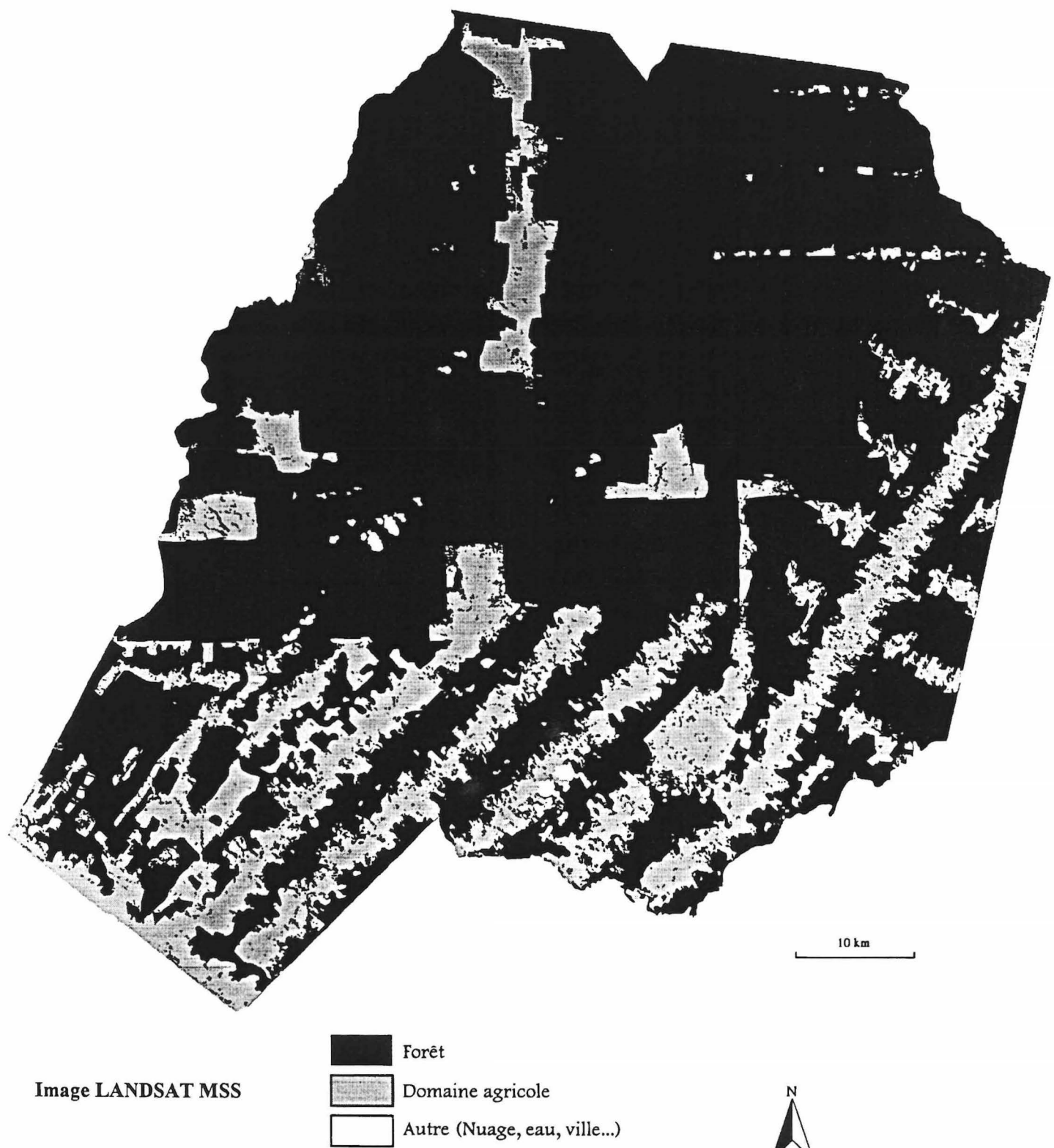


Image LANDSAT MSS

- [Solid black square] Forêt
- [Hatched square] Domaine agricole
- [White square] Autre (Nuage, eau, ville...)



Municipio de Theobroma - 1987



Municipio de Theobroma - 1993

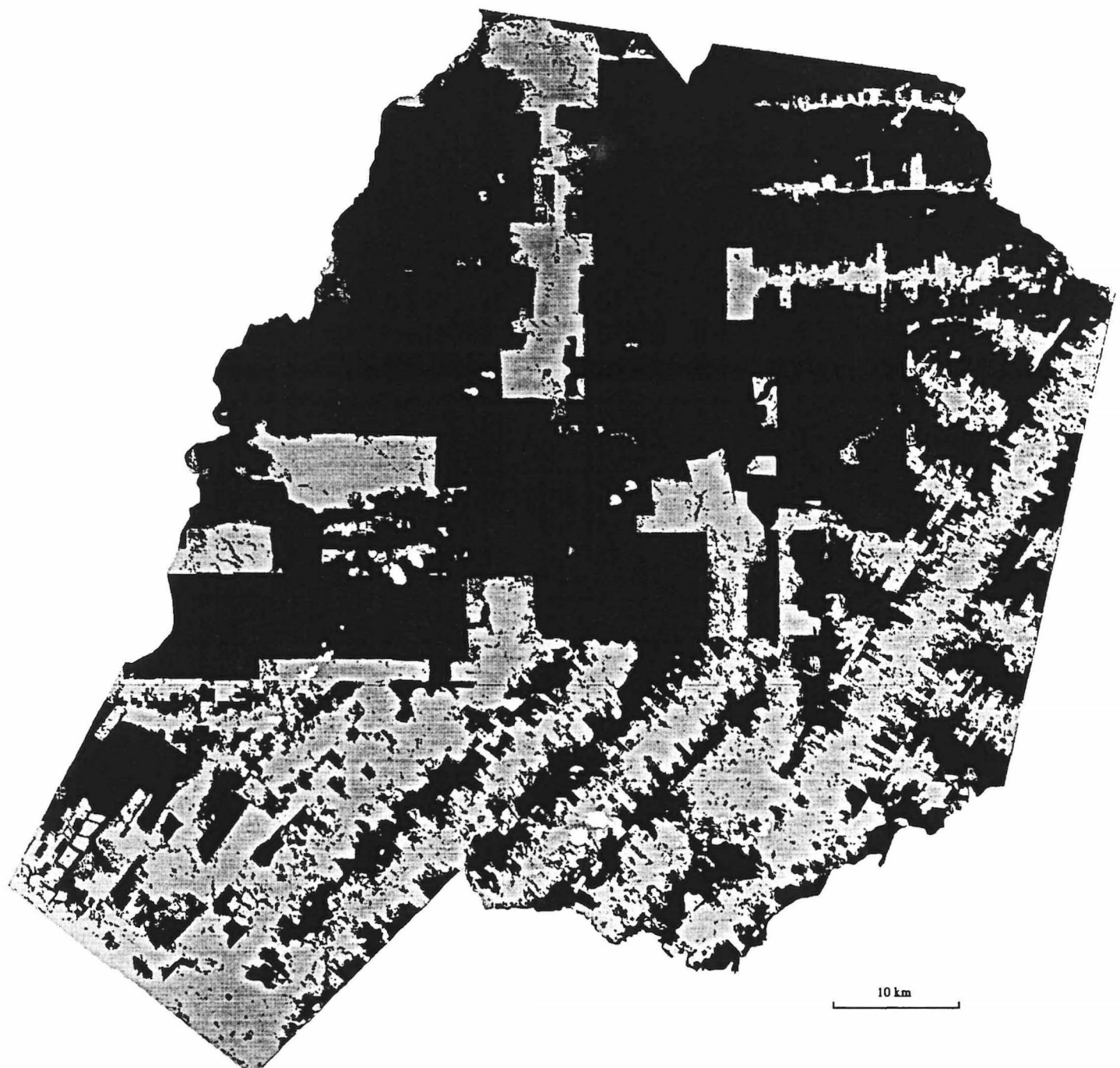


Image LANDSAT TM

- [Solid black square] Forêt
- [Grey square with diagonal lines] Domaine agricole
- [White square] Autre (Nuage, eau, ville...)



Municipio de Theobroma - 1994

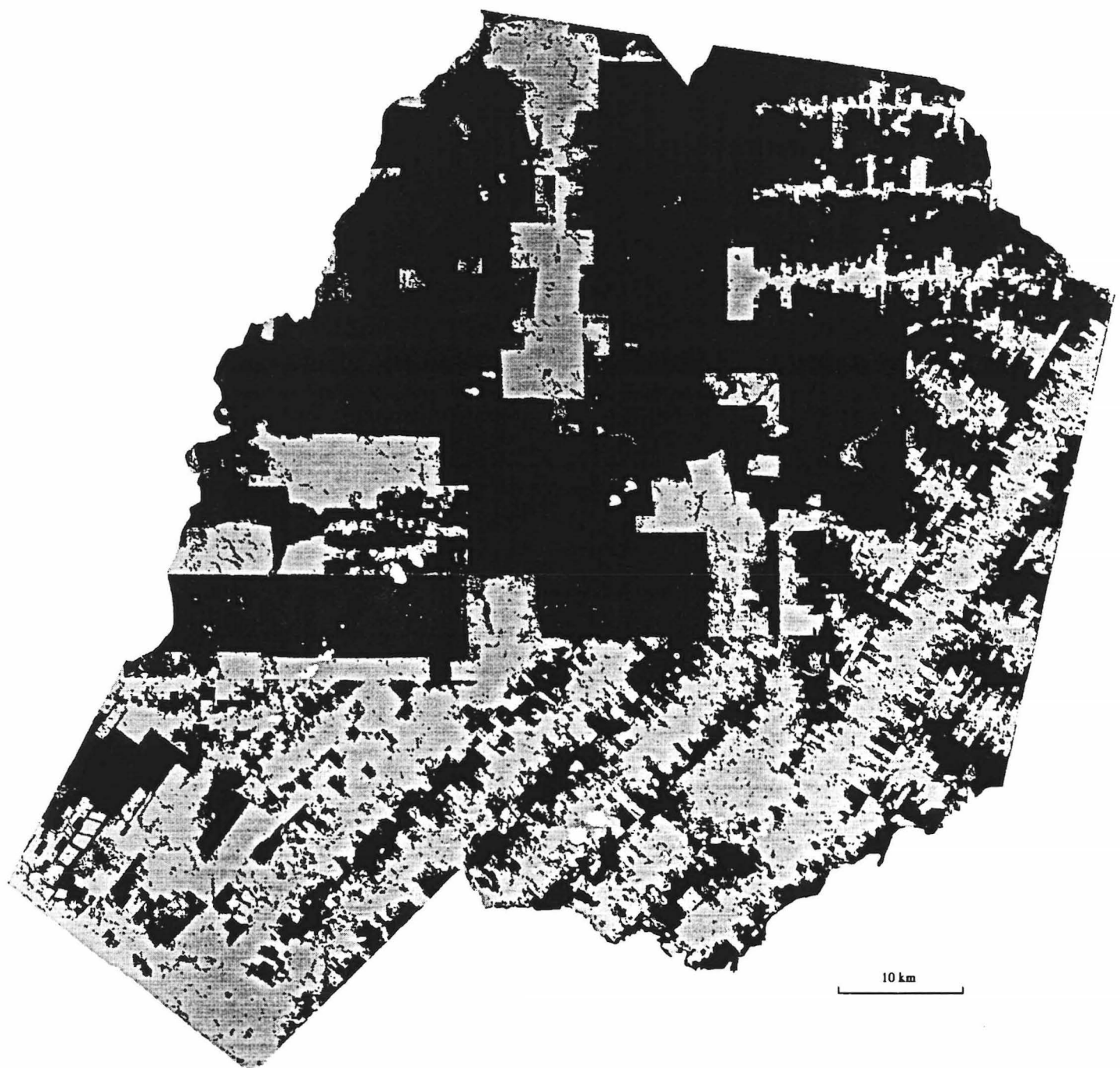


Image LANDSAT TM

- Forêt
- Domaine agricole
- Autre (Nuage, eau, ville...)



Municipio de Theobroma - 1996

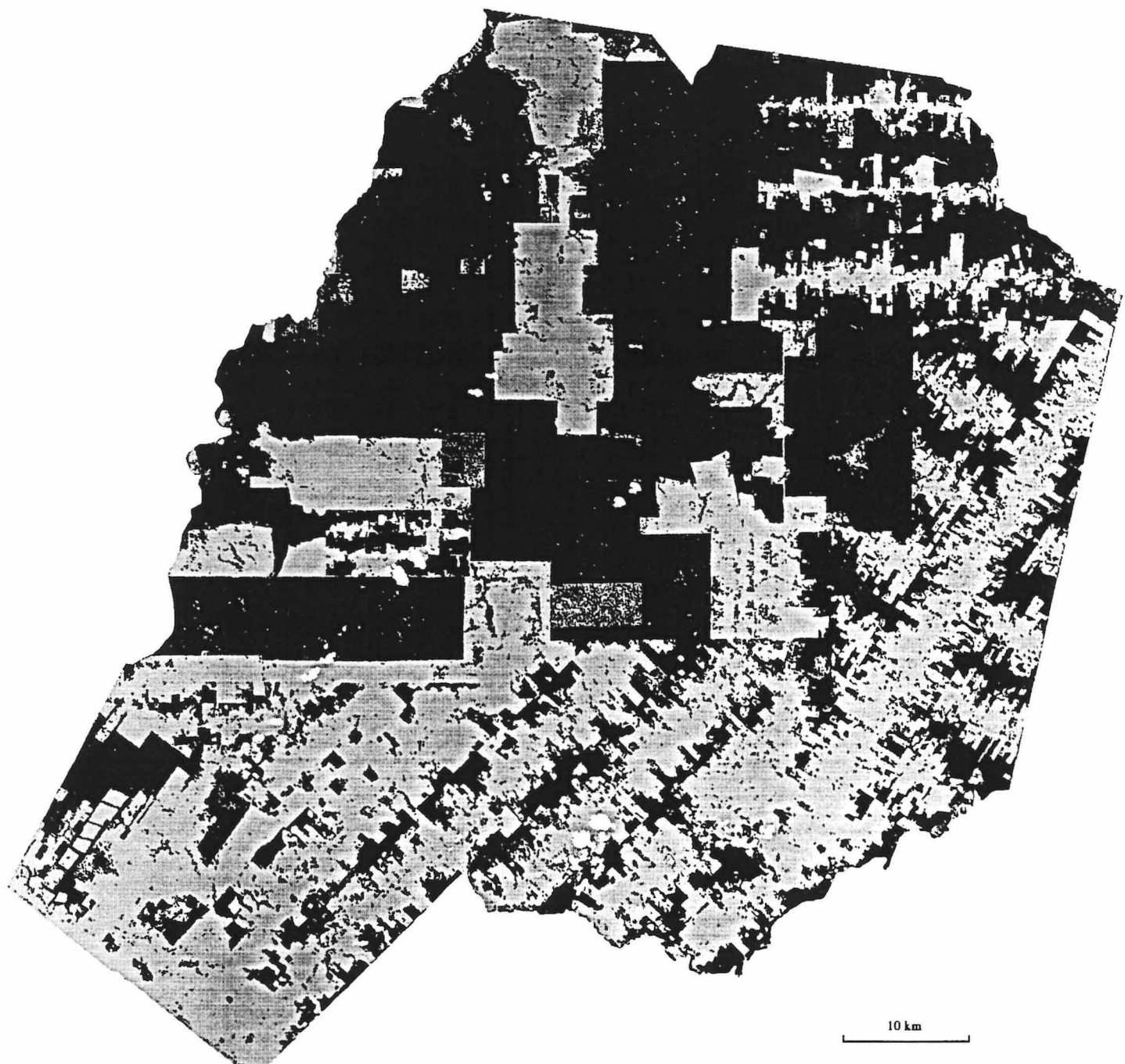


Image SPOT XS

- [Solid black square] Forêt
- [Gray square with black border] Domaine agricole
- [White square with black border] Autre (Nuage, eau, ville...)



---

## **COMPARAISON ET CARACTÉRISATION DES SITES**

---

**4. Matrice de corrélation des indices calculés sur toutes les cellules des images**

## Matrice de corrélation des indices

	%LANDc1	NPc1	MPSc1	PSSDc1	PSCVc1	MSIc1	AWMSIc1	DLFDc1	MPFDc1	AWMPFDc1	MNNc1	NNSDc1	NNCVc1	MPIc1	%LANDc2	NPc2	MPSc2	PSSDc2	PSCVc2	MSIc2	AWMSIc2	DLFDc2
%LANDc1	1,00																					
NPc1	-0,78	1,00																				
MPSc1	0,27	-0,23	1,00																			
PSSDc1	0,74	-0,65	0,28	1,00																		
PSCVc1	0,23	0,03	-0,27	-0,28	1,00																	
MSIc1	0,10	0,01	0,74	0,09	-0,09	1,00																
AWMSIc1	0,35	-0,18	-0,08	0,04	0,59	0,25	1,00															
DLFDc1	-0,29	0,46	-0,34	-0,38	0,36	0,25	0,52	1,00														
MPFDc1	-0,40	0,49	0,25	-0,45	0,11	0,68	0,09	0,53	1,00													
AWMPFDc1	0,31	-0,08	-0,13	-0,02	0,65	0,29	0,92	0,64	0,21	1,00												
MNNc1	-0,50	0,10	-0,16	-0,30	-0,32	-0,38	-0,26	-0,17	-0,49	1,00												
NNSDc1	-0,46	0,05	-0,13	-0,30	-0,25	-0,22	-0,33	-0,13	-0,06	-0,39	0,86	1,00										
NNCVc1	-0,47	0,17	-0,27	-0,42	-0,04	-0,21	-0,28	0,12	0,11	-0,22	0,43	0,76	1,00									
MPIc1	0,79	-0,68	0,18	0,85	-0,13	0,03	0,27	-0,21	-0,50	0,19	-0,38	-0,35	-0,46	1,00								
%LANDc2	-0,83	0,86	-0,26	-0,70	-0,07	-0,13	-0,29	0,24	0,36	-0,24	0,29	0,19	0,28	-0,73	1,00							
NPc2	0,45	-0,27	0,02	0,21	0,40	0,32	0,86	0,45	0,05	0,77	-0,35	-0,31	-0,32	0,41	-0,43	1,00						
MPSc2	-0,41	0,38	-0,06	-0,21	-0,31	-0,13	-0,28	0,01	0,05	-0,36	0,22	0,12	0,08	-0,24	0,49	-0,30	1,00					
PSSDc2	-0,64	0,60	-0,12	-0,39	-0,37	-0,15	-0,42	0,05	0,15	-0,47	0,30	0,19	0,18	-0,43	0,74	-0,46	0,92	1,00				
PSCVc2	-0,27	0,39	-0,25	-0,50	0,48	0,00	0,20	0,36	0,34	0,29	0,00	0,02	0,17	-0,44	0,38	0,16	-0,21	-0,08	1,00			
MSIc2	-0,56	0,38	-0,20	-0,39	-0,23	-0,11	-0,13	0,16	0,15	-0,17	0,22	0,14	0,10	-0,38	0,37	-0,29	0,60	0,58	-0,26	1,00		
AWMSIc2	-0,72	0,82	-0,23	-0,63	0,01	0,02	-0,13	0,36	0,44	-0,02	0,14	0,11	0,21	-0,64	0,74	-0,24	0,11	0,36	0,63	0,21	1,00	
DLFDc2	-0,43	0,55	-0,19	-0,41	0,09	0,22	0,25	0,68	0,48	0,30	-0,04	0,04	0,19	-0,31	0,36	0,30	0,08	0,19	0,32	0,21	0,46	1,00
MPFDc2	-0,06	-0,08	-0,14	-0,09	0,03	-0,01	0,22	0,10	0,01	0,20	0,00	-0,04	-0,10	-0,04	-0,16	0,06	-0,10	-0,16	-0,27	0,64	-0,10	0,03
AWMPFDc2	-0,76	0,81	-0,36	-0,78	0,18	-0,05	-0,03	0,47	0,48	0,07	0,17	0,16	0,30	-0,74	0,76	-0,19	0,12	0,36	0,68	0,28	0,94	0,54
MNNc2	0,51	-0,64	0,26	0,53	-0,15	-0,14	-0,33	-0,64	-0,38	-0,40	-0,02	0,04	-0,02	0,40	-0,57	-0,23	-0,22	-0,33	-0,36	-0,28	-0,58	-0,64
NNSDc2	0,28	-0,45	0,13	0,31	-0,12	-0,12	-0,25	-0,37	-0,26	-0,28	0,05	0,21	0,24	-0,43	-0,20	-0,15	-0,24	-0,30	-0,14	-0,42	-0,35	
NNCVc2	0,20	-0,38	0,02	0,14	0,06	-0,07	-0,05	-0,12	-0,16	-0,02	0,01	0,26	0,38	0,12	-0,41	-0,04	-0,27	-0,35	-0,16	-0,13	-0,31	-0,08
MPIc2	-0,70	0,78	-0,13	-0,42	-0,37	-0,02	-0,38	0,26	0,33	-0,34	0,22	0,14	0,17	-0,46	0,80	-0,44	0,63	0,84	0,06	0,42	0,59	0,36
LPIp	0,32	-0,30	0,27	0,58	-0,45	0,08	-0,17	-0,23	-0,21	-0,25	-0,08	-0,06	-0,17	0,60	-0,29	-0,05	0,19	0,13	-0,50	-0,07	-0,39	-0,23
NPP	-0,30	0,48	-0,16	-0,34	0,24	0,20	0,54	0,60	0,30	0,48	-0,04	-0,08	-0,10	-0,19	0,28	0,62	0,01	0,05	0,42	0,09	0,47	0,65
MPSp	0,12	-0,35	0,10	0,22	-0,23	-0,06	-0,30	-0,37	-0,11	-0,31	0,01	0,04	0,02	0,11	-0,30	-0,33	-0,05	-0,11	-0,35	0,26	-0,34	-0,51
PSSDp	0,32	-0,47	0,26	0,54	-0,41	-0,01	-0,35	-0,46	-0,22	-0,40	-0,06	0,00	-0,07	0,43	-0,42	-0,32	0,04	-0,05	-0,54	0,08	-0,50	-0,54
PSCVp	0,02	0,13	0,06	0,17	-0,21	0,17	0,25	0,29	0,01	0,14	-0,06	-0,10	-0,19	0,34	0,06	0,42	0,24	0,25	-0,09	-0,02	0,05	0,35
LSIp	-0,33	0,54	-0,23	-0,46	0,39	0,21	0,60	0,63	0,39	0,60	-0,09	-0,12	-0,09	-0,33	0,35	0,49	-0,11	-0,04	0,53	0,12	0,61	0,59
MSIp	-0,36	0,50	-0,26	-0,41	0,22	0,20	0,32	0,64	0,49	0,45	-0,10	-0,05	0,06	-0,35	0,33	0,10	-0,07	0,03	0,20	0,29	0,45	0,61
AWMSIp	-0,25	0,48	-0,20	-0,33	0,26	0,18	0,62	0,58	0,28	0,58	-0,12	-0,17	-0,16	-0,13	0,38	0,49	-0,02	0,08	0,44	0,06	0,58	0,52
DLFDp	-0,37	0,56	-0,19	-0,41	0,26	0,30	0,34	0,83	0,59	0,45	-0,11	-0,03	0,12	-0,29	0,38	0,34	0,05	0,15	0,43	0,08	0,44	0,85
MPFDp	-0,35	0,51	-0,24	-0,30	0,06	0,16	0,21	0,58	0,42	0,31	-0,07	-0,04	0,04	-0,27	0,35	0,05	0,08	0,18	0,05	0,30	0,41	0,57
AWMPFDp	-0,16	0,45	-0,23	-0,33	0,37	0,11	0,58	0,52	0,20	0,59	-0,11	-0,22	-0,21	-0,14	0,40	0,48	-0,03	0,06	0,48	-0,04	0,50	0,46
MNNp	0,30	-0,46	0,29	0,46	-0,41	-0,20	-0,49	-0,75	-0,47	-0,58	0,15	0,13	0,03	0,27	-0,28	-0,44	0,09	0,03	-0,43	-0,15	-0,43	-0,57
NNSp	0,08	-0,23	0,25	0,11	-0,23	-0,01	-0,32	-0,34	-0,12	-0,33	0,11	0,24	0,24	0,03	-0,11	-0,36	0,11	0,08	-0,25	-0,02	-0,23	-0,28
NNCVp	-0,16	0,14	0,01	-0,23	0,07	0,13	0,02	0,23	0,24	0,10	0,00	0,16	0,25	-0,18	0,13	-0,08	0,05	0,08	0,09	0,07	0,12	0,17
MPIp	0,15	0,07	-0,19	-0,14	0,41	-0,20	0,10	0,08	-0,02	0,17	-0,17	-0,15	-0,05	0,06	0,06	-0,09	-0,22	-0,16	0,33	-0,23	0,16	0,00
MIC1	-0,78	0,85	-0,24	-0,63	-0,02	0,15	0,13	0,62	0,54	0,17	0,21	0,15	0,14	-0,59	0,70	0,02	0,29	0,46	0,38	0,48	0,78	0,65

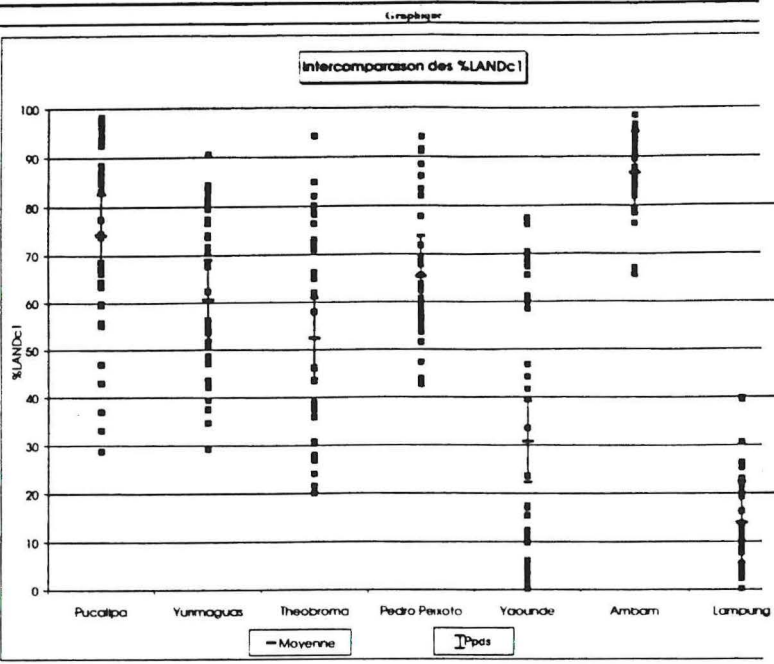
Test du r de Pearson : avec n=252 Il est significatif si  $r > 0,162$ , pour  $p=0,01$

## Matrice de corrélation des indices

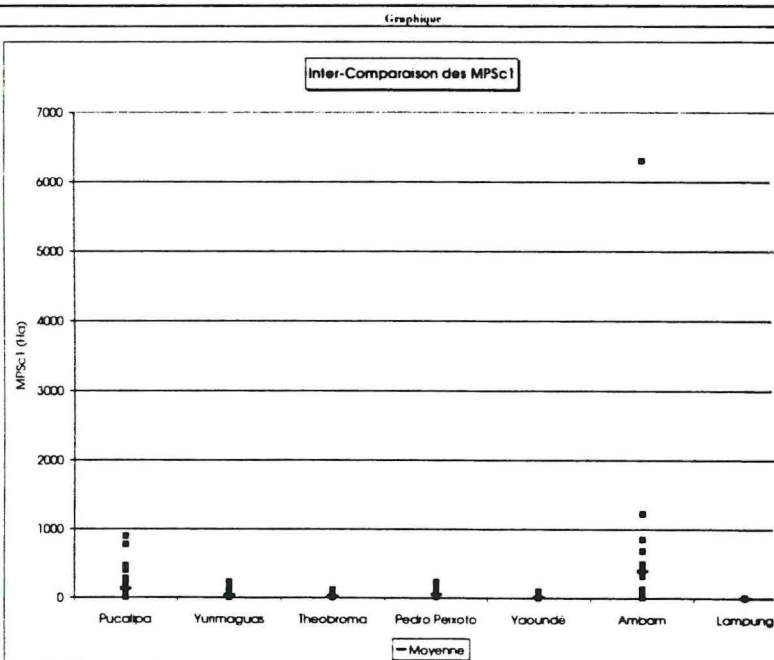
	<i>MPFDc2</i>	<i>AWMPFDc2</i>	<i>MNNc2</i>	<i>NNSDc2</i>	<i>NNCVc2</i>	<i>MPIc2</i>	<i>LPIp</i>	<i>NPp</i>	<i>MPSp</i>	<i>PSSDp</i>	<i>PSCVp</i>	<i>LSIp</i>	<i>MSIp</i>	<i>AWMSIp</i>	<i>DLFdp</i>	<i>MPFDp</i>	<i>AWMPFDp</i>	<i>MNNp</i>	<i>NNSDp</i>	<i>NNCVp</i>	<i>MPIp</i>	<i>Mic1</i>
<b>%LANDc1</b>																						
<b>NPc1</b>																						
<b>MPSel</b>																						
<b>PSSDc1</b>																						
<b>PSCVc1</b>																						
<b>MSlc1</b>																						
<b>AWMSlc1</b>																						
<b>DLFDc1</b>																						
<b>MPFDc1</b>																						
<b>AWMPFDc1</b>																						
<b>MNNc1</b>																						
<b>NNSDc1</b>																						
<b>NNCVc1</b>																						
<b>MPIc1</b>																						
<b>%LANDc2</b>																						
<b>NPc2</b>																						
<b>MPSel2</b>																						
<b>PSSDc2</b>																						
<b>PSCVc2</b>																						
<b>MSlc2</b>																						
<b>AWMSlc2</b>																						
<b>DLFDc2</b>																						
<b>MPFDc2</b>	<b>1,00</b>																					
<b>AWMPFDc2</b>	-0,04	<b>1,00</b>																				
<b>MNNc2</b>	-0,06	<b>-0,64</b>	<b>1,00</b>																			
<b>NNSDc2</b>	-0,04	<b>-0,42</b>	<b>0,80</b>	<b>1,00</b>																		
<b>NNCVc2</b>	0,07	<b>-0,24</b>	<b>0,40</b>	<b>0,72</b>	<b>1,00</b>																	
<b>MPIc2</b>	<b>-0,18</b>	<b>0,53</b>	<b>-0,48</b>	<b>-0,35</b>	<b>-0,43</b>	<b>1,00</b>																
<b>LPIp</b>	<b>-0,17</b>	<b>-0,52</b>	<b>0,35</b>	<b>0,21</b>	-0,03	0,13	<b>1,00</b>															
<b>NPp</b>	0,03	<b>0,50</b>	<b>-0,68</b>	<b>-0,51</b>	<b>-0,32</b>	<b>0,16</b>	<b>-0,32</b>	<b>1,00</b>														
<b>MPSp</b>	<b>0,45</b>	<b>-0,37</b>	<b>0,58</b>	<b>0,31</b>	0,10	<b>-0,18</b>	<b>0,26</b>	<b>-0,59</b>	<b>0,84</b>	<b>1,00</b>												
<b>PSSDp</b>	<b>0,18</b>	<b>-0,59</b>	<b>0,69</b>	<b>0,42</b>	0,13	-0,11	<b>0,69</b>	<b>-0,69</b>	<b>0,84</b>	<b>1,00</b>												
<b>PSCVp</b>	<b>-0,23</b>	-0,03	<b>-0,32</b>	<b>-0,27</b>	<b>-0,27</b>	<b>0,33</b>	<b>0,60</b>	<b>0,47</b>	<b>-0,39</b>	-0,07	<b>1,00</b>											
<b>LSIp</b>	0,15	<b>0,65</b>	<b>-0,72</b>	<b>-0,54</b>	<b>-0,31</b>	0,13	<b>-0,53</b>	<b>0,88</b>	<b>-0,54</b>	-0,74	<b>0,17</b>	<b>1,00</b>										
<b>MSIp</b>	<b>0,33</b>	<b>0,53</b>	<b>-0,63</b>	<b>-0,36</b>	-0,08	<b>0,28</b>	<b>-0,38</b>	<b>0,37</b>	<b>-0,32</b>	-0,44	-0,07	<b>0,63</b>	<b>1,00</b>									
<b>AWMSIp</b>	0,03	<b>0,56</b>	<b>-0,70</b>	<b>-0,56</b>	<b>-0,40</b>	<b>0,29</b>	-0,15	<b>0,80</b>	<b>-0,54</b>	-0,58	<b>0,53</b>	<b>0,84</b>	<b>0,49</b>	<b>1,00</b>								
<b>DLFDp</b>	-0,07	<b>0,53</b>	<b>-0,66</b>	<b>-0,41</b>	<b>-0,18</b>	<b>0,38</b>	<b>-0,21</b>	<b>0,59</b>	<b>-0,50</b>	-0,51	<b>0,32</b>	<b>0,60</b>	<b>0,68</b>	<b>0,55</b>	<b>1,00</b>							
<b>MPFDp</b>	<b>0,26</b>	<b>0,44</b>	<b>-0,60</b>	<b>-0,31</b>	-0,10	<b>0,41</b>	<b>-0,20</b>	<b>0,34</b>	<b>-0,35</b>	-0,36	0,08	<b>0,51</b>	<b>0,91</b>	<b>0,45</b>	<b>0,62</b>	<b>1,00</b>						
<b>AWMPFDp</b>	-0,07	<b>0,52</b>	<b>-0,72</b>	<b>-0,60</b>	<b>-0,42</b>	<b>0,21</b>	<b>-0,25</b>	<b>0,77</b>	<b>-0,68</b>	-0,71	<b>0,45</b>	<b>0,83</b>	<b>0,46</b>	<b>0,92</b>	<b>0,52</b>	<b>0,41</b>	<b>1,00</b>					
<b>MNNp</b>	<b>-0,17</b>	<b>-0,52</b>	<b>0,72</b>	<b>0,54</b>	0,24	-0,15	<b>0,32</b>	<b>-0,65</b>	<b>0,36</b>	<b>0,53</b>	<b>-0,25</b>	<b>-0,71</b>	<b>-0,60</b>	<b>-0,65</b>	<b>-0,70</b>	<b>-0,49</b>	<b>-0,65</b>	<b>1,00</b>				
<b>NNSDp</b>	-0,12	<b>-0,24</b>	<b>0,38</b>	<b>0,41</b>	0,27	0,00	<b>0,20</b>	<b>-0,51</b>	<b>0,25</b>	<b>0,36</b>	<b>-0,23</b>	<b>-0,48</b>	<b>-0,21</b>	<b>-0,44</b>	<b>-0,29</b>	<b>-0,18</b>	<b>-0,48</b>	<b>0,63</b>	<b>1,00</b>			
<b>NNCVp</b>	-0,02	<b>0,17</b>	<b>-0,17</b>	0,01	0,12	0,15	-0,03	-0,06	-0,04	-0,04	-0,06	0,02	<b>0,28</b>	0,04	<b>0,28</b>	<b>0,23</b>	-0,01	-0,09	<b>0,69</b>	<b>1,00</b>		
<b>MPIp</b>	-0,09	<b>0,18</b>	0,04	-0,01	-0,05	0,02	0,03	<b>-0,16</b>	0,02	0,05	-0,10	0,03	<b>0,20</b>	0,15	0,16	0,13	<b>0,18</b>	-0,10	0,09	<b>0,22</b>	<b>1,00</b>	
<b>Mic1</b>	0,14	<b>0,80</b>	<b>-0,75</b>	<b>-0,52</b>	<b>-0,38</b>	<b>0,65</b>	<b>-0,33</b>	<b>0,68</b>	<b>-0,33</b>	<b>-0,49</b>	<b>0,22</b>	<b>0,75</b>	<b>0,63</b>	<b>0,67</b>	<b>0,67</b>	<b>0,60</b>	<b>0,56</b>	<b>-0,62</b>	<b>-0,32</b>	0,14	-0,04	<b>1,00</b>

**5. Graphes des indices calculés sur toutes les cellules des sites**

Percent of Landscape	Pucalipa	Yurimaguas	Theobroma	Pedro Pekoto	Yaoundé	Ambam	Lampung
11	98,28	48,24	76,46	83,46	0,58	83,46	39,42
12	97,08	71,83	61,99	57,9	3,31	89,55	19,26
13	87,09	54,35	61,16	43,96	3,82	90,78	8,99
14	55,13	56,28	66,32	47,3	4,86	67,08	4,93
15	93,82	70,57	26,92	60,68	11,78	85,03	8,49
16	94,64	67,84	37,54	71,85	17,07	91,17	11,47
21	97,15	37,46	73,13	81,97	4,04	90,87	10,81
22	95,4	48,71	71,05	55,02	9,77	94,87	30,62
23	63,43	42,19	38,67	42,61	4,91	94,43	4,45
24	87,55	74,26	46,13	77,86	6,09	85,52	0,12
25	88,47	79,44	27,19	56,62	0,08	83,06	19,65
26	93,34	90,53	21,65	63,8	1,78	82,14	11,37
31	87,19	37,63	78,31	68,89	10,83	79,48	4,45
32	83,34	51,41	79,8	60,21	15,44	95,64	39,83
33	63,89	67,67	62,07	51,62	4,7	98,52	8,9
34	95,63	84,41	39,04	67,76	5,35	85,5	2,96
35	83,18	83,14	26,97	62,68	0,9	65,61	9,54
36	77,48	68,65	20,05	53,66	17,47	79,38	13,39
41	84,88	29,32	94,27	55,53	12,36	93,34	2,25
42	74,63	39,4	84,93	51,49	39,49	85,07	23,06
43	73,98	77,47	57,95	68,22	46,81	84,18	25,37
44	86,27	81,63	28,02	63,8	59,99	84,22	11,69
45	55,84	73,76	35,99	57,23	33,51	76,3	16,32
46	59,57	43,61	30,76	60,05	41,67	81,23	26,38
51	68,26	50,72	72,29	65,62	23,6	93,84	4,36
52	66,95	53,66	64,87	59,05	44,24	89,8	7,89
53	59,88	47,09	80,18	54,46	76,17	87,77	13,71
54	37,02	76,66	43,65	55,35	69,21	96,68	20,09
55	28,81	55,08	35,87	68,96	68,14	95,48	22,8
56	43,04	54,02	24,1	66,1	61,25	81,96	7,71
61	85,05	77,43	78,81	69,51	67,32	91,92	3,25
62	92,49	80,29	82,03	62,33	58,43	94,24	12,45
63	68,67	34,71	46,34	91,17	70,52	81	21,62
64	64,54	55,03	30,44	91,56	77,48	85,97	19,97
65	46,96	62,35	37,96	88,48	67,63	93,92	5,34
66	33,14	54,49	43,46	94,01	65,58	78,43	5,06
Moyenne	74,22	60,59	52,40	65,30	30,73	86,68	13,83
Ecart-type	19,79	16,42	21,92	13,71	27,79	7,68	10,02
Minimum	28,81	29,32	20,05	42,61	0,08	65,61	0,12
Maximum	98,28	90,53	94,27	94,01	77,48	98,52	39,83

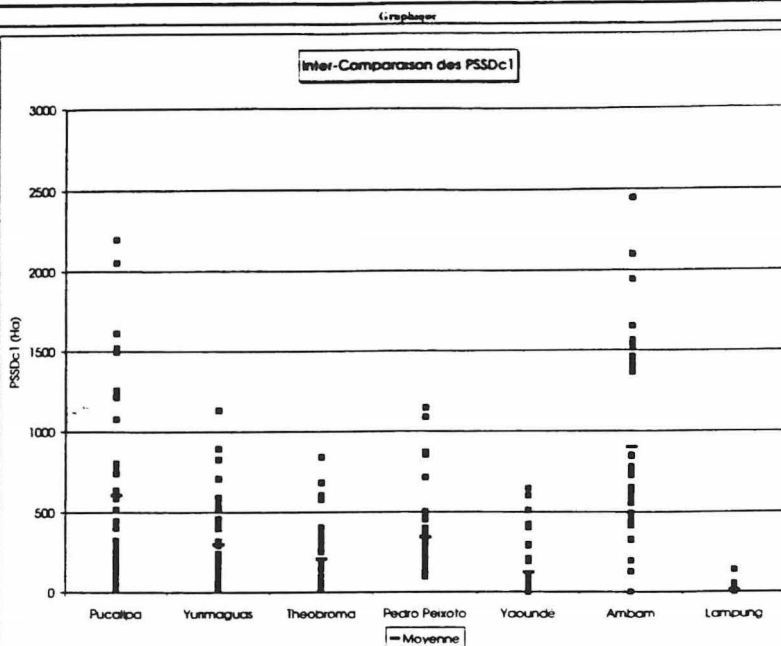


Number of Patches	Pucalipa	Yurimaguas	Theobroma	Pedro Pekoto	Yaoundé	Ambam	Lampung
11	7	471	162	37	99	186	
12	8	108	310	158	527	46	715
13	87	264	331	190	661	59	648
14	484	408	248	206	486	298	317
15	15	224	516	97	556	39	261
16	13	177	417	93	532	16	588
21	32	590	205	35	352	16	287
22	15	463	256	176	817	14	514
23	419	661	325	207	500	16	314
24	147	112	275	107	471	83	4
25	48	72	423	190	20	120	491
26	23	25	454	142	177	63	645
31	230	866	71	106	691	79	448
32	78	500	70	240	887	5	453
33	400	183	151	154	512	1	557
34	64	40	264	127	553	72	86
35	47	34	425	141	152	411	822
36	89	222	523	181	380	139	900
41	175	646	50	138	651	12	178
42	288	512	62	255	576	75	635
43	192	145	310	126	414	80	492
44	73	53	291	118	256	81	302
45	244	67	321	148	473	207	778
46	193	436	452	161	400	114	757
51	369	321	396	113	522	7	603
52	309	313	175	173	287	44	640
53	169	441	209	219	49	58	686
54	393	77	341	215	101	9	697
55	523	381	385	147	112	19	773
56	339	280	487	80	210	125	786
61	77	111	151	142	54	14	535
62	21	78	177	171	123	14	581
63	110	543	375	65	120	113	670
64	143	349	421	25	65	41	642
65	397	239	332	61	156	16	705
66	153	396	26	216	203	649	
Moyenne	188,25	293,47	293,25	138,08	363,78	78,00	537,36
Ecart-type	165,82	213,29	132,67	60,03	238,03	87,00	219,80
Minimum	7,00	25,00	50,00	25,00	20,00	1,00	4,00
Maximum	556,00	866,00	523,00	255,00	887,00	411,00	900,00

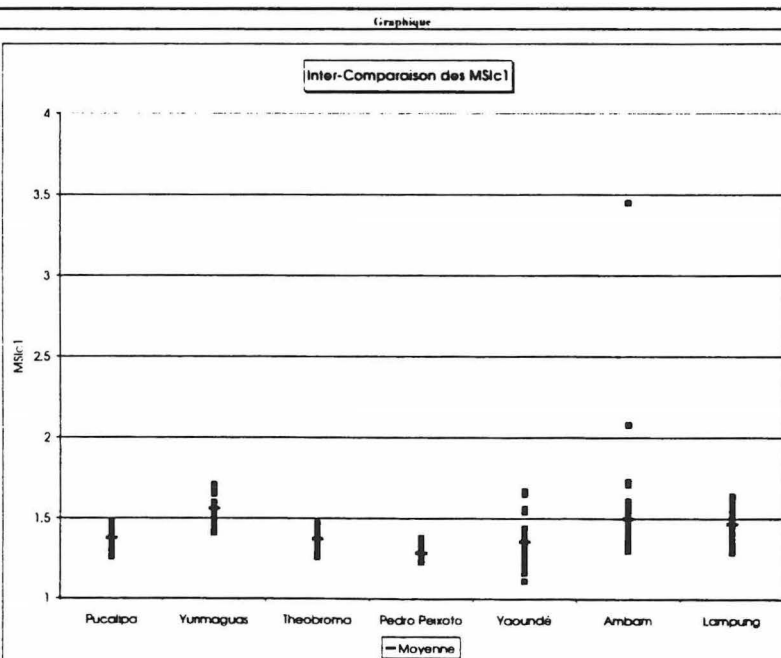


Mean Patch Size	Pucalipa	Yurimaguas	Theobroma	Pedro Pekoto	Yaoundé	Ambam	Lampung
11	898,57	6,55	30,21	144,36	0,29	53,96	1,56
12	776,66	42,57	12,8	23,45	0,4	124,59	1,72
13	64,07	13,18	11,83	14,81	0,37	98,47	0,89
14	7,29	8,83	17,11	14,7	0,64	14,41	1
15	400,3	20,16	3,34	40,04	1,36	139,53	2,08
21	194,31	4,06	22,83	149,89	0,73	363,48	2,41
22	407,05	6,73	17,76	20,01	0,77	433,68	3,81
23	9,69	4,09	7,61	13,17	0,63	377,74	0,91
24	38,12	42,44	10,73	46,57	0,83	65,94	1,87
25	117,96	70,61	4,11	19,07	0,25	44,3	2,56
26	259,74	231,75	3,05	28,76	0,64	83,44	1,13
31	24,26	2,78	70,59	41,59	1	64,39	0,63
32	68,39	6,58	72,96	16,06	1,11	124,22	5,63
33	10,22	23,66	26,31	21,45	0,59	6305,2	1,02
34	95,63	135,05	9,46	34,15	0,62	76	2,2
35	113,27	156,49	4,06	28,45	0,38	10,22	0,74
36	55,71	19,79	2,45	18,97	2,94	36,55	0,95
41	31,04	2,91	120,67	25,75	1,21	497,82	0,81
42	16,59	4,92	87,67	12,92	4,39	72,59	2,32
43	24,66	34,19	11,96	34,65	7,24	67,35	3,3
44	75,64	98,58	6,16	34,61	15	66,54	2,48
45	14,65	70,46	7,18	24,75	4,53	23,59	1,34
46	19,75	6,4	4,36	23,87	6,67	46,11	2,23
51	11,84	10,11	23,6	37,17	2,89	857,96	0,46
52	13,87	10,97	23,72	21,84	9,86	130,62	0,79
53	22,68	6,83	24,55	15,92	99,49	96,85	1,28
54	6,03	63,72	8,19	16,48	43,86	687,48	1,84
55	3,53	9,25	5,96	30,02	38,94	321,62	1,89
56	8,13	12,35	3,17	68,88	18,67	41,96	0,63
61	70,69	44,65	33,4	31,33	79,79	420,22	0,39
62	281,87	65,88	23,33	30,4	40,81	1,37	
63	39,96	4,09	7,91	89,77	37,61	47,01	2,07
64	28,89	10,09	4,63	234,38	76,29	134,2	1,99
65	7,57	16,7	7,32	92,83	27,75	375,69	0,48
66	3,81	22,79	7,02	231,42	19,43	24,73	0,5
Moyenne	130,23	36,52	20,84	49,30	14,99	395,11	1,96
Ecart-type	213,44	49,90	26,50	55,72	24,93	1047,9	2,26
Minimum	3,53	2,78	2,45	12,92	0,25	10,22	0,39
Maximum	898,57	231,75	120,67	234,38	99,49	6105,2	13,56

Patch Size	Pucalpa	Yurimaguas	Theobroma	Pedro Peñoto	Yaoundé	Ambam	Lampong
Standard Deviation	2200.83	81.72	377.54	856.11	0.32	469.1	138.97
PSNDc1	2054.1	436.98	147.97	158.69	0.69	782.79	13.59
11	586.58	180.96	193.32	161.49	0.55	741.48	5.41
12	103.72	115.84	251.52	137.79	2.43	195.7	4.23
13	1497.46	294.93	21.21	252.61	6.82	845.54	13.6
14	1613.5	318.39	43.58	400.74	14.46	1411.61	8.88
15	1079.78	42.92	318.54	870.64	1.74	1405.82	15.59
16	1519.2	103.73	277.76	178.22	2.24	1563.08	35.59
21	170.1	49.62	72.55	97.23	1.24	1461.55	2.64
22	448.26	434.71	97.8	453.79	2.02	592.6	2.69
23	805.46	590.69	47.28	182.08	0.36	468.36	31.32
24	1217.3	1134.67	19.99	228.09	1.82	655.17	4.51
25	519.4	37.9	578.53	327.66	7.86	554.6	1.51
31	130.8	296.77	315.86	170.59	1.22	0	4.03
32	741.99	827.21	76.44	252.36	1.38	636.6	7.88
33	766.31	895.02	31.71	291.09	0.61	127.94	1.78
34	517.88	227.04	20.36	178.02	23.74	415.72	6.91
35	403.12	16.99	841.82	193.83	9.48	1650.7	2.51
41	263.85	60.41	681.95	142.4	71.32	621.01	15.39
42	324.67	399.95	173.42	362.3	9.84	596.41	25.43
43	637.22	707.84	52.68	288.6	209.82	589.12	26.12
44	200.46	516.03	56.78	228.56	45.78	324.77	6.97
45	239.11	84.33	29.31	151.61	66	429.87	15.23
51	156.71	137.39	295.6	308.22	33.93	2101.22	0.86
52	224.85	151.24	304.88	215.2	83.24	854.2	3.53
53	276.13	84.87	346.84	142.64	648.12	729.11	7.11
54	67.58	549.38	80	133.53	424.47	1944.33	9.82
55	19.53	111.51	51.95	288.3	294.47	1364.02	14.8
56	83.17	183.65	28.12	467.84	193.69	329.88	1.74
61	611.87	458.56	402.94	384.55	510.45	1514.43	0.72
62	1259.14	568.25	390.18	279.14	203.31	1553.09	4.98
63	405.1	35.46	100.62	713.77	400.89	493.27	8.27
64	313.61	121.12	46.33	1147.46	602.48	845.86	11.5
65	109.77	242.71	66.65	501.14	288.48	1454.64	2.1
66	35.34	212.01	51.8	1089.77	191.21	328.66	1.24
Moyenne	609.39	300.25	208.27	344.67	123.51	902.79	14.18
Ecart-type	590.95	275.23	211.36	267.23	184.73	601.35	24.21
Minimum	19.53	16.99	19.99	97.23	0.32	0.00	0.72
Maximum	2200.83	1134.67	841.82	1147.46	648.12	2448.2	138.97



Patch Size	Pucalpa	Yurimaguas	Theobroma	Pedro Peñoto	Yaoundé	Ambam	Lampong
Coefficient of Variation	244.93	1246.75	1249.93	593.04	110.74	869.43	1024.49
PNCVc1	264.48	1026.57	1156.23	676.65	172.5	628.27	788.52
11	915.59	1373.37	1634.77	1090.58	147.65	753.01	608.89
12	1422.68	1312.13	1469.62	937.6	379.11	1358.37	425.32
13	374.08	1462.82	635.19	630.96	502.78	605.98	653.06
14	346.31	1297.97	756.47	810.43	704.17	387.07	711.84
21	555.7	1056.34	1395.28	580.87	236.63	386.77	646.88
22	373.23	1540.71	1563.82	890.74	292.58	360.42	933.41
23	1755.66	1214.73	952.8	738.03	197.48	386.92	291.04
24	1176.02	1024.41	911.07	974.35	243.89	898.67	143.91
25	682.82	836.52	1149.19	954.63	145.91	1057.22	122.95
26	468.66	489.61	654.87	793.17	282.69	785.18	399.81
31	1067.51	1362.83	819.57	787.81	783.99	861.35	238.35
32	689.2	1494.25	827.86	1196.59	430.26	199.98	944.25
33	1279.48	1254.07	1200.71	795.26	206.93	0	394.02
34	775.9	612.51	807.73	739.05	222.59	837.66	358.18
35	676.55	571.92	780.73	1023.23	160.44	1252.21	238.94
36	929.53	1147.19	830.05	938.31	908.9	1137.46	725.77
41	1298.66	584.91	697.63	752.58	780.4	331.58	310.51
42	1590.91	1226.65	777.87	1101.79	1625.51	855.46	662.62
43	1316.56	1169.68	1449.62	1045.55	1310.6	885.58	770.69
44	842.47	718.07	854.92	833.97	1398.97	985.35	1054.38
45	1368.64	732.42	791.31	923.55	1009.73	1376.68	519
46	1210.53	1317.41	672.78	635.11	989.99	932.32	682.74
51	1323.61	1358.65	1252.31	829.27	1722.88	244.91	185.81
52	1621.5	1378.41	1285.14	985.17	843.84	653.97	447.28
53	1217.6	1241.96	1412.72	896.26	651.46	752.79	555.6
54	1120.88	862.21	976.46	810.42	967.83	282.82	532.5
55	554.12	1205.13	871.26	960.24	756.23	424.11	784.19
56	1023.5	1487.48	887.66	679.21	1037.59	786.11	276.9
61	865.58	1027.11	1206.26	1163.69	639.72	360.39	186.22
62	446.71	862.57	1315.51	1196.5	688.78	360.5	363.04
63	1013.88	866.91	1272.13	795.09	1065.88	1049.36	400.29
64	1085.66	1200.28	1001.2	489.57	789.75	630.3	577.62
65	1450.03	1453.71	910.82	539.85	1039.72	387.19	433.71
66	926.3	930.1	737.3	470.92	984.09	1329.23	248.63
Moyenne	957.10	1106.68	1032.47	840.56	660.01	702.63	548.36
Ecart-type	411.27	293.50	285.83	194.15	409.65	354.77	272.67
Minimum	244.93	489.61	635.19	470.92	110.74	0.00	143.91
Maximum	1755.66	1540.71	1634.77	1196.59	1625.51	1376.7	1222.95



	Pucalpa	Yurimaguas	Theobroma	Pedro Pekoto	Yaoundé	Ambam	Lampung	Graphique
<b>Area-Weighted</b>								
11	3.31	17.34	13.52	5.96	1.28	7.67	12.48	
12	3.77	24.68	6.71	4.35	1.56	7.4	5.08	
<b>Mean Shape</b>								
13	6.91	26.55	10.97	4.31	1.51	7.57	3.76	
<b>Index</b>								
14	8.4	22.68	7.1	4.43	2.23	13.22	3.95	
15	5.46	24.48	3.99	3.92	3.28	11.49	5.07	
16	4.73	25.53	5.27	4.92	5.18	8.68	5.08	
21	3.01	11.25	11.32	6.39	1.91	6.32	5.36	
22	4.78	18.62	8.29	5.54	2.3	4.88	8.7	
23	7.32	14.05	4.8	3.53	1.82	3.95	3.13	
24	4.74	25.78	3.72	4.21	2.12	10.99	2.29	
25	6.48	25.34	7.3	5.19	1.25	9.85	11.92	
26	5.7	11.35	3.41	7.56	1.79	14.13	3.53	
31	4.67	14.52	6.24	5.68	4.58	9.56	2.35	
32	10.96	16.82	6.08	4.32	3.55	4.06	10.83	
33	5.22	21.53	5.41	4.7	1.81	3.45	3.52	
34	3.65	12.42	3.98	3.89	1.93	12.39	5.05	
35	10.38	12.24	4	6.79	1.45	9.93	2.63	
36	13.6	11.88	4.22	8.66	4.53	12.48	4.31	
41	9.32	6.89	3.61	3.77	4.5	6.49	2.5	
42	5.68	9.33	3.91	5.15	12.41	12.91	6.23	
43	9.19	15.36	6.79	4.88	11.73	13.65	7.66	
44	8.39	10.21	2.52	5.63	13	13.66	8.65	
45	14.5	8.26	5.62	6.72	7.7	14.96	4.2	
46	15.54	13.9	4.09	4.14	7.93	8.48	6.38	
51	5.2	18.07	4.99	5.8	7.36	8.09	1.91	
52	12.18	21.29	3.22	5.58	10.44	9.26	2.82	
53	16.94	10.71	10.59	4.93	8.36	10.08	4.08	
54	10.05	17.84	6.21	5.08	13.51	4.77	4.98	
55	4.41	14.88	5.72	7.54	9.82	5.86	6.3	
56	8.89	17.95	5.1	5.73	9.6	9.85	2.3	
61	8.8	17.16	6.03	6.49	9.19	8.53	1.65	
62	5.54	15.36	6.41	4.44	11.19	7	3.35	
63	13.84	8.71	4.43	3.96	13.22	12.94	4.28	
64	13.39	11.24	5.55	4.69	11.43	10.99	5.55	
65	10.81	19.77	6.09	4.68	12.65	7.24	2.2	
66	5.63	9.78	5.12	3.96	9.45	13.02	1.95	
<b>Moyenne</b>	8.09	16.22	5.90	5.21	6.32	9.33	4.89	
<b>Ecart-type</b>	3.82	5.69	2.44	1.20	4.36	3.21	2.77	
<b>Minimum</b>	3.01	6.89	2.52	3.53	1.25	3.45	1.65	
<b>Maximum</b>	16.94	26.55	13.52	8.66	13.51	14.96	12.48	
<b>Double Log</b>								
<b>Fractal</b>	Pucalpa	Yurimaguas	Theobroma	Pedro Pekoto	Yaoundé	Ambam	Lampung	Graphique
11	1.19	1.46	1.4	1.31	1.22	1.37	1.41	
12	1.23	1.45	1.39	1.31	1.28	1.36	1.43	
<b>Dimension</b>								
13	1.36	1.47	1.4	1.28	1.3	1.36	1.44	
14	1.39	1.46	1.36	1.29	1.3	1.37	1.45	
15	1.29	1.47	1.37	1.25	1.34	1.4	1.44	
16	1.26	1.45	1.36	1.29	1.38	1.36	1.42	
21	1.24	1.46	1.4	1.3	1.31	1.32	1.41	
22	1.25	1.45	1.4	1.31	1.34	1.27	1.45	
23	1.42	1.48	1.37	1.28	1.32	1.24	1.47	
24	1.32	1.47	1.35	1.26	1.34	1.38	1.35	
25	1.31	1.45	1.41	1.33	1.18	1.38	1.48	
26	1.29	1.4	1.37	1.35	1.28	1.4	1.44	
31	1.34	1.47	1.36	1.31	1.36	1.35	1.42	
32	1.33	1.46	1.32	1.33	1.39	1.24	1.44	
33	1.36	1.45	1.35	1.32	1.31	1.14	1.45	
34	1.27	1.4	1.33	1.28	1.34	1.39	1.5	
35	1.37	1.39	1.34	1.33	1.25	1.39	1.45	
36	1.36	1.45	1.36	1.35	1.33	1.38	1.4	
41	1.38	1.45	1.27	1.26	1.38	1.32	1.4	
42	1.35	1.47	1.29	1.33	1.4	1.39	1.45	
43	1.36	1.5	1.41	1.3	1.37	1.4	1.45	
44	1.33	1.39	1.3	1.28	1.35	1.38	1.46	
45	1.34	1.39	1.36	1.28	1.35	1.35	1.44	
46	1.33	1.47	1.35	1.28	1.33	1.37	1.44	
51	1.37	1.45	1.37	1.32	1.4	1.36	1.4	
52	1.35	1.44	1.36	1.27	1.41	1.36	1.41	
53	1.37	1.48	1.41	1.28	1.35	1.36	1.45	
54	1.35	1.47	1.36	1.28	1.35	1.26	1.43	
55	1.33	1.44	1.38	1.3	1.36	1.3	1.42	
56	1.32	1.44	1.37	1.29	1.33	1.38	1.4	
61	1.32	1.41	1.31	1.32	1.4	1.37	1.36	
62	1.27	1.42	1.37	1.32	1.35	1.33	1.43	
63	1.32	1.47	1.39	1.27	1.34	1.35	1.45	
64	1.36	1.46	1.34	1.27	1.39	1.39	1.42	
65	1.33	1.44	1.32	1.3	1.39	1.34	1.38	
66	1.31	1.42	1.36	1.25	1.34	1.36	1.39	
<b>Moyenne</b>	1.32	1.45	1.36	1.30	1.34	1.35	1.43	
<b>Ecart-type</b>	0.05	0.03	0.03	0.03	0.05	0.06	0.03	
<b>Minimum</b>	1.19	1.39	1.27	1.25	1.18	1.14	1.35	
<b>Maximum</b>	1.42	1.50	1.41	1.35	1.41	1.40	1.50	
<b>Mean Patch</b>								
<b>Fractal</b>	Pucalpa	Yurimaguas	Theobroma	Pedro Pekoto	Yaoundé	Ambam	Lampung	Graphique
11	1.04	1.07	1.05	1.04	1.03	1.05	1.08	
12	1.04	1.04	1.06	1.05	1.04	1.04	1.07	
<b>Dimension</b>								
13	1.05	1.07	1.06	1.04	1.04	1.06	1.07	
14	1.06	1.06	1.06	1.04	1.04	1.05	1.07	
15	1.03	1.06	1.06	1.04	1.06	1.05	1.07	
16	1.03	1.05	1.06	1.04	1.06	1.04	1.06	
21	1.05	1.08	1.06	1.05	1.05	1.06	1.07	
22	1.05	1.07	1.05	1.05	1.05	1.04	1.07	
23	1.06	1.07	1.06	1.05	1.05	1.06	1.07	
24	1.05	1.06	1.06	1.04	1.06	1.04	1.08	
25	1.04	1.04	1.07	1.04	1.02	1.05	1.07	
26	1.04	1.03	1.07	1.04	1.04	1.04	1.07	
31	1.06	1.06	1.06	1.04	1.05	1.05	1.07	
32	1.04	1.06	1.05	1.06	1.06	1.06	1.07	
33	1.06	1.07	1.06	1.04	1.05	1.14	1.07	
34	1.04	1.06	1.07	1.04	1.05	1.04	1.08	
35	1.03	1.06	1.06	1.04	1.04	1.05	1.07	
36	1.05	1.06	1.06	1.04	1.05	1.05	1.07	
41	1.06	1.08	1.06	1.04	1.06	1.04	1.06	
42	1.06	1.09	1.05	1.05	1.06	1.05	1.07	
43	1.05	1.09	1.05	1.04	1.05	1.04	1.07	
44	1.05	1.05	1.06	1.04	1.05	1.04	1.06	
45	1.05	1.06	1.06	1.05	1.06	1.05	1.07	
46	1.05	1.07	1.06	1.04	1.06	1.04	1.07	
51	1.05	1.08	1.05	1.05	1.06	1.05	1.06	
52	1.05	1.08	1.06	1.04	1.07	1.04	1.07	
53	1.06	1.08	1.05	1.05	1.07	1.04	1.07	
54	1.06	1.05	1.06	1.05	1.06	1.03	1.08	
55	1.06	1.07	1.07	1.04	1.05	1.03	1.07	
56	1.06	1.05	1.07	1.03	1.06	1.05	1.06	
61	1.04	1.07	1.04	1.05	1.06	1.06	1.06	
62	1.04	1.06	1.05	1.04	1.06	1.02	1.07	
63	1.05	1.06	1.06	1.04	1.05	1.04	1.08	
64	1.05	1.08	1.06	1.03	1.05	1.05	1.07	
65	1.06	1.06	1.05	1.03	1.05	1.04	1.06	
66	1.06	1.06	1.06	1.03	1.05	1.04	1.06	
<b>Moyenne</b>	1.05	1.06	1.06	1.04	1.05	1.05	1.07	
<b>Ecart-type</b>	0.01	0.01	0.01	0.01	0.01	0.02	0.01	
<b>Minimum</b>	1.03	1.03	1.04	1.03	1.02	1.02	1.06	
<b>Maximum</b>	1.06	1.09	1.07	1.06	1.07	1.14	1.08	

**Inter-Comparaison des AWMSdc1**

**Graphique**

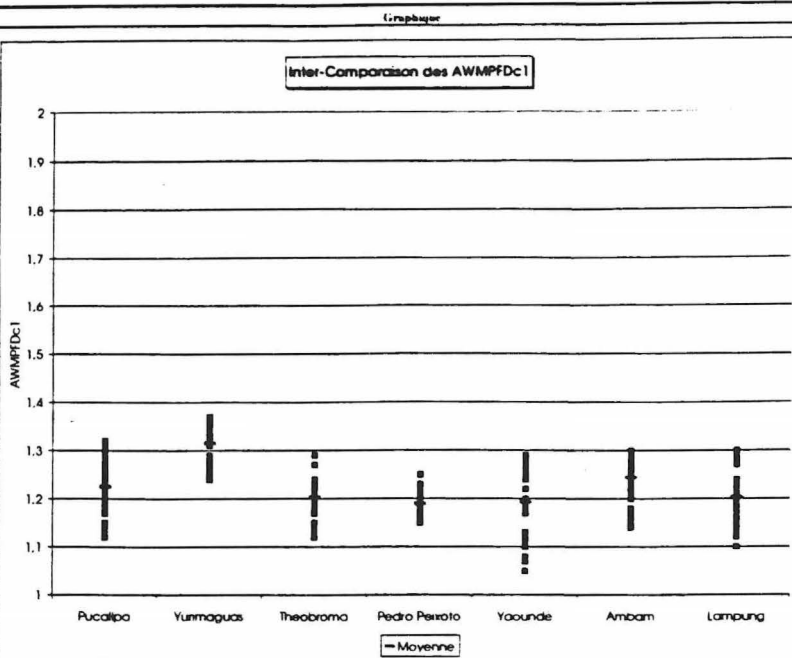
**Inter-Comparaison des DLFDc1**

**Graphique**

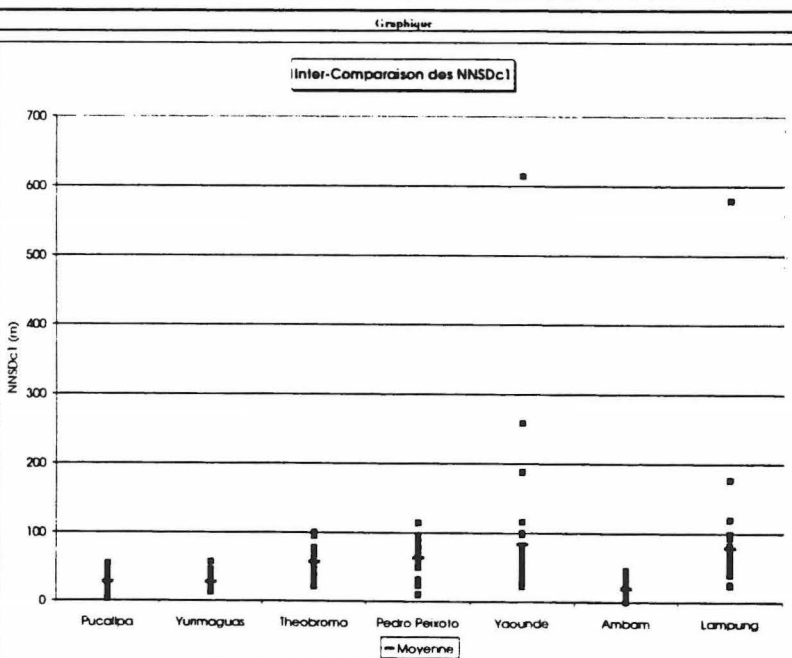
**Inter-Comparaison des MPFDc1**

**Graphique**

Area-Weighted	Pucalpa	Yurimaguas	Theobroma	Pedro Páez	Yaoundé	Ambam	Lampung	
Mean Patch	11	1.13	1.34	1.29	1.2	1.05	1.23	1.29
Fractal	12	1.15	1.36	1.23	1.18	1.08	1.23	1.22
AWMPFDc1	13	1.22	1.37	1.27	1.17	1.08	1.23	1.19
	14	1.25	1.37	1.22	1.18	1.12	1.3	1.2
	15	1.19	1.36	1.19	1.16	1.17	1.27	1.23
	16	1.17	1.37	1.21	1.18	1.22	1.24	1.21
	21	1.12	1.29	1.27	1.21	1.11	1.21	1.23
	22	1.17	1.34	1.24	1.2	1.13	1.18	1.27
	23	1.23	1.32	1.18	1.16	1.11	1.15	1.18
	24	1.18	1.37	1.17	1.16	1.13	1.27	1.15
	25	1.21	1.36	1.24	1.2	1.05	1.26	1.3
	26	1.19	1.27	1.17	1.23	1.1	1.3	1.19
	31	1.18	1.32	1.21	1.2	1.18	1.25	1.15
	32	1.27	1.33	1.2	1.18	1.18	1.16	1.3
	33	1.2	1.35	1.19	1.19	1.11	1.14	1.19
	34	1.14	1.28	1.18	1.16	1.12	1.28	1.24
	35	1.26	1.28	1.18	1.22	1.07	1.27	1.17
	36	1.29	1.29	1.19	1.25	1.2	1.28	1.19
	41	1.25	1.25	1.14	1.16	1.19	1.21	1.15
	42	1.2	1.28	1.15	1.2	1.29	1.29	1.24
	43	1.25	1.31	1.23	1.18	1.29	1.29	1.27
	44	1.24	1.26	1.12	1.2	1.29	1.29	1.28
	45	1.3	1.24	1.22	1.21	1.24	1.3	1.21
	46	1.31	1.32	1.19	1.18	1.24	1.25	1.24
	51	1.2	1.33	1.19	1.21	1.25	1.23	1.12
	52	1.28	1.35	1.13	1.2	1.28	1.25	1.16
	53	1.32	1.29	1.27	1.19	1.24	1.26	1.21
	54	1.27	1.33	1.22	1.2	1.29	1.17	1.22
	55	1.2	1.32	1.22	1.23	1.27	1.2	1.23
	56	1.25	1.33	1.21	1.2	1.26	1.27	1.14
	61	1.24	1.32	1.2	1.21	1.26	1.24	1.1
	62	1.19	1.31	1.21	1.17	1.28	1.22	1.19
	63	1.3	1.28	1.18	1.15	1.29	1.29	1.21
	64	1.29	1.29	1.21	1.17	1.27	1.27	1.23
	65	1.27	1.34	1.22	1.18	1.29	1.22	1.13
	66	1.21	1.27	1.21	1.16	1.26	1.29	1.12
Moyenne		1.23	1.32	1.20	1.19	1.19	1.24	1.20
Ecart-type		0.05	0.04	0.04	0.02	0.08	0.04	0.05
Minimum		1.12	1.24	1.12	1.15	1.05	1.14	1.10
Maximum		1.32	1.37	1.29	1.25	1.29	1.30	1.30

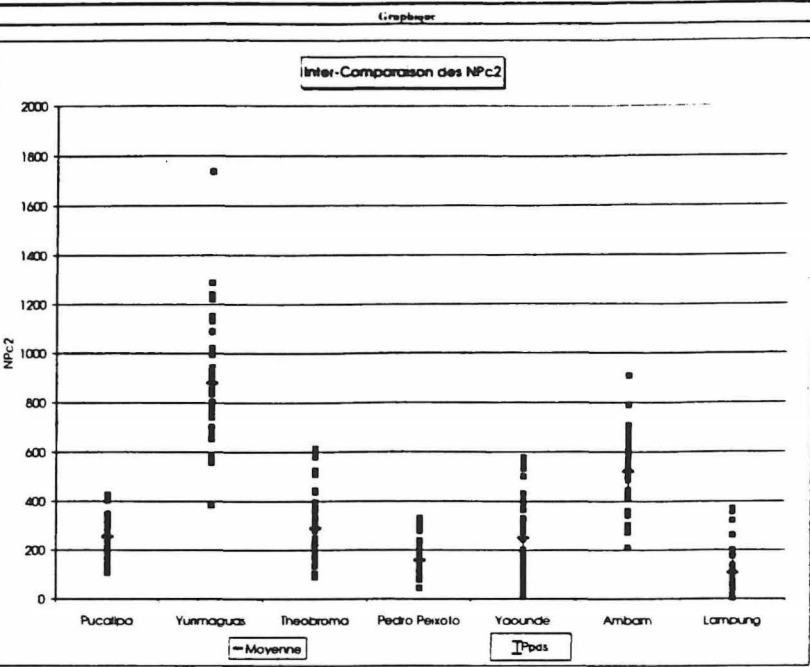


Mean Nearest-neighbor	Pucalpa	Yurimaguas	Rondonia	Pedro Páez	Yaoundé	Ambam	Lampung	
Neighbor	11	23.55	31.28	29.27	30.66	168.88	37.81	32.88
Distance	12	21.04	35.01	39.81	55.23	87.47	32.92	59.39
MNNc1	13	44.06	32.44	40.23	66.25	79.94	35.3	66.57
	14	36.07	28.48	45.5	63.02	90.16	32.11	60.67
	15	29.86	30.48	50.16	76.21	63.06	32.68	53.92
	16	40.14	33.69	49.29	60.73	51.04	34.13	71.75
	21	26.66	34.31	32.53	55.25	86.96	34.18	50.61
	22	27.2	33.01	41.74	64.31	60.16	43.88	52.98
	23	35.47	31.31	47.9	82.47	83.21	40.07	64.15
	24	33.12	27.49	54.09	59.61	67.24	28.58	54.14
	25	42.13	24.48	48.57	66.09	438.86	36.98	45.6
	26	39.51	27.82	61.62	49.74	149.98	27.37	57.99
	31	25.46	33.54	65.79	50.58	53.53	38.9	59.22
	32	30.42	31.81	38.86	48.85	46.11	65.18	47.13
	33	37.88	33.48	60.04	92.23	74.27	0	44.73
	34	21.51	40.63	61.82	61.4	67.7	35.39	109.85
	35	32.44	37.79	58.31	54.27	134.86	35.68	58.96
	36	41.25	29.26	54.88	60.59	71.39	41.22	54.58
	41	27.03	40.82	31.56	78.9	54.02	28.03	86.91
	42	38.77	31.88	73.99	51.24	37.11	27.47	52.29
	43	38.07	26.98	54.82	64.66	43.11	28.63	45.83
	44	43.79	34.45	79.8	65.56	52.07	26.86	76.5
	45	50.02	50.7	57.93	66.32	56.18	33.43	54.77
	46	50.2	37.27	47.35	58.91	50.59	42.39	45.04
	51	32.77	43.45	49.72	67.38	53.71	22.86	82.6
	52	35.81	41.24	55.47	64.74	32.49	31.64	72.01
	53	40.93	34.31	41.3	56.54	35.88	33.8	60.44
	54	53.71	34.05	51.61	58.92	44.98	20	44.08
	55	53.4	31.48	50.39	54.97	47.03	23.05	49.99
	56	49.6	36.74	50.37	50.22	51.67	30.42	71.9
	61	34.39	35.57	51.88	49.96	50.39	26.64	95.66
	62	48.71	41.56	54.36	68.11	39.35	29.59	68.14
	63	40.52	38.95	46.66	40.17	39.37	30.11	42.33
	64	45.23	35.39	60.65	49.99	43.62	29.77	42.99
	65	48.4K	38.29	59.51	25.51	43.18	27.8	76.59
	66	49.75	37.56	42.91	23.57	46.98	34.62	85.31
Moyenne		38.03	34.64	50.57	57.56	74.89	32.21	61.07
Ecart-type		9.21	5.26	11.21	14.82	69.61	9.51	16.68
Minimum		21.04	24.48	29.27	23.57	32.49	0.00	32.88
Maximum		53.71	50.70	79.80	92.23	438.86	65.1X	109.85

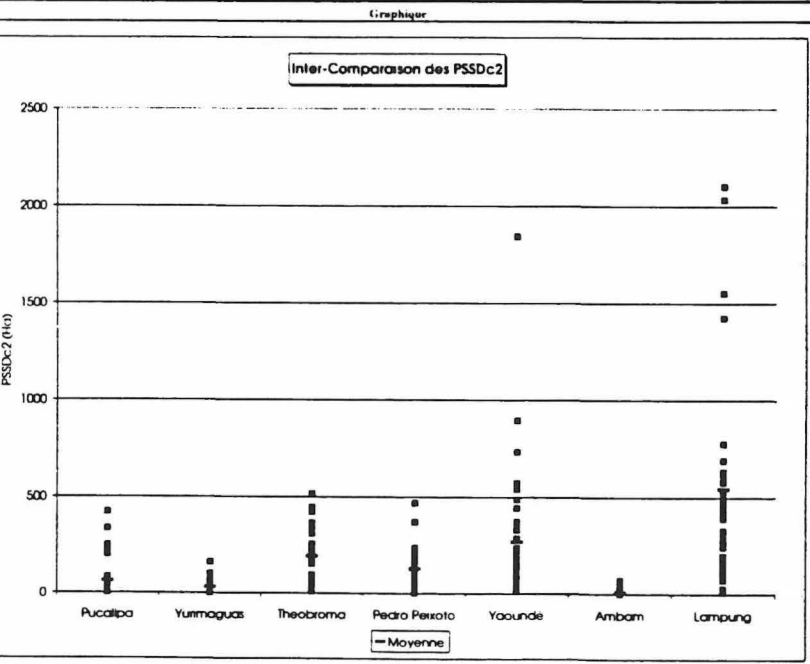


Proxim- ity Neighbor Coefficient Variation NNCVc1	Pucallpa	Yurimaguas	Theobroma	Pedro Pekoto	Yaoundé	Ambam	Lampung	Graphique	
								Inter-Comparaison des NNCVc1	
11	17.41	63.37	72	106.19	112.15	64.26	72.93		
12	13.02	87.29	91.42	113.91	94.61	80.79	101.89		
13	79.8	74.32	100.06	145.61	89.05	60.04	96.29		
14	78.6	60.82	113.52	111.73	109.55	60.38	117.37		
15	50.57	74.88	133.27	114.14	114.15	88.11	222.31		
16	67.16	72.89	107.26	105.33	103.81	72.38	97.98		
21	59.51	78.92	94.73	141.51	133.47	53.32	99.27		
22	54.57	70.7	109.48	118.09	103.55	77.62	119.9		
23	81.33	71.3	148.79	110.03	117.68	88.93	104.96		
24	84.38	62.06	106.49	112.53	118.59	53.49	47.76		
25	98.34	52.85	135.03	127.2	140.07	59.78	111.28		
26	60.84	56.81	111.27	99.75	172.79	55.26	116.17		
31	58.02	76.45	106.32	126.49	99	83.88	93.71		
32	52.39	73.2	109.85	126.23	94.86	40.95	119.6		
33	95.38	78.38	123.82	100.91	104.86	0	94.39		
34	23.18	101.43	95.22	139.01	112.31	80.34	527.42		
35	73.8	124.01	117.86	100.85	139.06	69.82	101		
36	59.14	61.33	129.4	110.28	141.16	87.93	97		
41	64.13	74.75	82.85	120.82	112.37	52.21	203.38		
42	82.96	93.65	135.6	112	83.42	48.71	107		
43	89.84	58.43	117.56	103.42	79.61	47.59	98.4		
44	65.27	99.2	119.06	98.42	94.55	51.62	121.71		
45	84.84	113.07	102.27	110.62	79.18	71.71	111.94		
46	80.86	85.21	101.55	114.54	91.15	108.05	100.3		
51	79.01	79.58	118.71	82.42	128.5	30.62	96.12		
52	81.29	84.81	134.66	122.88	71.36	65.94	114.36		
53	73.88	78.05	141.99	104.41	62.34	79.77	103.67		
54	89.42	85.92	116.6	97.87	66.99	0	115.92		
55	76.11	65.24	93.28	89.79	70.03	26.52	100.74		
56	78.76	96.77	116.47	75.94	87.94	52.84	96.85		
61	61.92	68.75	120.78	122.55	114.35	35.63	103.75		
62	111.72	77.46	93.91	167.99	95.66	41.78	100.83		
63	67.95	91.5	98.89	75.33	75.48	58.6	106.35		
64	94.67	78.55	118.27	105.21	79.37	49.39	92.41		
65	84.42	100.98	131.35	42.33	62.81	54.19	91.34		
66	80.02	101.99	102.64	40.39	73	61.83	93.66		
Moyenne	70.96	79.86	112.56	108.24	100.80	58.73	119.44		
Ecart-type	21.33	16.29	17.13	24.73	25.43	22.94	75.82		
Minimum	13.02	52.85	72.00	40.39	62.34	0.00	47.76		
Maximum	111.72	124.01	148.79	167.99	172.79	108.05	527.42		
Mean Proximity Index MPIC1	Pucallpa	Yurimaguas	Theobroma	Pedro Pekoto	Yaoundé	Ambam	Lampung	Graphique	
								Inter-Comparaison des MPIC1	
11	85609	8427	70988	46516	2	37860	12194		
12	89644	59929	7390	6879	6	56074	467		
13	24203	29087	23913	6907	6	50708	61		
14	5501	17494	5158	30	17509	125			
15	98967	46117	647	6249	92	54541	371		
16	56791	54950	1247	20603	478	91496	279		
21	79677	2716	43797	50576	21	71394	636		
22	9482	9426	22642	6630	48	73335	1806		
23	7200	2980	3347	1737	16	82724	51		
24	46157	51223	3984	2387	37	77974	24		
25	53429	59597	3198	8871	3	33528	1645		
26	58624	93385	357	18408	13	87597	81		
31	18993	3282	45160	19261	237	41410	24		
32	61196	7493	50729	8787	131	13907	3264		
33	3659	35171	15500	6654	14	0	100		
34	60851	50756	1351	8140	21	76116	164		
35	78878	53909	893	21713	7	8476	43		
36	44165	17857	397	11520	236	41410	103		
41	56840	568	46450	7826	302	102345	53		
42	9151	2071	21287	7774	5573	83134	683		
43	20157	35757	11660	22877	6729	90582	1402		
44	44704	59646	398	16499	14798	65308	1227		
45	16449	33863	2268	12790	1801	41791	202		
46	21252	4510	957	9144	2996	31046	674		
51	9240	8281	31022	7468	745	112594	13		
52	9042	14762	4719	13039	4315	72556	47		
53	25007	3788	53977	6492	26965	90051	145		
54	3353	4372	55610	4681	33036	137487	401		
55	437	7677	2080	20106	19238	101367	523		
56	3511	15102	763	48635	9746	28240	31		
61	60273	39106	34966	25668	17509	99238	8		
62	58897	53321	45775	14243	14862	77627	93		
63	38099	1138	2857	51270	29777	68024	240		
64	28838	6848	1594	58769	41083	73350	398		
65	6015	25891	4517	51587	18296	95061	19		
66	835	10172	3171	104958	9773	42262	14		
Moyenne	38001	28165	16724	21313	7187	64392	767		
Ecart-type	29678	26143	19855	21533	11053	31538	2071		
Minimum	437	568	357	1737	2	0	8		
Maximum	89667	93997	70988	104958	41083	137487	12194		
Percent of Landscape %LANDc2	Pucallpa	Yurimaguas	Theobroma	Pedro Pekoto	Yaoundé	Ambam	Lampung	Graphique	
								Inter-Comparaison des %LANDc2	
11	1.72	44.72	23.54	14.21	43.98	15.45	24.08		
12	2.92	19.36	37.98	39.93	75.93	10.2	80.48		
13	12	38.07	38.58	54.81	91.75	8.8	72.09		
14	38.97	38.93	33.63	51.31	65.87	31.53	35.22		
15	6.18	24.64	72.78	38.01	52.75	11.13	21.76		
16	5.36	26.89	62.43	27.97	46.56	7.55	82.57		
21	2.85	57.4	26.79	6	39.91	5.15	26.51		
22	4.6	43.69	28.87	38.71	74.88	4.07	67.82		
23	30.8	44.57	61.26	56.15	63	3.45	39.58		
24	11.99	25.11	53.87	21.99	65.59	13.9	0.33		
25	11.53	18.78	72.56	41.38	17.2	14.31	45.76		
26	6.65	6.55	78.26	36.01	42.93	16.32	72.88		
31	12.81	44.67	21.69	27.17	61.14	13.01	43.35		
32	16.51	43.98	20.19	35.59	66.02	3.07	57.92		
33	30.68	28.72	37.88	45.42	75.13	1.46	43.15		
34	4.37	6.54	60.72	30.83	79.02	12.6	8.83		
35	16.82	4.1	72.97	35.5	61.31	33.23	90.2		
36	22.52	14.8	79.85	43.56	63.29	18.88	86.18		
41	15.12	60.28	5.7	42.88	51.39	5.53	20.39		
42	21.16	45.19	15.01	47.18	45.64	14.45	73.22		
43	22.97	17.52	41.48	28.53	49.15	15.51	47.44		
44	13.72	3.72	71.98	33.92	39.09	15.48	50.12		
45	44.15	4.74	63.91	39.2	62.4	23.32	83.49		
46	40.42	27.54	69.23	37.03	51.95	16.97	73.59		
51	25.48	47.28	27.7	28.08	49.63	5.95	80.55		
52	30.1	41.46	35.11	40.13	37.42	9.52	89.99		
53	39.66	39	19.68	44.67	15.85	10.52	80.3		
54	62.73	16.9	56.35	41.25	23.16	2.79	75.48		
55	71.19	37.06	63.37	27.08	28.4	4.4	71.14		
56	56.95	23.91	75.4	9.96	35.73	17.79	92.21		
61	14.95	21.99	21.17	28.14	17.74	7.46	96.1		
62	7.51	19.25	17.92	35.7	28.01	4.97	72.22		
63	31.32	51.79	53.53	8.58	25.86	16.72	66.03		
64	35.43	31.77	69.56	5.77	19.18	9.99	53.38		
65	52.92	24.97	61.48	5.57	30.71	5.59	93.86		
66	66.76	7.11	55.98	2.82	33.22	20.34	91.11		
Moyenne	24.77	29.26	47.46	31.98	48.08	11.98	61.37		
Ecart-type	19.46	15.87	21.86	14.44	19.81	7.52	26.30		

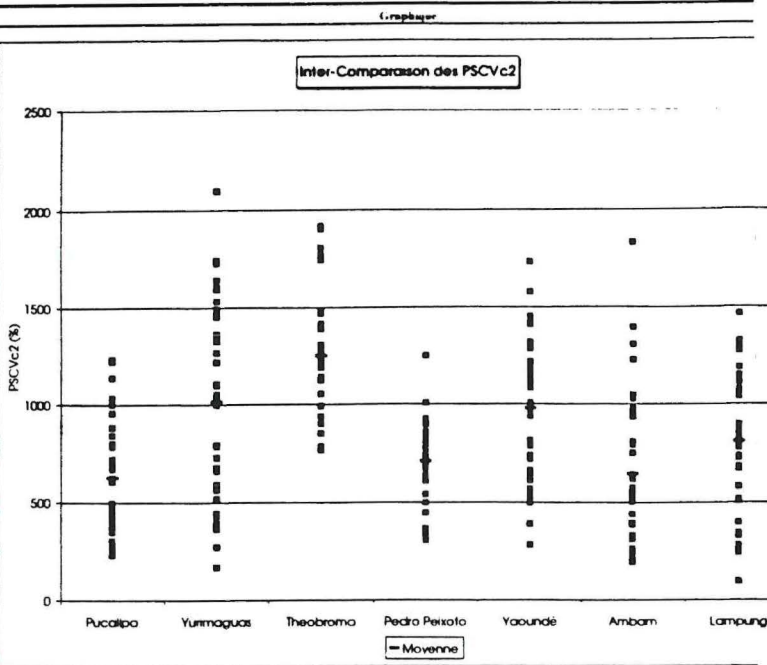
Number of Patches NPc2	Pucallpa	Yurimaguas	Theobroma	Pedro Pekoto	Yaoundé	Ambam	Lampung
11	211	669	614	219	127	413	356
12	237	1240	526	139	28	487	111
13	323	859	509	46	9	445	56
14	312	1153	393	111	83	633	28
15	253	1023	153	79	198	791	92
16	202	895	357	101	275	515	79
21	159	558	595	301	172	303	111
22	254	877	580	186	68	273	321
23	227	837	248	87	65	287	35
24	134	1288	244	87	68	494	2
25	215	1737	160	161	246	527	201
26	273	937	91	238	203	590	91
31	261	874	444	161	162	361	27
32	312	752	347	118	140	211	371
33	216	1132	234	136	59	361	68
34	122	1139	226	113	42	908	51
35	294	1221	164	200	101	549	54
36	404	785	135	327	136	593	73
41	320	384	311	88	194	361	15
42	214	579	330	85	532	592	194
43	304	761	394	123	411	658	262
44	301	750	102	141	423	708	129
45	330	655	163	212	196	578	83
46	347	703	176	162	195	512	138
51	234	800	396	168	290	594	12
52	416	995	202	94	579	528	65
53	426	693	437	91	368	609	120
54	184	894	168	119	432	343	129
55	108	742	147	206	364	425	121
56	193	784	164	278	315	617	17
61	217	1091	378	151	501	542	8
62	232	941	280	103	553	569	76
63	272	582	173	97	385	601	176
64	334	704	104	206	367	631	128
65	205	914	207	330	406	499	7
66	131	773	247	198	331	686	13
Moyenne	254,9	881,1	288,9	157,3	250,7	522,1	106,1
Ecart-type	79,8	254,4	150,1	72,2	163,3	148,9	96,3
Minimum	108,0	384,0	91,0	46,0	9,0	211,0	2,0
Maximum	426,0	1737,0	614,0	330,0	579,0	908,0	371,0



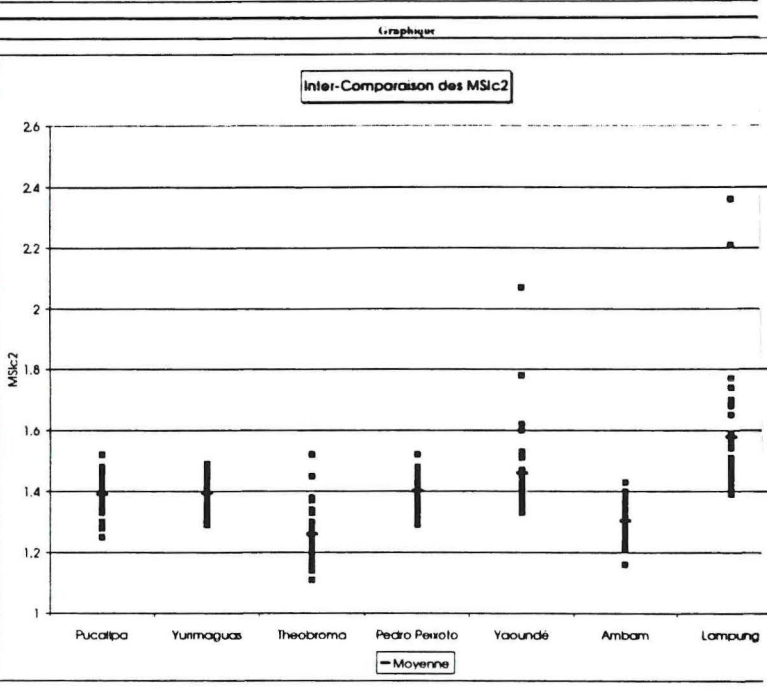
Mean Patch Size MPSc2	Pucallpa	Yurimaguas	Theobroma	Pedro Pekoto	Yaoundé	Ambam	Lampung
11	0,52	4,28	2,45	4,15	22,16	2,39	4,33
12	0,79	1,01	4,62	18,39	173,56	1,34	46,4
13	2,38	2,84	4,85	76,26	652,43	1,27	82,39
14	7,99	2,16	5,48	29,62	50,79	3,19	80,51
15	1,56	1,54	30,44	30,79	17,05	0,9	15,13
16	1,7	1,92	11,19	17,73	10,83	0,94	6,69
21	1,15	6,58	2,88	1,28	14,85	1,09	15,28
22	1,16	3,19	3,19	13,32	70,47	0,95	13,52
23	8,68	3,41	15,81	41,31	62,03	0,77	72,37
24	5,72	1,25	14,13	16,18	61,73	1,8	10,46
25	3,43	0,69	29,02	16,45	4,47	1,74	14,57
26	1,56	0,45	55,04	9,68	13,54	1,77	51,26
31	3,14	3,27	3,13	10,8	24,15	2,31	102,76
32	3,39	3,74	3,72	19,3	30,18	0,93	9,99
33	9,09	1,62	10,36	21,37	81,5	0,26	40,62
34	2,29	0,37	17,19	17,46	120,41	0,89	11,08
35	3,66	0,21	28,48	11,36	38,85	3,87	106,9
36	3,57	1,21	37,85	8,12	29,78	2,04	75,55
41	3,02	10,05	1,17	31,18	16,95	0,98	87,01
42	6,33	4,99	2,91	35,52	5,49	1,56	24,16
43	4,84	1,47	6,74	14,84	7,65	1,51	11,59
44	2,92	0,32	45,16	15,4	5,91	1,4	24,87
45	8,56	0,46	25,09	11,83	20,38	2,58	64,38
46	7,45	2,51	25,17	14,63	17,05	2,12	34,13
51	6,97	3,78	4,48	10,7	10,95	0,64	429,58
52	4,63	2,67	11,12	27,32	4,14	1,15	88,61
53	5,96	3,6	2,88	31,42	2,76	1,11	42,83
54	21,82	1,21	21,46	22,18	3,43	0,52	37,45
55	42,19	3,2	27,59	8,41	4,99	0,66	37,63
56	18,89	1,95	29,42	2,29	7,26	1,85	347,13
61	4,41	1,29	3,58	11,93	2,27	0,88	768,79
62	2,07	1,31	4,1	22,18	3,24	0,56	60,82
63	7,37	5,7	19,8	5,66	4,3	1,78	24,01
64	6,79	2,89	42,81	1,79	3,34	1,01	26,69
65	16,52	1,75	19,01	1,08	4,84	0,72	858,19
66	32,62	0,59	14,5	0,91	6,42	1,9	448,54
Moyenne	7,37	2,49	16,30	17,59	44,73	1,43	117,88
Ecart-type	8,90	2,03	14,14	14,41	110,43	0,78	201,80
Minimum	0,52	0,21	1,17	0,91	2,27	0,26	4,33
Maximum	42,19	10,05	55,04	76,26	652,43	3,87	858,19



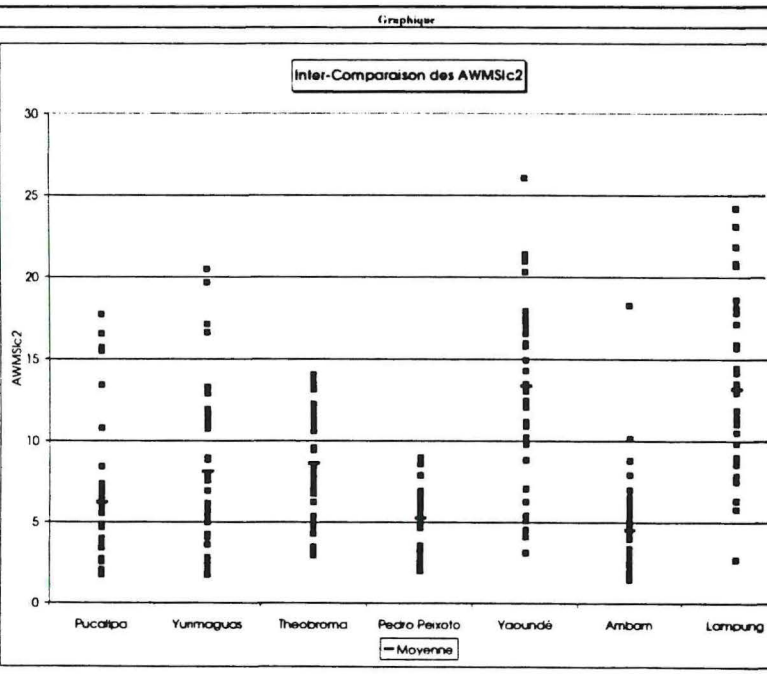
	Pucalpa	Yurimaguas	Theobroma	Pedro Páez	Yaoundé	Ambam	Lampung
11	242.41	731.09	766.96	750.83	1006.56	732.38	684.65
12	234.33	592.1	1917.83	774.75	516.83	504.68	1039.82
13	688.4	1730.11	1307.11	616.1	282.79	962.41	737.72
14	607.69	786.38	901.12	707.51	739.51	1393.24	517.67
15	274.48	520.24	1204.17	641.93	1140.84	544.88	675.58
16	304.82	661.51	1772.78	738.2	1417.28	314.41	872.32
21	440.7	1532.38	1138.32	613.75	1083.06	209.36	887.8
22	242.83	2097.22	1901.97	908.41	815.72	396.99	1444.19
23	671.47	1107.14	1480.49	898.6	787.19	619.47	580.56
24	616.7	564.41	1470.29	498.54	721.65	794.07	96.56
25	706.88	1099.78	1141.91	775.19	536.44	1225.82	1273.74
26	403.85	446.74	938.65	926.03	1142.96	528.01	848.09
31	1234.03	1326.11	1745.87	843.91	1191.24	568.19	508.21
32	364.98	1363.13	993.1	861.34	1168.79	241.52	1189.36
33	623.72	1594.09	852.67	815.35	664.08	256.26	812.58
34	386.31	430.69	1474.12	678.48	610.08	935.96	673.17
35	884.22	169	1262.46	739.51	956.09	1834.18	726.95
36	407.11	1053.29	1142.06	1249.11	1112.5	977.7	838.48
41	842.78	1604.69	786.35	634.33	1217.58	235.11	283.59
42	497.05	999.73	1190.11	541.9	1577.89	322.73	1289.21
43	445.51	795.06	1416.15	773.02	1734.2	637.8	1325.24
44	462.53	273.27	990.22	800.63	1408.89	956.71	1065.93
45	957.26	393.35	1240.21	843.62	1179.07	810.15	898.1
46	720.32	588.34	1297.53	610.62	1130.04	640.91	1150.49
51	372.52	1492.27	1808.56	776.71	1285.26	202.34	331.54
52	784.86	1744.9	1390.42	735.36	1452.32	441.45	780.34
53	801.99	1267.03	1123.96	754.43	567.79	575.28	1066.8
54	1139.09	678.73	1191.57	799.3	498.97	195.03	1114.07
55	1002.59	1219.18	1139.59	635.79	939.91	249.89	1076.26
56	1225.14	728.01	1134.66	447.3	1317.84	1305.5	399.93
61	368.88	1452.98	1215.68	1007.8	644.15	265.37	264.55
62	300.14	1641.81	1054.38	812.52	1095.68	318.98	789.72
63	350.3	1475.51	1221.39	332.09	816.97	1026.48	1293.1
64	693.43	1006.21	992.61	363.06	392.35	515.34	1055.54
65	1223.35	1036.94	1200.2	308.25	805.73	388.32	244.91
66	1034.89	365.91	1234.3	367.61	1295.57	1047.55	346.22
<b>Moyenne</b>	626.60	1015.81	1251.11	710.61	979.27	644.57	811.19
<b>Ecart-type</b>	306.28	495.12	295.73	196.31	353.20	394.01	353.32
<b>Minimum</b>	234.33	169.00	766.96	308.25	282.79	195.03	96.56
<b>Maximum</b>	1234.03	2097.22	1917.83	1249.11	1734.20	1834.2	1464.19



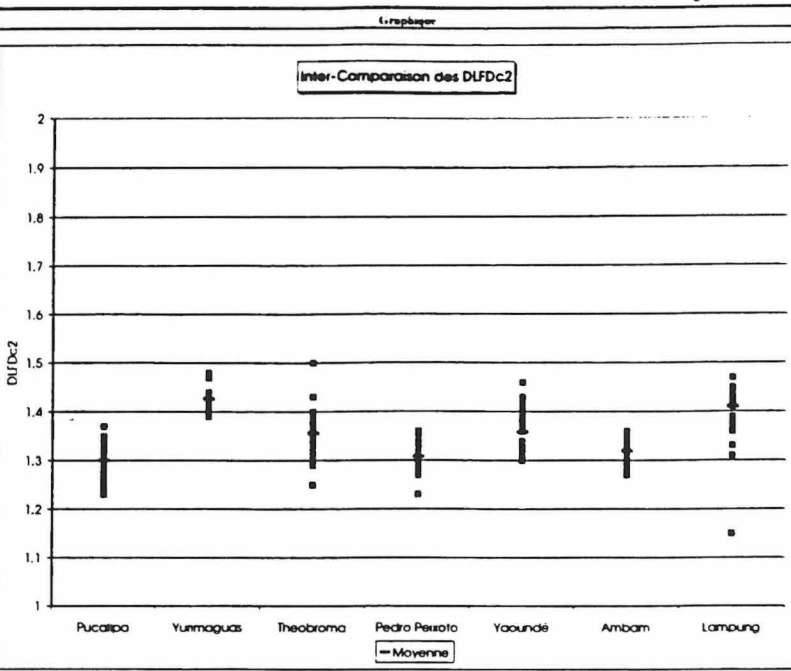
	Pucalpa	Yurimaguas	Theobroma	Pedro Páez	Yaoundé	Ambam	Lampung
11	1.3	1.48	1.33	1.43	1.51	1.33	1.65
12	1.25	1.41	1.27	1.37	1.78	1.32	1.4
13	1.33	1.42	1.28	1.52	2.07	1.29	1.49
14	1.46	1.47	1.24	1.33	1.62	1.37	1.58
15	1.28	1.46	1.3	1.42	1.47	1.28	1.51
16	1.28	1.48	1.27	1.38	1.45	1.26	1.49
21	1.28	1.42	1.25	1.31	1.45	1.35	1.65
22	1.29	1.37	1.2	1.32	1.45	1.29	1.59
23	1.47	1.42	1.22	1.45	1.53	1.21	1.43
24	1.48	1.41	1.19	1.43	1.53	1.31	2.36
25	1.3	1.36	1.24	1.44	1.4	1.29	1.49
26	1.3	1.31	1.33	1.44	1.42	1.37	1.39
31	1.28	1.47	1.19	1.36	1.41	1.43	1.7
32	1.43	1.42	1.23	1.43	1.35	1.28	1.54
33	1.45	1.38	1.2	1.36	1.6	1.16	1.47
34	1.41	1.3	1.21	1.39	1.6	1.25	1.47
35	1.36	1.29	1.27	1.39	1.4	1.33	1.41
36	1.4	1.37	1.23	1.41	1.37	1.34	1.59
41	1.38	1.35	1.14	1.42	1.42	1.32	1.69
42	1.52	1.4	1.21	1.48	1.33	1.38	1.45
43	1.42	1.45	1.21	1.35	1.33	1.32	1.48
44	1.38	1.35	1.24	1.36	1.34	1.31	1.49
45	1.42	1.35	1.29	1.38	1.42	1.4	1.46
46	1.42	1.49	1.23	1.4	1.44	1.33	1.51
51	1.52	1.33	1.17	1.3	1.39	1.26	1.74
52	1.42	1.38	1.11	1.47	1.41	1.3	1.68
53	1.4	1.39	1.38	1.44	1.44	1.29	1.41
54	1.45	1.41	1.29	1.48	1.4	1.23	1.43
55	1.4	1.42	1.33	1.43	1.4	1.27	1.49
56	1.43	1.46	1.34	1.44	1.38	1.33	1.65
61	1.47	1.3	1.15	1.41	1.4	1.29	1.69
62	1.34	1.3	1.21	1.37	1.41	1.24	1.56
63	1.47	1.35	1.26	1.47	1.41	1.32	1.4
64	1.42	1.37	1.37	1.29	1.42	1.31	1.51
65	1.4	1.41	1.52	1.44	1.44	1.28	2.21
66	1.45	1.43	1.45	1.37	1.37	1.32	1.77
<b>Moyenne</b>	1.39	1.39	1.26	1.40	1.46	1.30	1.58
<b>Ecart-type</b>	0.07	0.06	0.08	0.05	0.14	0.05	0.20
<b>Minimum</b>	1.25	1.29	1.11	1.29	1.33	1.16	1.39
<b>Maximum</b>	1.52	1.49	1.52	1.52	2.07	1.43	2.36



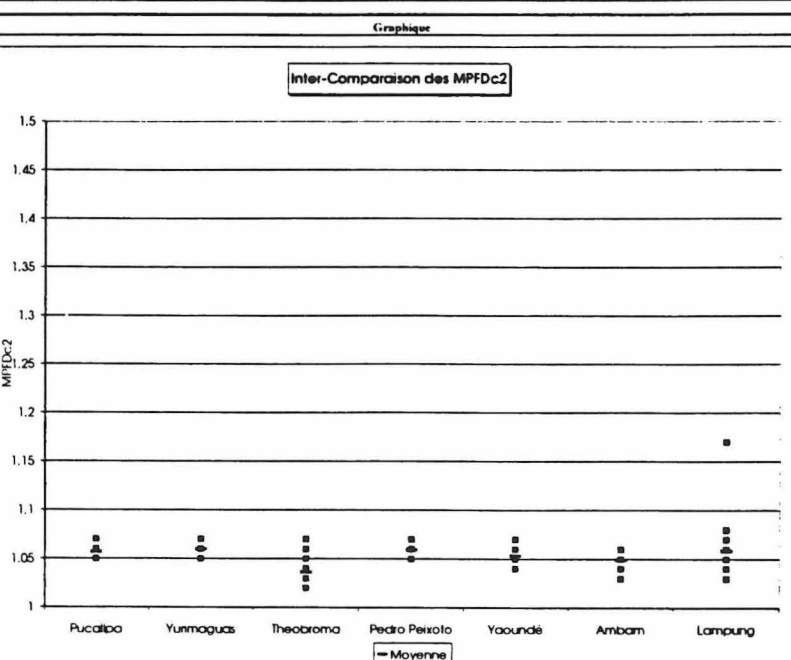
	Pucalpa	Yurimaguas	Theobroma	Pedro Páez	Yaoundé	Ambam	Lampung
11	1.89	7.97	4.31	2.78	16.55	5.82	7.84
12	1.75	3.6	9.45	5.84	14.28	3.35	17.16
13	3.64	16.63	7.46	6.69	10.23	5.17	12.94
14	6.94	6.16	5.37	4.67	9.83	10.15	10.51
15	2.07	4.1	13.53	5.08	15.98	3.16	7.49
16	2.04	4.98	13.79	4.82	17.25	2.47	11.88
21	2.74	17.11	6.24	2.7	16.97	2.18	8.81
22	1.94	19.68	6.88	6.1	21	2.72	13.06
23	6.73	10.74	7.9	7.89	17.02	3.39	9.01
24	5.55	4.24	9.53	3.57	14.94	5.46	2.7
25	4.86	5.28	11.55	5.74	4.11	7.91	17.83
26	2.54	2.59	11.18	6.04	11.17	3.99	14.45
31	10.79	11.25	4.74	5.69	21.39	4.84	11.03
32	3.61	13.27	2.96	8.98	26.06	3.99	14.33
33	7.28	8.85	3.49	5.24	13.47	1.48	15.9
34	4	2.15	10.59	5.28	13.05	4.27	8.79
35	6.24	1.76	11.02	5.08	12.47	18.27	14.43
36	3.43	6.14	10.98	6.84	17.22	5.96	15.67
41	7.36	20.47	3.15	4.85	20.32	2.15	5.79
42	4.75	8.96	3.01	5.64	17.93	2.88	18.14
43	3.55	5.5	8.24	5.02	17.49	4.65	18.6
44	3.58	2.05	7.33	5.46	10.89	6.1	8.53
45	8.41	2.38	13.15	5.75	15.98	6.05	17.89
46	6.5	5.07	13.89	4.76	16.94	4.73	24.19
51	4.66	13.04	5.94	5.54	16.92	1.82	8.53
52	6.42	11.95	5.33	6.92	15.79	3.08	9.83
53	6.23	11.55	7.57	8.85	5.1	3.36	14.17
54	13.42	4.08	11.86	8.57	4.54	1.65	20.72
55	17.72	11.1	14.04	4.73	8.84	1.95	21.86
56	16.55	5.25	11.45	2.65	13.36	8.8	11.44
61	3.74	6.92	5.11	6.45	5.42	2.05	6.31
62	1.93	8.84	6.75	5.36	9.77	1.96	13.49
63	3.52	12.89	9.59	3.19	6.25	6.51	23.12
64	5.98	7.56	12.25	2	3.13	3.26	20.85
65	15.49	5.79	8.48	2.16	7.06	2.46	8.62
66	15.69	2.82	11.77	2.32	12.05	6.98	8.66
<b>Moyenne</b>	6.21	8.13	8.64	5.26	13.35	4.53	13.18
<b>Ecart-type</b>	4.45	5.06	3.42	1.80	5.46	3.19	5.30
<b>Minimum</b>	1.75	1.76	2.96	2.00	3.13	1.48	2.70
<b>Maximum</b>	17.72	20.47	14.04	8.98	26.06	18.27	24.19



Double Log	Pucalipa	Yurimaguas	Theobroma	Pedro Peñoto	Yaoundé	Ambam	Lampung	
Fractal	11	1,34	1,42	1,37	1,33	1,36	1,31	1,47
Dimension	12	1,24	1,4	1,38	1,29	1,43	1,32	1,41
DLFDc2	13	1,28	1,4	1,36	1,31	1,4	1,3	1,41
	14	1,33	1,43	1,36	1,3	1,37	1,35	1,41
	15	1,24	1,4	1,37	1,29	1,36	1,34	1,42
	16	1,23	1,41	1,38	1,28	1,38	1,3	1,41
	21	1,29	1,42	1,37	1,33	1,36	1,33	1,47
	22	1,25	1,42	1,36	1,3	1,46	1,33	1,45
	23	1,33	1,43	1,35	1,31	1,39	1,3	1,39
	24	1,33	1,41	1,34	1,28	1,37	1,31	1,15
	25	1,25	1,44	1,25	1,31	1,3	1,33	1,44
	26	1,25	1,43	1,35	1,33	1,33	1,34	1,42
	31	1,27	1,47	1,34	1,31	1,39	1,36	1,43
	32	1,32	1,43	1,33	1,34	1,42	1,27	1,47
	33	1,34	1,43	1,29	1,3	1,41	1,29	1,45
	34	1,37	1,43	1,35	1,29	1,39	1,33	1,45
	35	1,26	1,48	1,36	1,3	1,34	1,34	1,43
	36	1,29	1,44	1,35	1,36	1,32	1,33	1,43
	41	1,32	1,43	1,32	1,3	1,36	1,31	1,33
	42	1,34	1,43	1,37	1,29	1,36	1,34	1,43
	43	1,28	1,44	1,37	1,31	1,33	1,32	1,44
	44	1,3	1,48	1,35	1,29	1,3	1,33	1,38
	45	1,33	1,44	1,35	1,34	1,36	1,35	1,42
	46	1,32	1,41	1,35	1,32	1,33	1,31	1,44
	51	1,35	1,42	1,38	1,28	1,34	1,29	1,36
	52	1,3	1,44	1,3	1,34	1,38	1,3	1,43
	53	1,29	1,44	1,5	1,29	1,36	1,32	1,43
	54	1,33	1,4	1,35	1,28	1,33	1,28	1,43
	55	1,34	1,42	1,33	1,32	1,31	1,31	1,44
	56	1,31	1,42	1,4	1,33	1,32	1,32	1,41
	61	1,33	1,39	1,31	1,33	1,4	1,29	1,31
	62	1,26	1,41	1,35	1,27	1,36	1,32	1,42
	63	1,3	1,43	1,35	1,3	1,32	1,32	1,44
	64	1,29	1,41	1,37	1,23	1,31	1,33	1,44
	65	1,32	1,43	1,43	1,36	1,34	1,34	1,37
	66	1,31	1,47	1,39	1,35	1,32	1,34	1,36
Moyenne		1,30	1,43	1,36	1,31	1,36	1,32	1,41
Ecart-type		0,04	0,02	0,04	0,03	0,04	0,02	0,06
Minimum		1,23	1,39	1,25	1,23	1,30	1,27	1,15
Maximum		1,37	1,48	1,50	1,36	1,46	1,36	

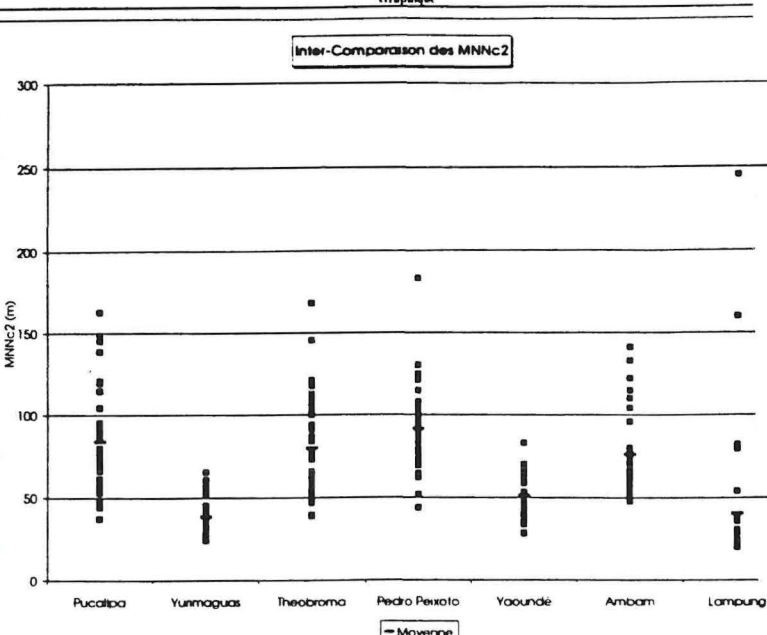


Mean Patch	Pucalipa	Yurimaguas	Theobroma	Pedro Peñoto	Yaoundé	Ambam	Lampung	
Fractal	11	1,05	1,06	1,05	1,07	1,06	1,05	1,08
Dimension	12	1,05	1,07	1,04	1,06	1,04	1,05	1,05
MPFDc2	13	1,05	1,06	1,04	1,06	1,04	1,05	1,05
	14	1,06	1,07	1,04	1,05	1,07	1,05	1,06
	15	1,05	1,07	1,04	1,06	1,08	1,05	1,06
	16	1,05	1,07	1,04	1,06	1,06	1,04	1,06
	21	1,05	1,06	1,04	1,05	1,05	1,06	1,07
	22	1,05	1,06	1,03	1,05	1,04	1,05	1,07
	23	1,06	1,06	1,03	1,06	1,05	1,04	1,04
	24	1,07	1,06	1,03	1,06	1,05	1,05	1,17
	25	1,05	1,06	1,03	1,06	1,06	1,05	1,06
	26	1,05	1,05	1,04	1,06	1,06	1,06	1,04
	31	1,05	1,06	1,03	1,05	1,04	1,06	1,07
	32	1,06	1,06	1,04	1,06	1,04	1,05	1,07
	33	1,06	1,06	1,03	1,06	1,05	1,03	1,05
	34	1,06	1,06	1,03	1,06	1,05	1,04	1,05
	35	1,06	1,05	1,04	1,06	1,05	1,05	1,04
	36	1,06	1,06	1,03	1,06	1,05	1,05	1,07
	41	1,06	1,05	1,02	1,06	1,05	1,05	1,06
	42	1,07	1,06	1,04	1,07	1,05	1,06	1,05
	43	1,06	1,07	1,03	1,06	1,05	1,05	1,06
	44	1,06	1,06	1,03	1,05	1,05	1,05	1,06
	45	1,06	1,06	1,04	1,06	1,05	1,06	1,05
	46	1,06	1,07	1,03	1,06	1,05	1,05	1,06
	51	1,06	1,05	1,03	1,05	1,05	1,05	1,04
	52	1,06	1,06	1,02	1,06	1,06	1,05	1,08
	53	1,06	1,06	1,05	1,06	1,06	1,05	1,05
	54	1,06	1,06	1,03	1,06	1,06	1,04	1,05
	55	1,05	1,06	1,04	1,06	1,06	1,05	1,06
	56	1,06	1,07	1,05	1,07	1,05	1,05	1,03
	61	1,06	1,05	1,02	1,06	1,06	1,05	1,03
	62	1,06	1,05	1,03	1,06	1,06	1,04	1,06
	63	1,06	1,05	1,04	1,07	1,06	1,05	1,05
	64	1,06	1,05	1,04	1,05	1,06	1,05	1,05
	65	1,05	1,06	1,07	1,07	1,06	1,05	1,06
	66	1,06	1,07	1,06	1,06	1,05	1,05	1,06
Moyenne		1,06	1,06	1,04	1,06	1,05	1,05	1,06
Ecart-type		0,01	0,01	0,01	0,01	0,01	0,01	0,02
Minimum		1,05	1,05	1,02	1,05	1,04	1,03	1,03
Maximum		1,07	1,07	1,07	1,07	1,07	1,06	1,17

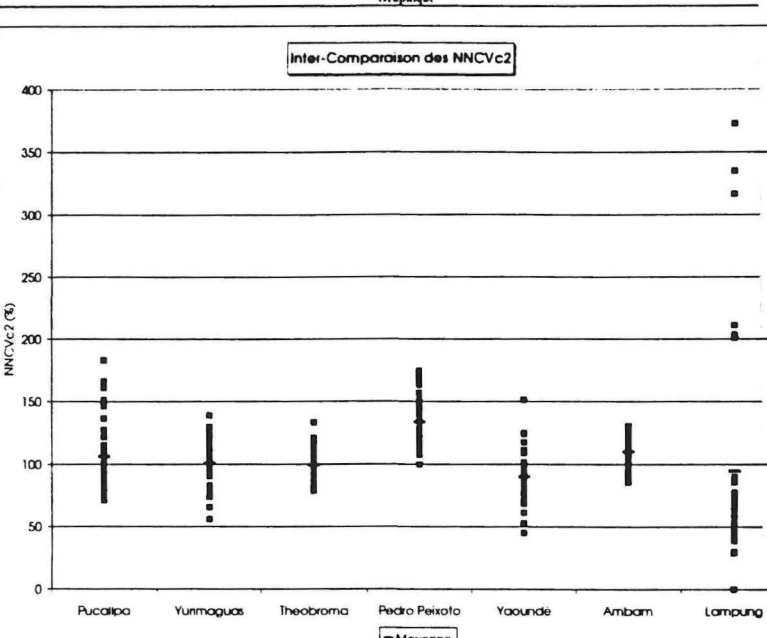


Area-Weighted	Pucalipa	Yurimaguas	Theobroma	Pedro Peñoto	Yaoundé	Ambam	Lampung	
Fractal	11	1,11	1,27	1,19	1,14	1,32	1,22	1,27
Dimension	12	1,1	1,18	1,26	1,21	1,3	1,16	1,32
AWMPFDc2	13	1,17	1,31	1,24	1,22	1,26	1,19	1,29
	14	1,24	1,24	1,22	1,18	1,27	1,26	1,28
	15	1,11	1,2	1,29	1,2	1,31	1,16	1,26
	16	1,11	1,22	1,3	1,19	1,32	1,14	1,28
	21	1,14	1,32	1,22	1,14	1,32	1,13	1,27
	22	1,1	1,33	1,23	1,22	1,34	1,15	1,3
	23	1,23	1,29	1,24	1,24	1,32	1,17	1,26
	24	1,22	1,21	1,26	1,17	1,3	1,2	1,16
	25	1,19	1,21	1,27	1,21	1,38	1,24	1,33
	26	1,13	1,15	1,27	1,22	1,28	1,18	1,3
	31	1,27	1,29	1,19	1,21	1,35	1,2	1,28
	32	1,18	1,3	1,14	1,26	1,37	1,11	1,32
	33	1,25	1,26	1,15	1,19	1,3	1,07	1,32
	34	1,19	1,13	1,27	1,21	1,29	1,18	1,28
	35	1,2	1,11	1,27	1,2	1,29	1,32	1,3
	36	1,16	1,23	1,27	1,22	1,32	1,21	1,31
	41	1,23	1,34	1,16	1,34	1,33	1,16	1,21
	42	1,2	1,28	1,15	1,2	1,33	1,16	1,33
	43	1,17	1,23	1,25	1,2	1,32	1,19	1,34
	44	1,17	1,14	1,23	1,2	1,27	1,21	1,25
	45	1,25	1,15	1,29	1,22	1,31	1,22	1,32
	46	1,23	1,22	1,3	1,2	1,32	1,2	1,36
	51	1,21	1,31	1,23	1,21	1,32	1,1	1,24
	52	1,21	1,29	1,2	1,23	1,31	1,15	1,26
	53	1,22	1,3	1,25	1,25	1,2	1,16	1,3
	54	1,29	1,19	1,28	1,24	1,2	1,09	1,34
	55	1,32	1,29	1,3	1,2	1,24	1,11	1,35
	56	1,31	1,22	1,28	1,15	1,29	1,24	1,27
	61	1,18	1,23	1,21	1,23	1,22	1,11	1,21
	62	1,1	1,26	1,23	1,2	1,26	1,11	1,3
	63	1,17	1,3	1,26	1,16			

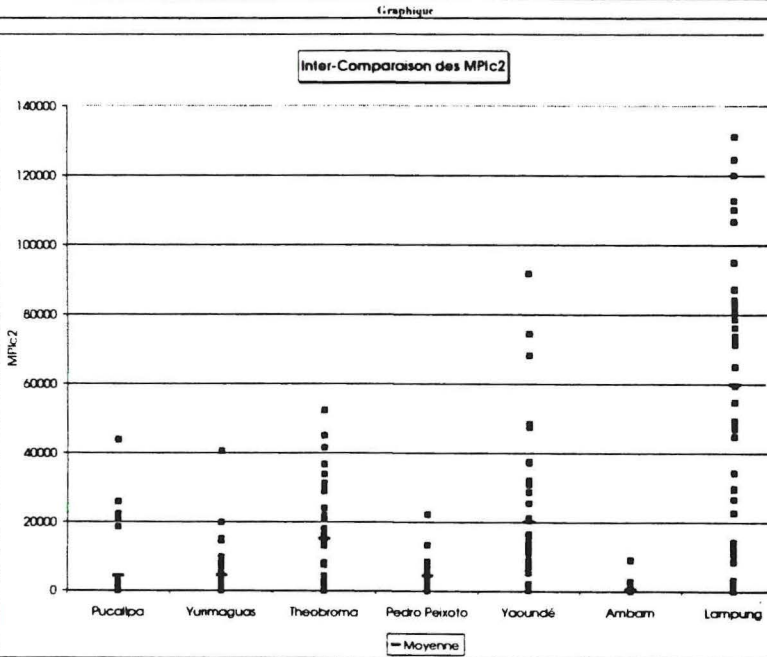
	Pucallpa	Yurimaguas	Threebroma	Pedro Páez	Yanamá	Ambato	Lampung	
Mean Nearest-Neighbor Distance MNNc2	11 12 13 14 15 16 21 22 23 24 25 26 27 28 29 30 31 32 33 34 35 36 41 42 43 44 45 46 51 52 53 54 55 56 61 62 63 64 65 66	145.32 162.69 104.47 56.26 138.6 119.55 145.7 120.67 66.83 85.27 92.33 114.74 90.97 67.45 69.57 148.49 95.08 66.48 74.47 80.11 77.26 87.78 57.66 61.68 48.72 55.64 53.06 47.57 37.6 47.88 76.97 95.62 71.81 61.15 44.34 53.95	29 39 30.04 27.93 35.19 36.37 25.84 29.17 26.82 35.48 37.42 59.74 26.02 30.44 36.5 57.23 52.08 52.07 24.54 31.05 34.74 60.96 65.61 33.75 35.53 29.35 32.15 41.18 34.87 37.37 45.53 56 27.33 38.86 38.6 55.02	65.81 63.11 64.9 85.15 51 47.13 74.82 84.22 75.3 94.26 54.84 58.27 103.43 117.8 112.73 77.98 52.08 49 145.61 108.89 73.36 92.4 50.06 49.15 100.34 168.12 91.46 87.02 62.45 55.44 39.62 107.09 121.01 100.43 61.88 48.11 39.07	93.03 85.36 99.84 79.94 104.97 130.24 91.13 75.41 89.45 121.38 64.35 52 87.71 108.12 72.8 103.27 77.27 44.06 97.47 41.59 114.79 79.82 62.03 71.72 91.83 124.87 92.14 59.64 66.54 83.77 95.52 99 182.95 65.15 122.29 53.53 61.01	46.61 52.63 28.51 49.68 41.56 39.43 63.84 33.87 48.39 58.77 83.14 70.33 44.63 28.8 34.55 43 62.56 45.17 41.51 44.04 57.55 52.11 48.08 35.77 62.45 114.85 57.51 62.22 64.41 47.3 51.18 26.43 28.51 47.89 53.53 56.04	73.29 71.57 73.2 47.89 64.25 79.27 96.21 110.12 132.94 69.01 68.15 60.94 78.88 141.09 122.31 61.58 52.87 104.32 64.13 60.44 30.25 47.47 52.11 60.27 25.08 77.9 74.5 66.65 114.85 57.51 58.68 75.1 80.27 62.09 62.02 77.98 56.04	38.67 25.42 26.73 22.31 54.05 24.95 35.82 28.11 24.17 160 30.87 27.33 79.43 28.83 37.89 82.26 23.28 25.52 245.24 28.64 30.25 27.47 25.3 25.08 20 25.18 23.67 24.2 25.76 22.15 22.25 30.86 24.03 29.03 29.26 25.35 40.54 43.37 20.00 141.09 245.24
Moyenne Ecart-type Minimum Maximum	R3.99 33.57 37.60 162.69	38.58 11.36 24.54 65.61	79.75 30.45 39.07 168.12	91.41 26.43 44.06 182.95	51.18 12.51 28.51 83.14	76.21 23.04 47.89 141.09	40.54 43.37 20.00 141.09	



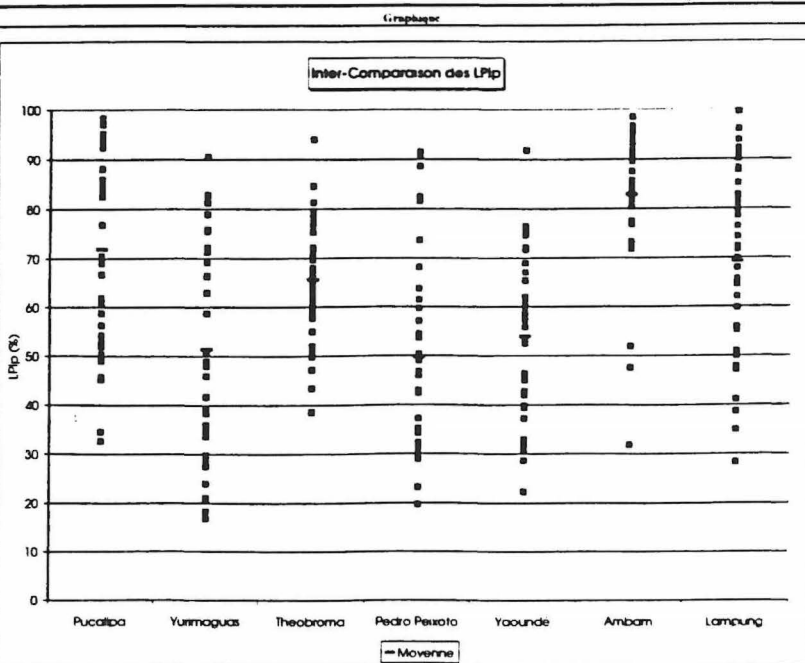
	Maximum	162,89	65,61	168,12	182,95	85,14	147,19	245,24
	Pucallpa	Yurimaguas	Theobroma	Pedro Peñto	Younsend	Ambam	Lampung	
Nearest-Neighbor	11	110,34	81,33	109,14	168,19	74,72	127,6	89,13
Coefficient of Variation	13	93,79	92,89	95,97	119,2	68,55	123,68	59,58
NNCVc2	13	113,33	79,26	94,34	157,13	45,07	109,75	56,55
	14	98,93	75,24	102,95	115,12	80,15	85,61	30,08
	15	100,27	115,31	92,93	121,08	92,36	91,06	372,7
	16	108,84	105,4	95,89	125,59	87,32	108,53	45,13
	21	96,03	73,95	90,52	121,26	91,65	111,07	203,73
	22	106,5	82,28	84,63	116,93	69,79	130,61	71,81
	23	127,31	65,54	93,34	148,76	124,87	107,99	39,25
	24	161,24	90,57	89,21	156,14	151,29	119,75	0
	25	103,53	96,18	90,32	172,35	117,26	110,54	201,35
	26	107,94	110,77	101,93	115,86	111,21	104,94	89,82
	31	80,9	83,19	115,73	137,99	86,12	114,74	201,14
	32	82,81	100,53	107,96	112,79	61,16	126,89	76,97
	33	183,12	101,81	100,25	138,75	52,69	97,54	211,05
	34	121,83	102,58	97,74	163,07	74,53	94,54	316,63
	35	111,97	105,3	98,72	119,2	92,44	125,54	50,77
	36	83,34	117,69	79,06	123,4	80,87	94,26	55,16
	41	151,26	56,24	103,5	141,78	97,79	102,78	335,1
	42	166,25	90,34	117,7	137,37	86,12	117,11	77,37
	43	96,93	114,52	108,81	129,89	94,68	102,86	73,28
	44	136,59	129,74	97,34	146,62	90,99	92,2	56,45
	45	81,18	122,01	88,55	174,45	93,85	109,3	65,65
	46	77,83	101,87	78,67	116,24	86,19	117,42	61,44
	51	114,95	99,71	96,29	134,5	80,99	117,54	0
	52	88,49	83,16	94,6	99,55	68,53	111,71	45,06
	53	77,89	139,01	133,35	107,03	111,3	107,98	59,74
	54	86,77	106,52	92,5	110,48	82,36	108,5	46,05
	55	70,95	129,13	110,67	116,11	84,98	117,33	63,61
	56	72,36	119,11	89,51	116,04	124,09	104,48	38,84
	61	107,48	100,39	83,24	153,89	88,82	97,56	29,4
	62	146,44	103,94	97,27	140,48	77,87	119,82	85,74
	63	82,55	75,85	98,31	140,67	108,93	112,83	48,17
	64	99,81	124,76	102,66	122,56	110,98	100,47	68,18
	65	95,56	115,56	120,69	139,42	85,46	113,87	44,83
	66	76,08	125,4	111,02	153,13	101,75	116,91	44,37
Moyenne		106,15	100,53	99,04	133,70	89,94	109,87	94,84
Ecart-type		27,82	19,65	11,70	19,61	21,00	11,06	91,61
Minimum		70,95	56,24	78,67	99,55	45,07	85,61	0,00
Maximum		183,12	139,01	133,35	174,45	151,29	130,61	272,70



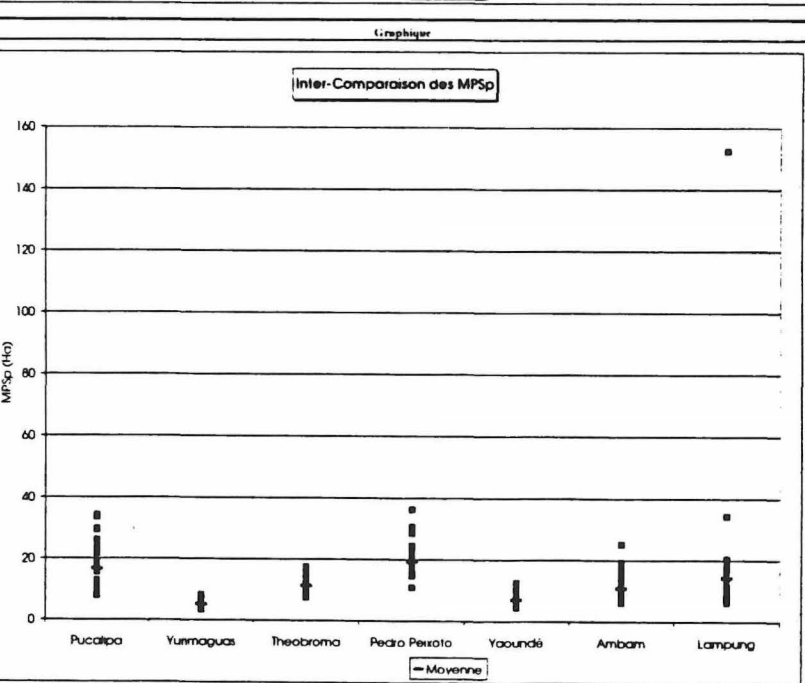
Maximum	183,12	139,01	133,35	174,45	151,29	130,61	172,70	
Mean	Fucalda	Yurimaguas	Theobroma	Pedro Peñato	Yasuní	Ambut	Lampung	
Proximity	11	x	3214	436	349	16620	660	1665
Index	12	11	208	4327	6317	32139	145	87404
MPIc2	13	181	9782	3469	13388	91734	230	76218
	14	2197	1290	1149	7233	13055	2869	47037
	15	32	383	36757	4839	20588	92	3297
	16	35	699	24071	1177	11038	41	73851
	21	9	19922	1260	50	9018	23	10630
	22	18	15208	1940	3614	74404	27	22K19
	23	2815	4422	13184	22259	47537	50	49517
	24	1102	315	15265	955	37273	686	4
	25	472	398	29016	7367	362	772	34392
	26	61	47	41564	5720	5237	200	80933
	31	928	4808	2944	4659	30911	255	29K16
	32	192	7646	448	5475	68148	11	14314
	33	2382	1947	1005	8064	37646	3	44K45
	34	97	24	18146	3018	4K521	222	8527
	35	1101	8	31326	2766	14346	9084	124638
	36	305	602	52414	8479	2K768	399	950K9
	41	769	40K89	38	6154	25493	25	12489
	42	910	5247	221	5340	12675	86	54K88
	43	302	602	K209	2560	148K1	351	26709
	44	245	16	21094	3679	7017	471	29K02
	45	2649	29	31305	2195	21195	723	106769
	46	2032	785	33K81	1412	15964	360	78702
	51	1044	8727	2976	2112	15192	20	112731
	52	1341	5641	7619	7940	7278	98	65043
	53	1722	6327	2087	8010	559	107	87150
	54	20944	277	14287	6744	353	8	84228
	55	43K07	4450	30K69	2011	1613	18	71441
	56	18K08	746	45145	106	6729	1184	131238
	61	327	783	1120	1575	323	24	120116
	62	51	1532	1411	5394	2136	17	59609
	63	408	14K62	15663	72	1311	784	73415
	64	18K0	2311	22002	47	201	89	47557
	65	224K0	996	13515	39	1565	38	82829
	66	25K98	41	16237	51	5277	846	110123
Moyenne		4374	4578	15181	4477	20178	584	59909
Ecart-type		962K	7864	14936	4417	22435	1551	38200
Minimum		8	8	38	39	201	3	4
Maximum		43K07	40K89	52414	22259	91734	9084	131238

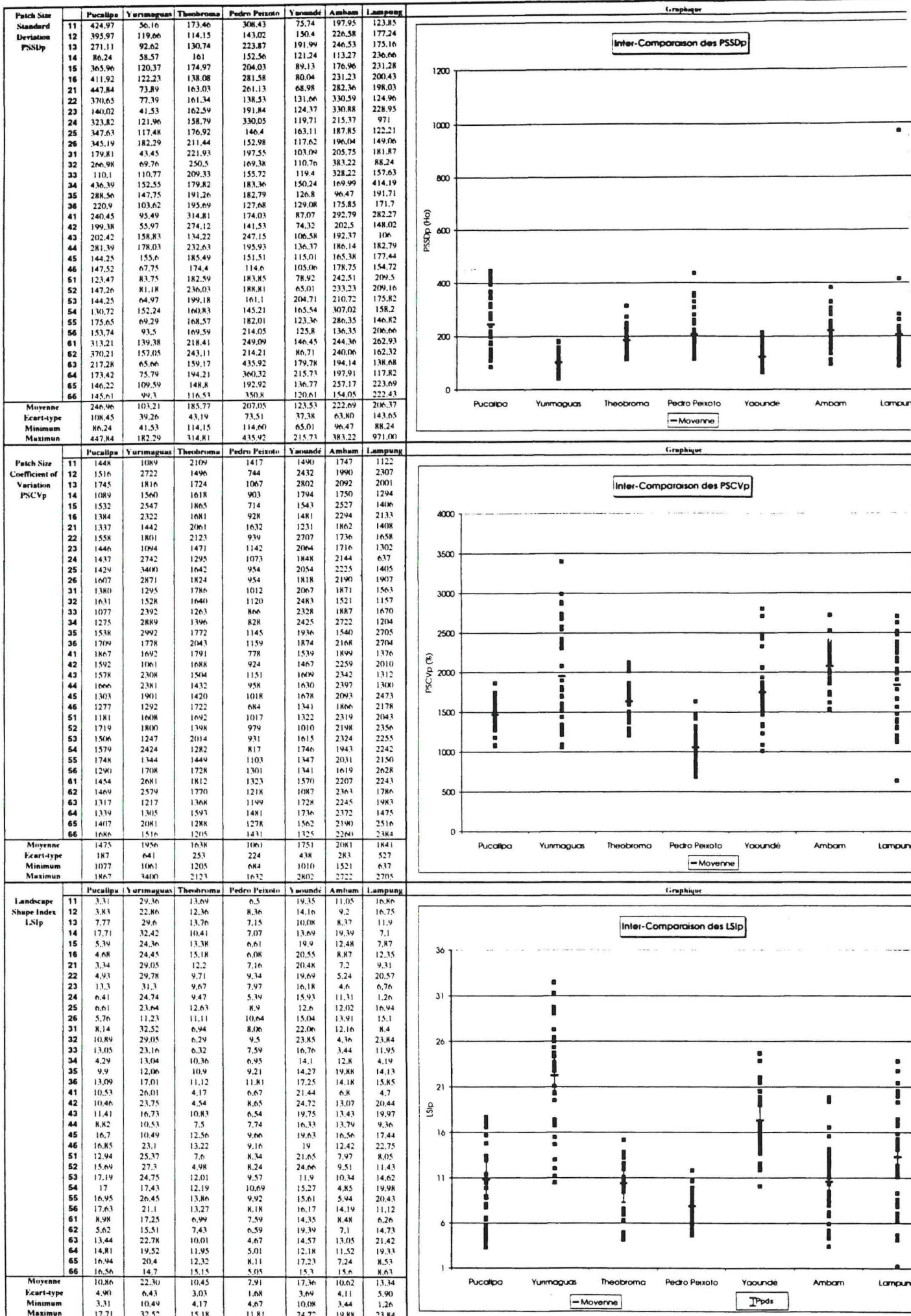


Largest Patch	Pucallpa	Yurimaguas	Theobroma	Pedro Pernoto	Yaoundé	Ambam	Lampung	
Index LPip	11	98,27	20,73	75,32	82,51	39,43	72,79	34,98
12	97,05	71,29	38,61	23,17	75,54	83,82	79,8	
13	85,99	4,46	54,97	50,36	91,73	89,77	71,72	
14	34,58	28,47	62,03	28,99	53,36	51,9	59,85	
15	93,8	69,13	71,09	31,8	42,81	83,61	69,67	
16	94,61	66,38	58,65	59,7	39,86	91,12	81,57	
21	96,97	36,06	71,44	81,67	33,04	90,75	62,09	
22	95,18	34,77	69,58	30,89	74,63	94,83	55,23	
23	54,28	16,84	57,71	54,43	62,01	94,35	55,96	
24	85,21	72,22	50,78	73,64	57,52	84,88	99,53	
25	88,12	78,87	65,71	37,24	72,18	80,52	41,17	
26	93,27	90,48	77,44	32,1	46,38	81,91	64,77	
31	49,86	18,29	76,73	50,23	57,39	77,53	50,91	
32	82,57	33,71	79,53	46,02	65,46	95,63	28,36	
33	32,72	62,9	60,86	30,09	65,36	98,52	47,85	
34	93,5	82,82	59,68	31,94	75,31	85	88,16	
35	82,98	82,78	72,16	53,93	58,63	31,83	90,07	
36	76,78	50,6	78,78	34,27	60,62	76,87	83,17	
41	83,57	49,03	93,96	32,3	45,01	93,32	76,49	
42	70,09	21,12	84,59	31,06	30,64	84,61	67,93	
43	70,48	75,52	47,18	63,76	42,08	83,88	38,7	
44	85,67	81,29	70,93	46,71	52,52	83,37	47,23	
45	49,03	66,28	62,29	42,91	52,58	73,19	82,82	
46	51,96	23,96	67,91	19,7	41,98	71,8	72,34	
51	45,74	3K,38	64,54	49,03	37,31	93,83	80,52	
52	61,85	41,77	63,21	42,43	22,36	89,56	87,81	
53	56,27	27,5	78,54	35,28	71,7	87,52	78,54	
54	52,81	75,83	51,95	30,22	67,01	96,67	74,34	
55	69,01	29,83	59,78	53,67	45,56	95,45	69,9	
56	50,37	4K,06	66,64	61,48	41,98	47,56	92,19	
61	84,45	75,84	77,63	68,12	59,17	91,88	96,09	
62	92,39	7K,94	81,34	57,11	28,71	94,23	65,67	
63	66,7	29,21	49,85	90,62	68,92	82,3	64,56	
64	5K,8	28,78	68,05	91,5	76,5	85,69	50	
65	45,23	58,73	51,27	53,94	55,9	93,9	93,85	
66	60,57	39,04	43,46	88,6	31,9	73,34	91,07	
Moyenne	71,96	51,43	65,67	49,76	53,97	82,99	69,36	
Ecart-type	19,84	22,81	12,40	19,99	16,33	14,29	18,65	
Minimum	32,72	16,84	38,61	19,70	22,36	31,83	28,36	
Maximum	98,27	90,48	93,96	91,50	98,52	99,53		

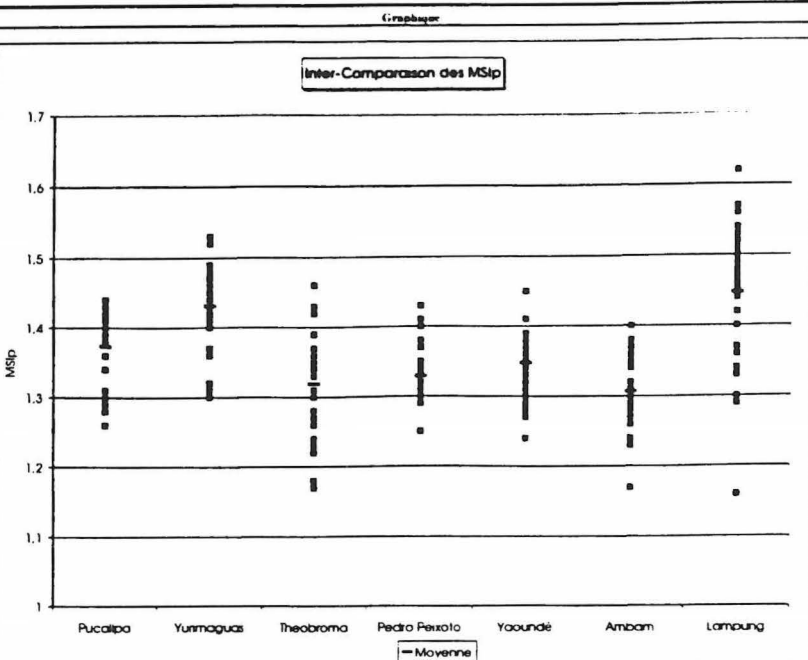


Number of Patches	Pucallpa	Yurimaguas	Rondonia	Pedro Pernoto	Yaoundé	Ambam	Lampung
NPp	11	218	1241	778	294	1259	565
12	245	1456	839	333	1035	562	833
13	412	1255	844	305	934	543	731
14	808	1705	643	379	947	989	350
15	268	1354	682	224	1108	914	389
16	215	1216	779	211	1184	635	681
21	191	1249	809	400	1142	422	455
22	269	1489	842	434	1316	336	849
23	661	1686	579	381	1062	332	364
24	284	1439	522	208	988	637	42
25	263	1852	594	417	806	758	736
26	298	1008	552	399	989	715	819
31	491	1908	515	328	1283	582	550
32	391	1402	419	423	1435	254	839
33	626	1382	386	356	1248	368	678
34	187	1212	497	289	1033	1025	186
35	341	1296	593	401	977	1022	903
36	495	1048	668	581	929	789	1008
41	497	1134	364	286	1131	415	312
42	511	1213	394	418	1263	714	869
43	499	930	717	298	966	779	792
44	379	856	394	313	765	824	455
45	578	782	490	430	934	810	892
46	554	1221	632	382	817	668	901
51	612	1229	593	354	1072	612	624
52	747	1419	379	332	994	603	721
53	668	1228	647	370	505	706	821
54	773	1019	510	360	675	405	907
55	637	1241	550	388	699	454	937
56	537	1169	652	389	682	760	814
61	297	1231	531	340	686	578	546
62	254	1051	466	364	802	630	704
63	3K8	1186	550	176	615	740	915
64	494	1102	525	263	515	767	801
65	616	1215	554	424	731	545	720
66	741	977	662	261	703	939	696
Moyenne	456,81	126,53	587,53	347,53	950,83	649,92	678,06
Ecart-type	184,44	249,77	137,75	79,27	235,63	199,26	240,52
Minimum	187,00	782,00	364,00	176,00	505,00	254,00	42,00
Maximum	808,00	1908,00	844,00	581,00	1435,00	1025,00	1008,00

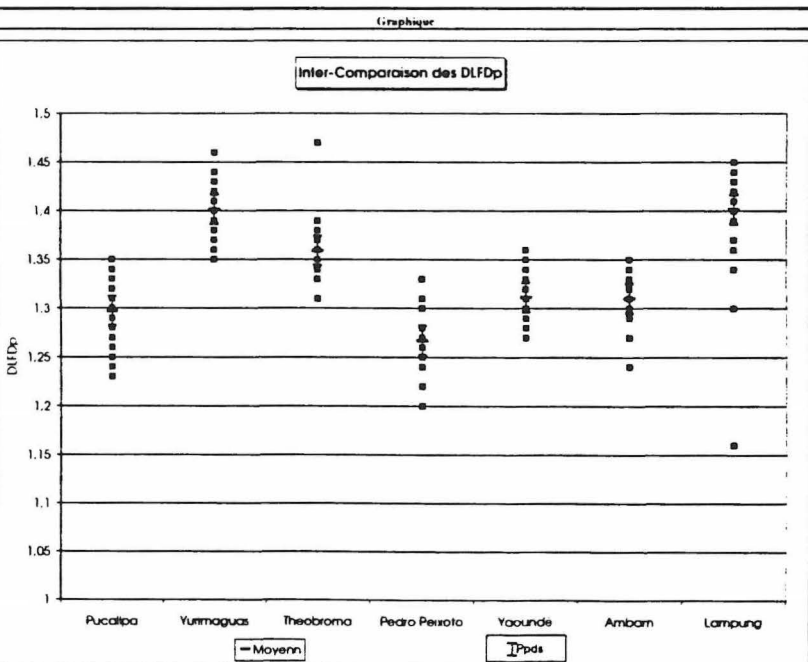




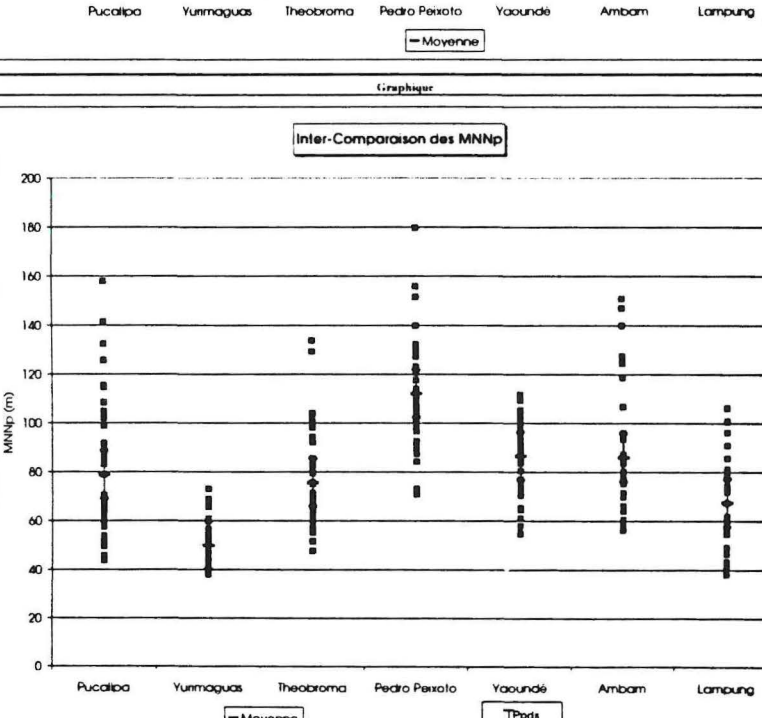
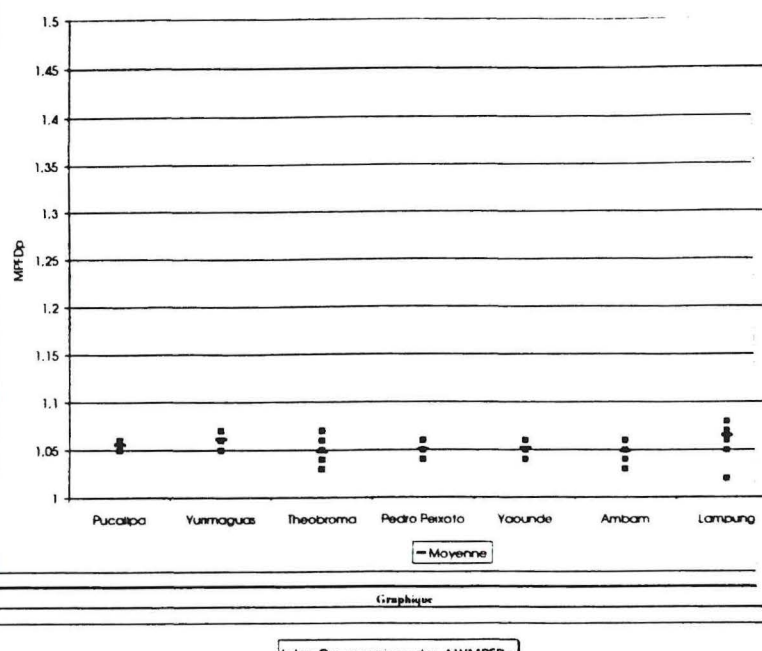
	Pucalpa	Yurimaguas	Theobroma	Pedro Pernoto	Yaoundé	Ambam	Lampung	
Mean Shape Index MSip	11	1,3	1,53	1,33	1,4	1,33	1,34	1,62
	12	1,26	1,41	1,3	1,34	1,27	1,32	1,46
	13	1,34	1,46	1,31	1,29	1,24	1,3	1,44
	14	1,44	1,48	1,3	1,25	1,28	1,36	1,45
	15	1,29	1,46	1,39	1,33	1,36	1,29	1,47
	16	1,28	1,46	1,36	1,31	1,37	1,27	1,42
	21	1,29	1,53	1,28	1,32	1,36	1,35	1,46
	22	1,3	1,45	1,24	1,31	1,32	1,29	1,56
	23	1,42	1,47	1,3	1,32	1,31	1,24	1,46
	24	1,39	1,42	1,28	1,3	1,33	1,31	1,16
	25	1,31	1,36	1,39	1,31	1,34	1,3	1,48
	26	1,3	1,31	1,43	1,38	1,3	1,36	1,47
	31	1,31	1,47	1,22	1,32	1,35	1,4	1,4
	32	1,41	1,45	1,24	1,37	1,36	1,29	1,54
	33	1,43	1,4	1,26	1,29	1,29	1,17	1,47
	34	1,36	1,32	1,33	1,31	1,3	1,26	1,44
	35	1,36	1,3	1,34	1,33	1,29	1,35	1,46
	36	1,39	1,4	1,35	1,35	1,32	1,34	1,42
	41	1,38	1,52	1,17	1,31	1,37	1,32	1,29
	42	1,44	1,52	1,23	1,3	1,37	1,37	1,5
	43	1,4	1,49	1,27	1,29	1,33	1,32	1,52
	44	1,38	1,36	1,34	1,29	1,33	1,31	1,42
	45	1,41	1,37	1,39	1,34	1,36	1,38	1,48
	46	1,4	1,49	1,37	1,34	1,37	1,34	1,53
	51	1,42	1,42	1,22	1,29	1,37	1,27	1,36
	52	1,4	1,44	1,23	1,29	1,45	1,3	1,44
	53	1,39	1,48	1,36	1,31	1,45	1,29	1,46
	54	1,36	1,42	1,35	1,38	1,38	1,23	1,52
	55	1,44	1,46	1,43	1,34	1,35	1,27	1,47
	56	1,44	1,45	1,42	1,41	1,35	1,34	1,37
	61	1,43	1,32	1,18	1,34	1,41	1,3	1,3
	62	1,34	1,32	1,24	1,3	1,41	1,24	1,49
	63	1,44	1,47	1,36	1,38	1,39	1,32	1,57
	64	1,41	1,43	1,37	1,29	1,39	1,31	1,51
	65	1,39	1,42	1,43	1,43	1,39	1,28	1,33
	66	1,38	1,45	1,46	1,38	1,32	1,32	1,34
Moyenne		1,37	1,43	1,32	1,33	1,35	1,31	1,45
Ecart-type		0,05	0,06	0,08	0,04	0,05	0,05	0,09
Minimum		1,26	1,30	1,17	1,25	1,24	1,17	1,16
Maximum		1,44	1,53	1,46	1,43	1,45	1,40	1,62

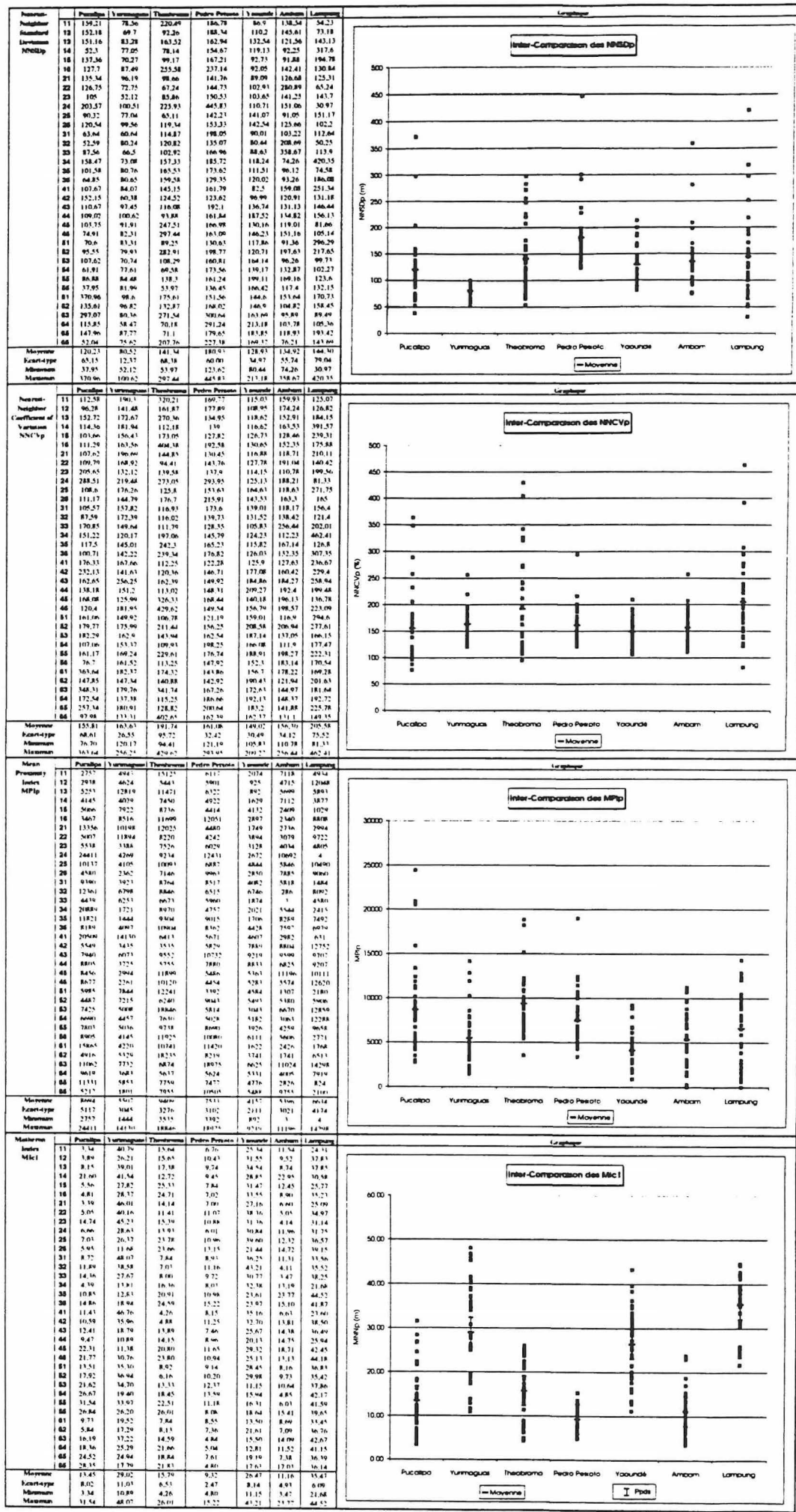


	Pucalpa	Yurimaguas	Theobroma	Pedro Pernoto	Yaoundé	Ambam	Lampung	
Area-Weighted Mean Shape Index AWMSip	11	3,28	12,4	11,35	5,4	9,41	7,32	7,57
	12	3,72	18,58	7,75	4,88	11,37	6,97	14,79
	13	6,48	20,93	9,6	5,58	9,52	7,33	9,89
	14	7,69	15,46	6,52	4,51	8,4	12,09	4,58
	15	5,25	18,44	10,93	4,33	10,77	10,18	3,36
	16	4,59	18,75	10,59	4,88	10,02	8,12	10,47
	21	3,01	14,31	9,95	5,62	9,19	5,94	3,98
	22	4,65	17,86	7,88	5,5	16,29	4,76	11,64
	23	7,03	11,23	6,69	5,95	11,8	3,89	4,43
	24	4,83	20,22	6,85	4,06	10,74	10,16	1,14
	25	6,29	21,14	10,37	5,34	7,53	9,35	11,11
	26	5,49	10,49	9,49	7	10,05	12,28	11,29
	31	5,46	12,14	5,92	5,52	14,29	8,37	3,89
	32	9,73	14,73	5,45	5,86	18,12	3,97	12,77
	33	5,88	17,18	4,68	4,84	10,88	3,42	8
	34	3,67	10,96	7,99	4,28	10,03	11,16	2,07
	35	9,68	10,57	9,12	6,08	9,4	12,6	13,28
	36	11,31	9,62	9,62	7,67	12,46	11,07	14,09
	41	9,02	14,66	3,58	4,2	11,98	6,19	2,69
	42	5,48	8,4	3,78	5,33	13,44	11,41	14,84
	43	7,75	12,99	7,36	4,8	14,17	12,22	11,23
	44	7,73	8,77	5,98	5,48	12,07	12,45	5,83
	45	11,81	6,89	10,42	6,15	12,62	12,83	15,63
	46	11,88	9,32	10,87	4,31	12,21	7,79	19,48
	51	5,18	15,36	5,53	5,47	11,15	7,7	7,15
	52	10,19	16,49	3,96	6,08	11,01	8,62	9,17
	53	12,62	10,14	9,98	6,65	7,4	9,23	12,02
	54	12,15	14,53	9,39	6,4	10,56	4,66	16,71
	55	13,88	12,73	10,97	6,53	9,26	5,68	17,06
	56	13,25	11,61	9,9	5,35	10,7	9,64	10,72
	61	8,04	14,82	5,83	6,36	7,63	8	6,12
	62	5,27	14,04	6,47	4,71	9,63	6,7	10,5
	63	10,61	10,12	7,19	3,89	11,01	11,94	16,39
	64	10,76	9,19	10,21	4,45	9,52	9,85	12,66
	65	13,28	14,11	7,55	4,56	10,76	6,94	8,22
	66	12,35	7,33	8,84	3,87	10,21	11,65	8,05
Moyenne		8,04	13,51	8,02	5,33	11,01	8,68	9,86
Ecart-type		3,31	3,90	2,28	0,93	2,26	2,79	4,68
Minimum		3,01	6,89	3,58	3,87	7,40	3,42	1,14
Maximum		13,88	21,14	11,35	7,67	18,12	12,83	19,48



	Pucallpa	Yurimaguas	Theobroma	Pedro Páez	Yaoundé	Ambam	Lampung	Graphique
Mean Patch fractal Dimension MPFDp	11.05	1.07	1.05	1.06	1.05	1.05	1.07	
12	1.05	1.06	1.05	1.05	1.05	1.05	1.07	
13	1.05	1.06	1.05	1.05	1.04	1.05	1.07	
14	1.06	1.07	1.04	1.04	1.05	1.05	1.06	
15	1.05	1.07	1.06	1.05	1.05	1.05	1.06	
16	1.05	1.06	1.05	1.05	1.06	1.04	1.06	
21	1.05	1.07	1.04	1.05	1.05	1.06	1.06	
22	1.05	1.06	1.04	1.05	1.05	1.05	1.07	
23	1.06	1.06	1.05	1.05	1.05	1.04	1.07	
24	1.06	1.06	1.04	1.05	1.05	1.05	1.02	
25	1.05	1.06	1.06	1.05	1.05	1.05	1.07	
26	1.05	1.05	1.07	1.05	1.05	1.05	1.07	
31	1.05	1.06	1.04	1.04	1.05	1.06	1.06	
32	1.06	1.06	1.04	1.06	1.06	1.05	1.07	
33	1.06	1.06	1.04	1.04	1.05	1.03	1.07	
34	1.05	1.05	1.05	1.05	1.05	1.04	1.06	
35	1.05	1.05	1.05	1.05	1.05	1.05	1.07	
36	1.06	1.06	1.05	1.05	1.05	1.05	1.07	
41	1.06	1.07	1.03	1.05	1.06	1.05	1.05	
42	1.06	1.07	1.04	1.05	1.05	1.06	1.07	
43	1.06	1.07	1.04	1.04	1.05	1.05	1.07	
44	1.06	1.06	1.05	1.05	1.05	1.05	1.06	
45	1.06	1.06	1.06	1.05	1.05	1.05	1.07	
46	1.05	1.07	1.05	1.05	1.05	1.05	1.07	
51	1.06	1.06	1.03	1.05	1.05	1.05	1.06	
52	1.06	1.06	1.04	1.04	1.06	1.05	1.07	
53	1.05	1.06	1.05	1.05	1.06	1.05	1.07	
54	1.05	1.06	1.05	1.05	1.05	1.04	1.07	
55	1.06	1.06	1.06	1.05	1.05	1.05	1.07	
56	1.06	1.06	1.06	1.06	1.05	1.05	1.06	
61	1.06	1.05	1.03	1.05	1.06	1.05	1.06	
62	1.05	1.05	1.04	1.05	1.06	1.04	1.07	
63	1.06	1.07	1.05	1.06	1.06	1.05	1.08	
64	1.06	1.06	1.06	1.05	1.06	1.05	1.07	
65	1.06	1.06	1.06	1.06	1.05	1.05	1.06	
66	1.06	1.07	1.06	1.06	1.05	1.05	1.06	
Moyenne	1.06	1.06	1.05	1.05	1.05	1.05	1.07	
Ecart-type	0.01	0.01	0.01	0.01	0.00	0.01	0.01	
Minimum	1.05	1.05	1.03	1.04	1.04	1.03	1.02	
Maximum	1.06	1.07	1.07	1.06	1.06	1.06	1.08	
	Pucallpa	Yurimaguas	Theobroma	Pedro Páez	Yaoundé	Ambam	Lampung	Graphique
Area-Weighted Mean Patch fractal Dimension AWMPFDp	11.13	1.3	1.27	1.19	1.24	1.23	1.21	
12	1.15	1.3	1.24	1.19	1.26	1.22	1.3	
13	1.21	1.33	1.26	1.2	1.25	1.22	1.23	
14	1.25	1.31	1.22	1.18	1.24	1.28	1.12	
15	1.18	1.31	1.26	1.18	1.25	1.25	1.12	
16	1.17	1.31	1.27	1.18	1.24	1.23	1.26	
21	1.12	1.31	1.26	1.19	1.23	1.2	1.13	
22	1.17	1.32	1.24	1.2	1.29	1.17	1.29	
23	1.23	1.29	1.22	1.2	1.25	1.15	1.13	
24	1.18	1.32	1.22	1.16	1.25	1.26	1.02	
25	1.21	1.33	1.26	1.2	1.23	1.25	1.23	
26	1.19	1.26	1.25	1.23	1.26	1.28	1.26	
31	1.19	1.3	1.2	1.2	1.27	1.24	1.17	
32	1.25	1.32	1.19	1.2	1.29	1.15	1.31	
33	1.21	1.31	1.18	1.19	1.26	1.14	1.19	
34	1.15	1.26	1.23	1.17	1.26	1.27	1.06	
35	1.25	1.25	1.25	1.21	1.24	1.29	1.29	
36	1.26	1.25	1.25	1.23	1.27	1.27	1.29	
41	1.25	1.3	1.14	1.17	1.25	1.2	1.1	
42	1.2	1.26	1.15	1.2	1.28	1.27	1.3	
43	1.23	1.28	1.24	1.18	1.3	1.28	1.24	
44	1.23	1.24	1.2	1.2	1.28	1.28	1.17	
45	1.28	1.22	1.26	1.21	1.28	1.28	1.3	
46	1.28	1.26	1.26	1.18	1.27	1.24	1.33	
51	1.2	1.32	1.2	1.2	1.26	1.23	1.2	
52	1.26	1.31	1.16	1.21	1.26	1.24	1.25	
53	1.28	1.28	1.26	1.21	1.23	1.25	1.27	
54	1.28	1.29	1.26	1.21	1.26	1.17	1.31	
55	1.29	1.3	1.27	1.21	1.25	1.19	1.3	
56	1.29	1.26	1.26	1.19	1.27	1.26	1.26	
61	1.23	1.3	1.2	1.21	1.24	1.23	1.2	
62	1.18	1.3	1.21	1.18	1.25	1.21	1.25	
63	1.26	1.27	1.22	1.15	1.27	1.27	1.29	
64	1.27	1.26	1.26	1.17	1.25	1.25	1.25	
65	1.29	1.29	1.24	1.18	1.27	1.22	1.23	
66	1.28	1.23	1.25	1.15	1.27	1.27	1.23	
Moyenne	1.22	1.29	1.23	1.19	1.26	1.23	1.22	
Ecart-type	0.05	0.03	0.04	0.02	0.02	0.04	0.08	
Minimum	1.12	1.22	1.14	1.15	1.23	1.14	1.02	
Maximum	1.29	1.33	1.27	1.23	1.30	1.29	1.33	
	Pucallpa	Yurimaguas	Theobroma	Pedro Páez	Yaoundé	Ambam	Lampung	Graphique
Mean Nearest-Neighbor Distance MNNDp	141.4	41.3	68.9	110	75.5	86.6	43.4	
12	158.1	49.3	57	105.9	101.2	83.6	57.7	
13	99	48.2	60.5	120.7	111.7	79.5	77.7	
14	45.7	42.3	69.7	111.3	102.1	56.4	81.1	
15	132.5	44.9	57.3	130.8	73.2	71.5	81.4	
16	114.7	53.5	63.2	123.1	70.5	93.5	74.4	
21	125.8	48.9	68.1	108.7	76.2	106.7	59.6	
22	115.5	43.1	71.2	100.7	80.6	147	46.5	
23	51.1	39.4	61.5	109.2	90.8	127.5	72	
24	70.6	45.8	82.7	151.7	88.5	80.3	38.1	
25	83.2	43.7	51.8	92.6	85.7	76.8	55.6	
26	108.4	68.8	67.5	71	99.3	76.9	61.9	
31	60.3	38.4	98.2	114.1	84.7	87.3	72	
32	60	46.5	104.1	96.7	61.2	150.8	41.4	
33	51.3	44.4	92.1	130.1	83.7	139.9	56.4	
34	104.8	60.8	79.8	127.4	95.2	66.2	90.9	
35	86.5	55.7	68.3	105.1	96.3	57.5	58.8	
36	64.4	56.7	66.7	73.2	95.2	70.5	60.5	
41	61.1	50.1	129.3	132.3	65.5	124.6	106.2	
42	65.5	42.6	103.5	84.3	54.8	75.4	57.2	
43	68	38	71.5	128.1	74	71.2	56.6	
44	78.9	66.5	83.1	109.1	98.6	70.1	78.3	
45	61.7	73	75.8	99.1	92.8	60.7	59.7	
46	62.2	45.2	69.2	109.1	93.3	76.1	47.1	
51	43.8	55.6	83.6	107.8	74.1	78.2	100.6	
52	53.2	45.4	133.8	127.2	57.9	95.5	78.4	
53	59	43.4	75.2	98.9	87.7	70.2	60	
54	57.8	50.6	63.3	87.5	83.8	118.7	57.6	
55	53.9	49.9	60.2	91.2	105.4	85.3	55.6	
56	49.5	50.8	47.7	92.2	109.3	64.1	77.5	
61	102	54.1	100.7	105.3	92.3	86.2	100.9	
62	91.7	65.7	94.3	117.6	77.1	86	78.6	
63	85.3	44.7	79.5	179.7	94.8	66.1	49.3	
64	67.1	42.6	60.9	156	111	69.9	54.7	
65	57.5	48.5	55.2	89.5	100.4	83.8	85.7	
66	53.1	56.7	51.6	140	104.3	58.1	96.2	
Moyenne	79.02	49.86	75.75	112.14	86.66	86.08	67.49	
Ecart-type	29.73	8.67	20.31	22.73	15.31	25.08	17.79	
Minimum	43.80	38.00	47.70	71.00	54.80	56.40	38.10	
Maximum	158.10	73.00	133.80	179.70	111.70	150.80	106.20	





**6. Classement des indices suivant les F des analyses de variance**

## Comparaison des ANOVA des indices

### Classement des indices du plus discriminant au moins discriminant

	Indice	F
1	<b>NPc2</b>	115,35
2	<b>DLFDp</b>	98,07
3	<b>NPP</b>	89,94
4	<b>Mlc1</b>	71,28
5	<b>%LANDc1</b>	70,59
6	<b>DLFDc2</b>	66,55
7	<b>DLFDc1</b>	65,56
8	<b>PSSDc1 tl</b>	59,32
9	<b>MPlc1 tl</b>	54,58
10	<b>MPSc2 tl</b>	54,56
11	<b>MPSc1 tl</b>	52,95
12	<b>PSSDc2 tl</b>	46,52
13	<b>LSIp</b>	43,55
14	<b>AWMSIC1</b>	43,17
15	<b>MPlc2 tl</b>	34,05
16	<b>NNSDc1 tl</b>	33,28
17	<b>MSlc2</b>	32,81
18	<b>MPFDp</b>	31,07
19	<b>MNNp</b>	30,08
20	<b>MSIp</b>	28,97
21	<b>NPc1</b>	28,91
22	<b>%LANDc2</b>	28,78
23	<b>AWMPFDc1</b>	27,96
24	<b>MPFDc1</b>	27,64
25	<b>AWMPFDc2</b>	27,30
26	<b>PSCVp</b>	26,30
27	<b>AWMSIp</b>	25,25
28	<b>AWMSlc2</b>	25,24
29	<b>MNNc2</b>	22,21
30	<b>MPFDc2</b>	21,28
31	<b>AWMPFDp</b>	17,79
32	<b>LPIp</b>	16,83
33	<b>NNCVc1</b>	15,77
34	<b>PSCVc2</b>	15,31
35	<b>PSSDp</b>	15,00
36	<b>PSCVc1</b>	14,69
37	<b>MSlc1</b>	13,60
38	<b>MNNc1</b>	11,07
39	<b>NNSDp</b>	9,81
40	<b>MPSp</b>	9,26
41	<b>MPIp tl</b>	6,31
42	<b>NNCVc2</b>	4,87
43	<b>NNCVp</b>	4,81

tl = transformation logarithmique effectuée

## 7. Graphes de comparaison des indices sélectionnés

Annexe 7a : Pourcentage de forêt (%LANDc1).

Annexe 7b : Indice de Matheron (MIC1).

Annexe 7c : Nombre de patches de domaine agricole (NPc2).

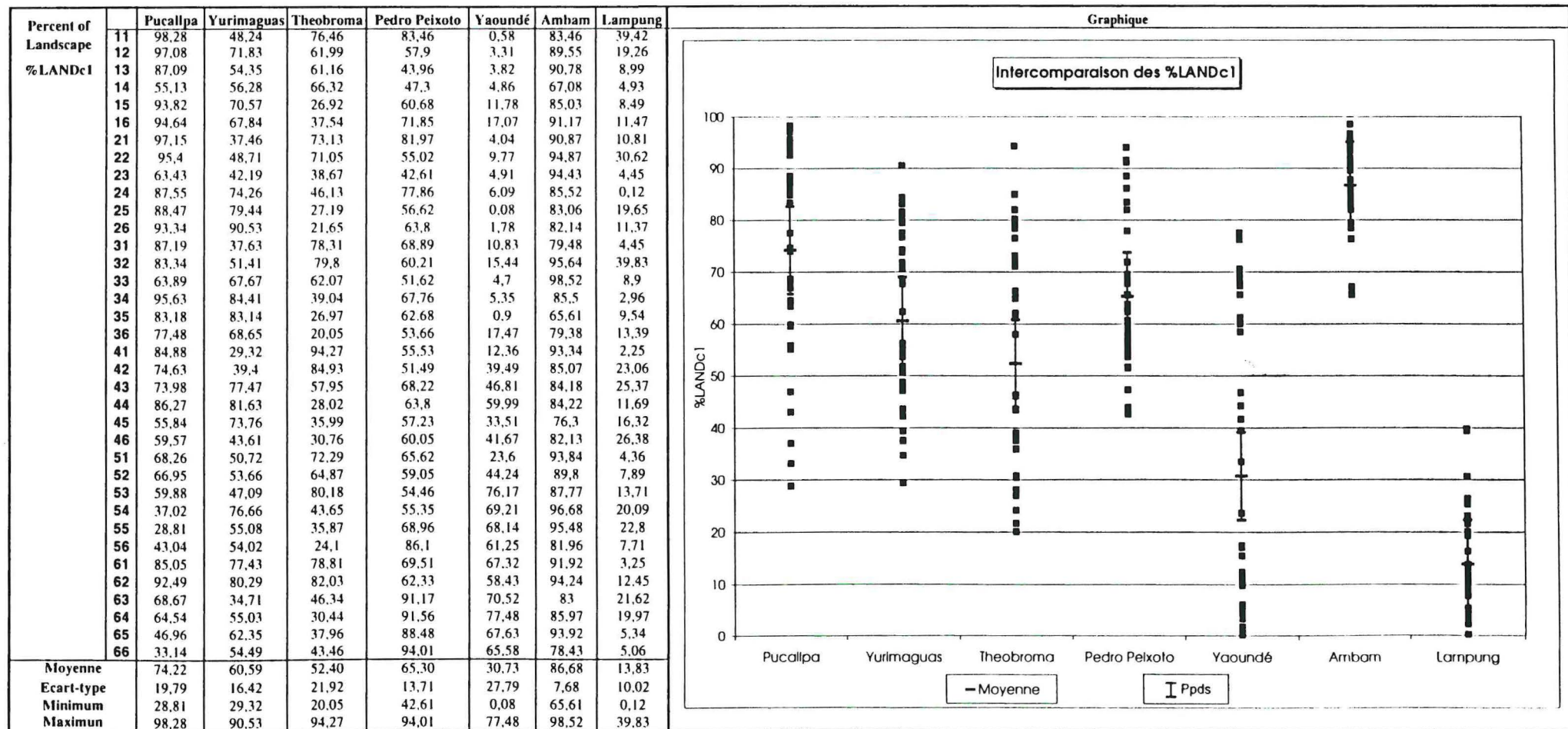
Annexe 7d : Taille moyenne des patches de domaine agricole (MPSc2).

Annexe 7e : Dimension fractale du paysage (DLFDp).

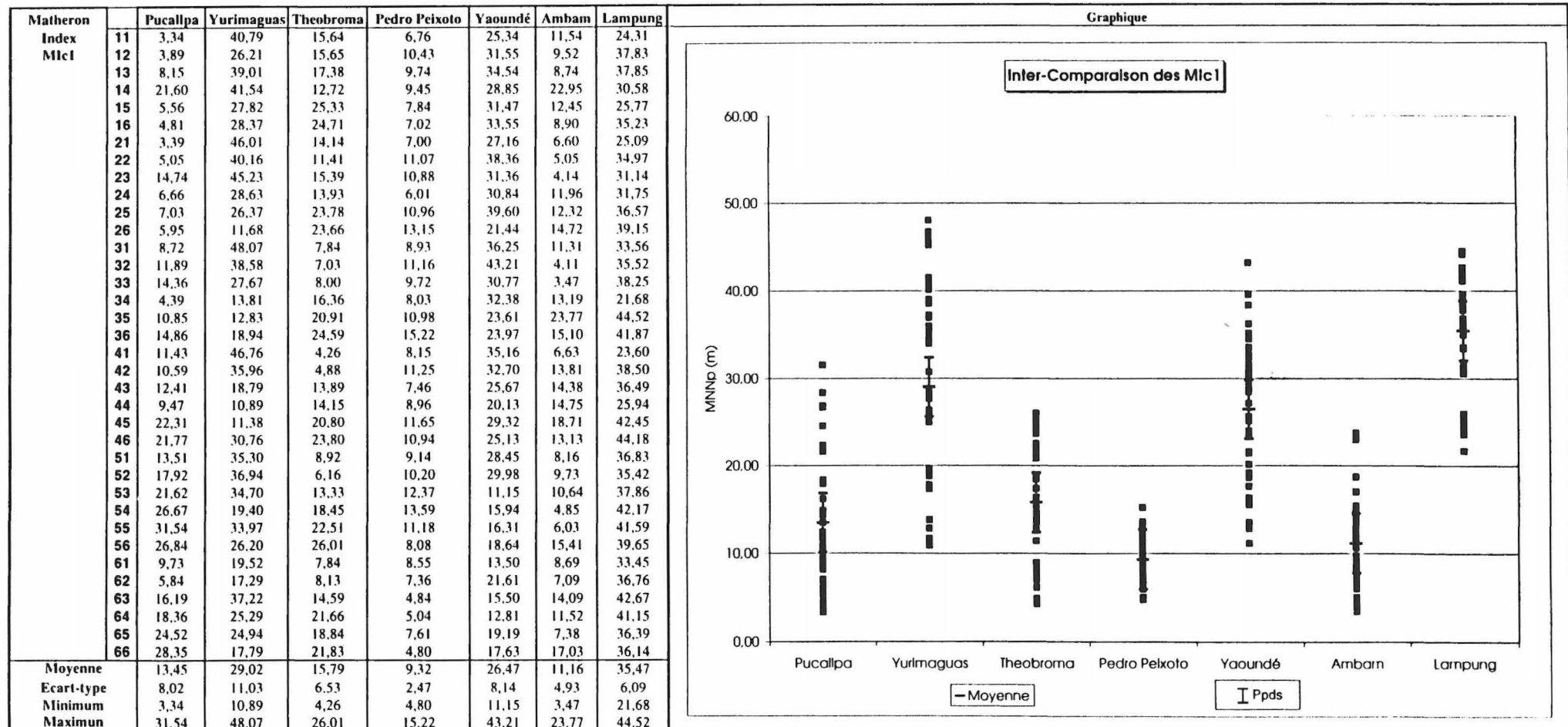
Annexe 7f : Moyenne des distances au plus proche voisin (MNNp).

Annexe 7g : Indice de proximité (MPIc1).

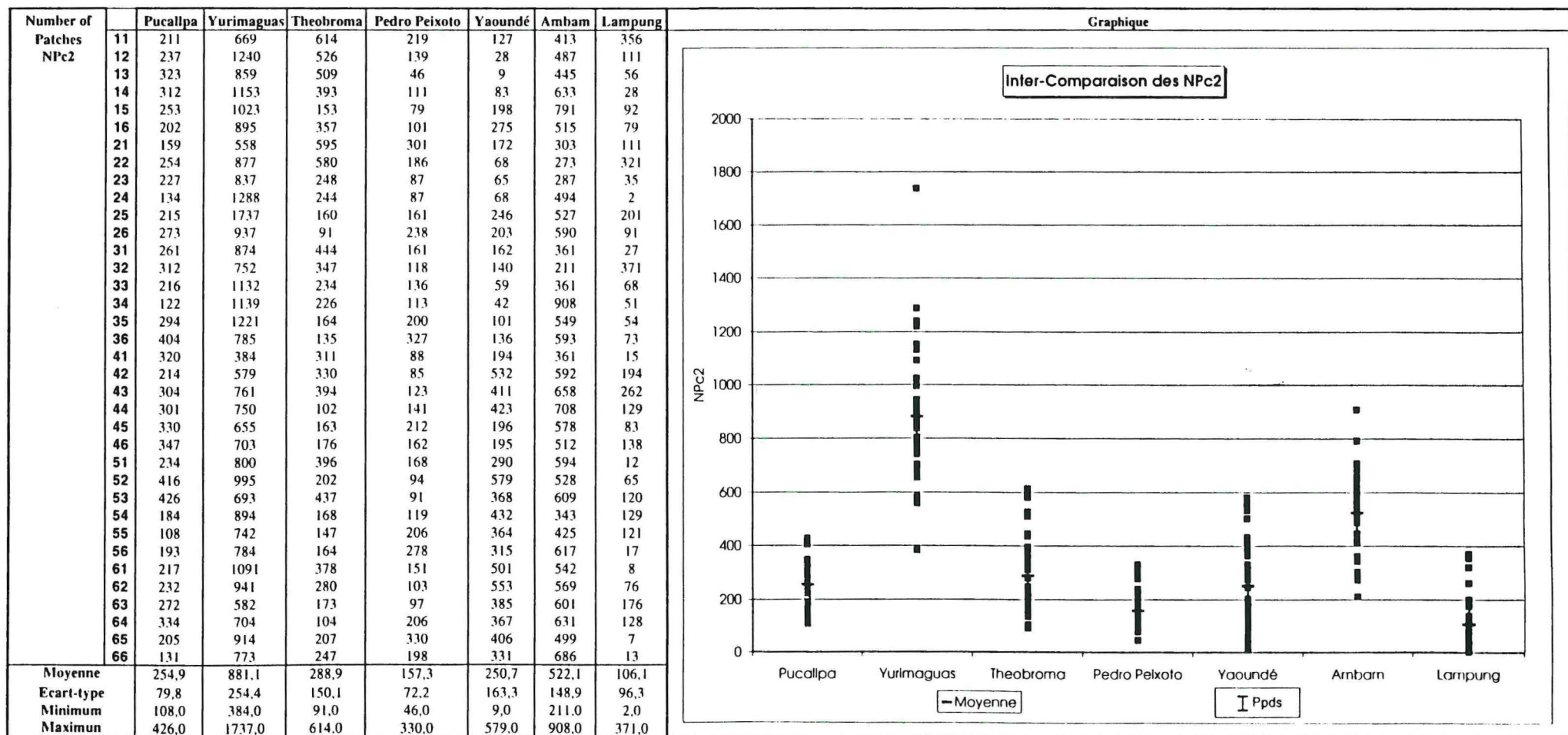
## Pourcentage de forêt (%LANDc1)



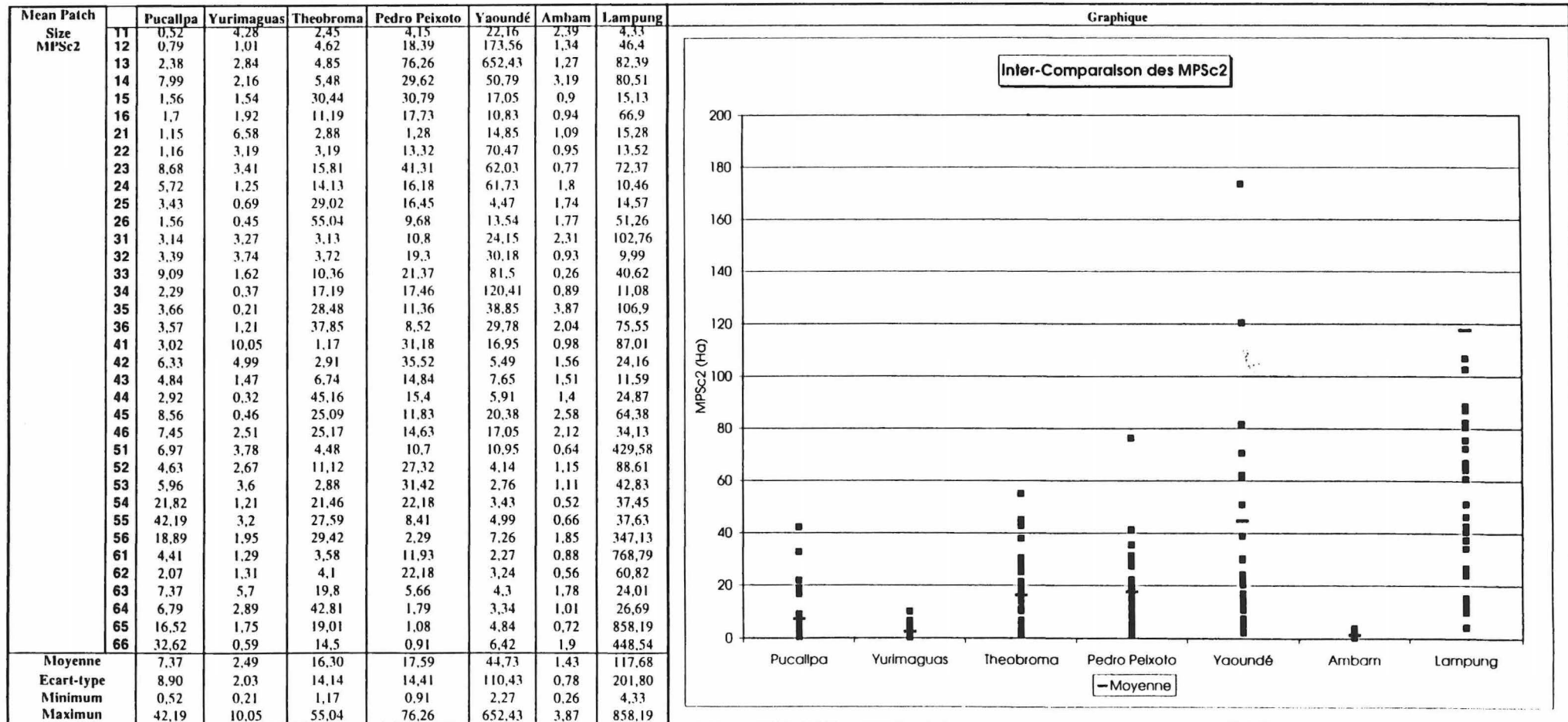
## Indice de Matheron (Mic1)



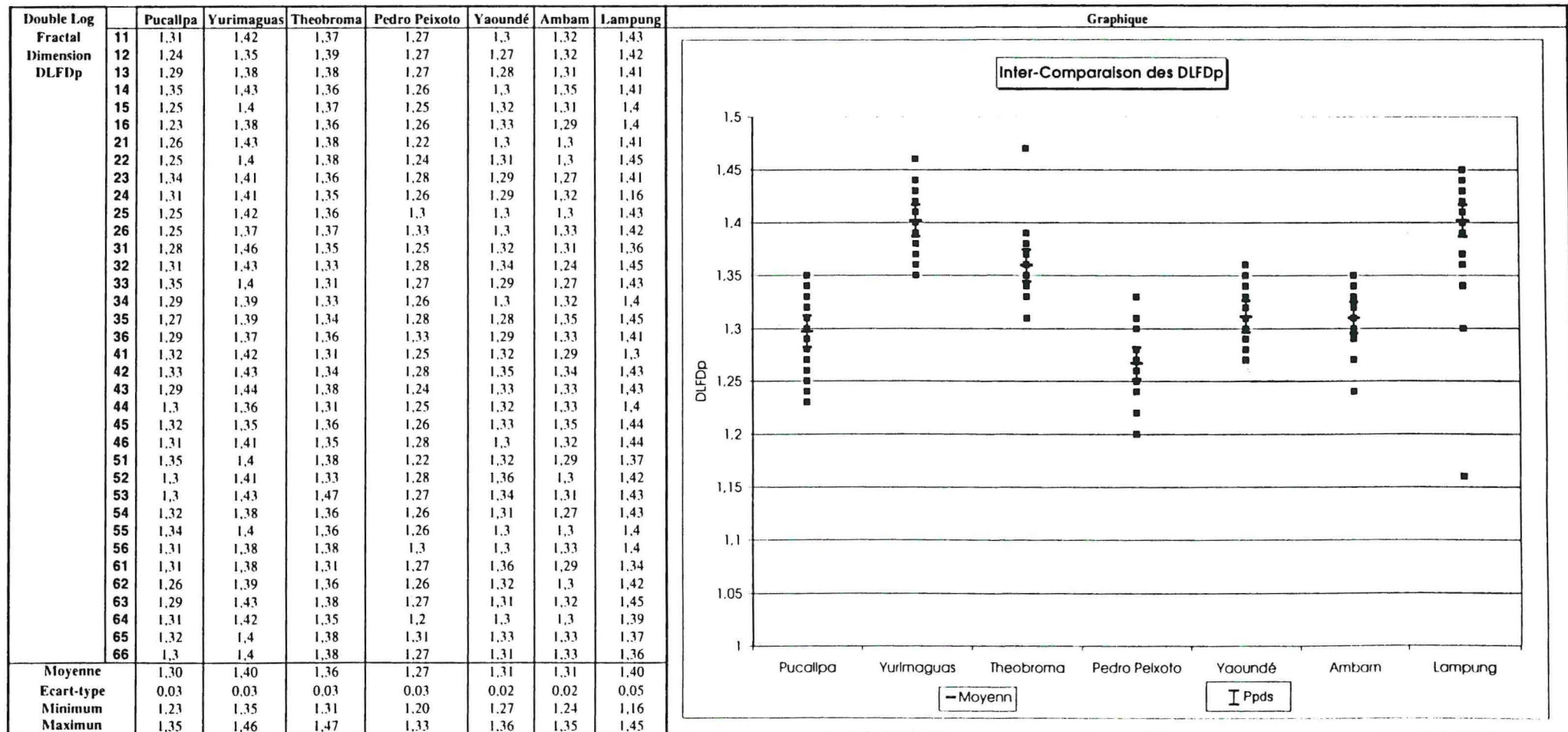
## Nombre de Patches de domaine agricole (NPc2)



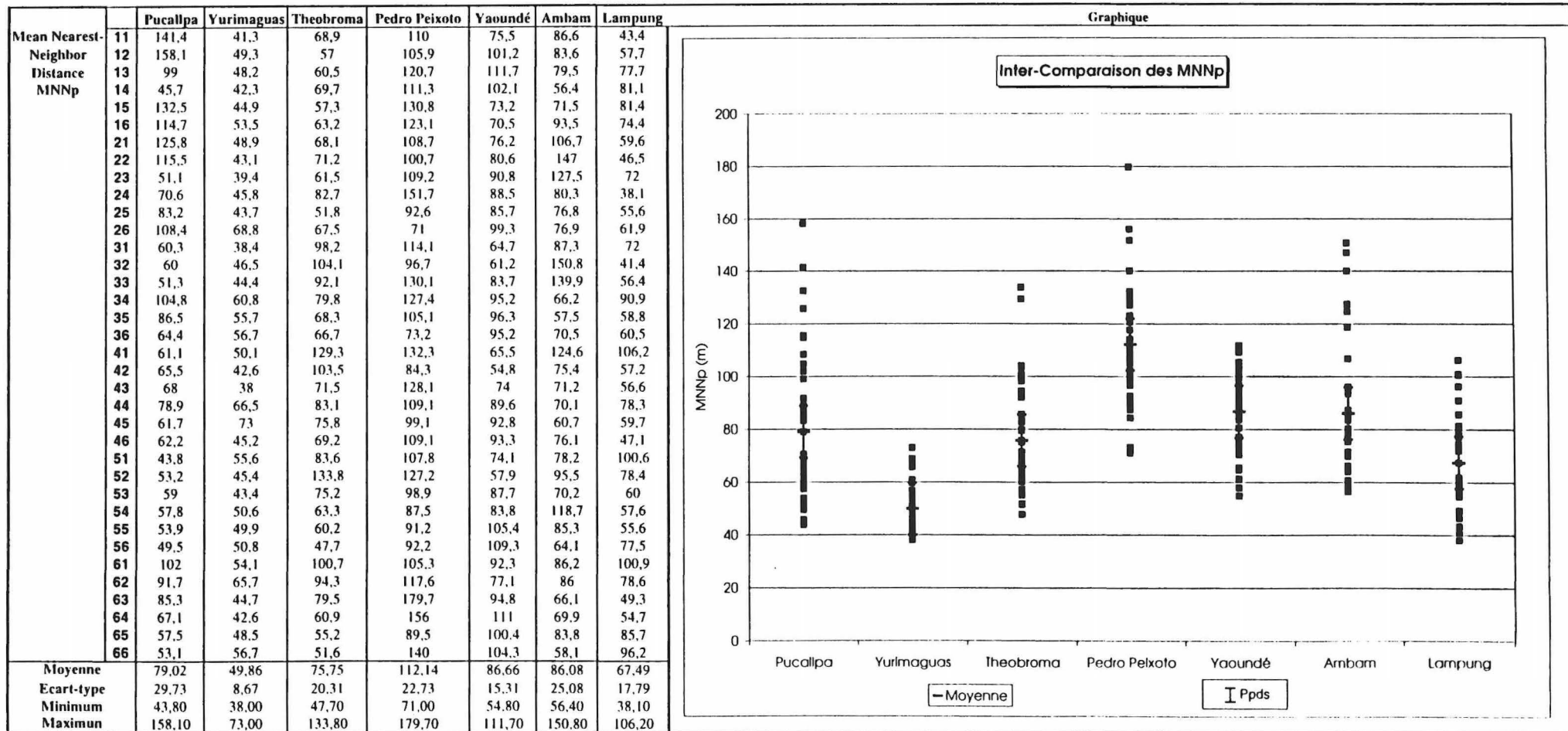
### Taille moyenne des patches de domaine agricole (MPSc2)



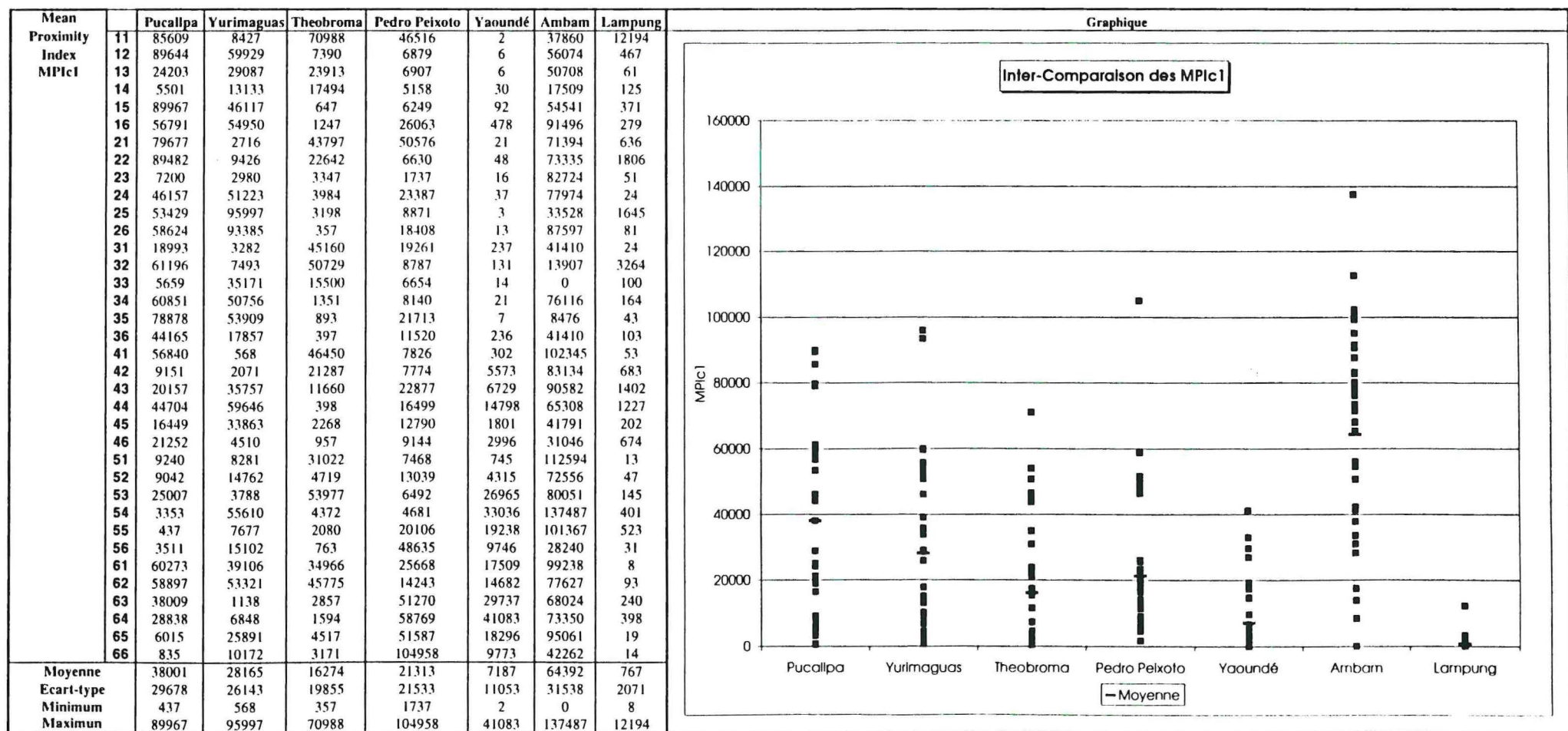
### Dimension fractale du paysage (DLFDp)



## Moyenne des distances au plus proche voisin (MNNp)



## Indice de proximité (MPIc1)



**8. Tableau des indices calculés sur l'intégralité des images**

## Indices calculés sur l'intégralité des images

Indices calculés sur les patches de forêt (classe 1)															
Percent of Landscape	Number of Patches	Mean Patch Size	Patch Size Coeficient of Variation	Mean Shape Index	Area-Weighted Mean Shape Index	Double Log Fractal Dimension	Mean Patch Fractal Dimension	Area-Weighted Mean Patch Fractal Dimension	Core Area Percent of Landscape	Number of Core Areas	Mean Core Area Per Patch	Patch Core Area Coefficient of variation	Disjunct Core Area Coefficient of Variation	Matheron Index	
%LANDc1	NPc1	MPSc1	PSCVc1	MSIc1	AWMSIc1	DLFDc1	MPFDc1	AWMPFDc1	C%LANDc1	NCAc1	MCA1c1	CACV1c1	CACV2c1	Mic1	
Pulcallpa	74,22	6429	26,62	5534,92	1,35	34,37	1,34	1,05	1,33	5,27	64	1,89	5710,65	561,02	11,28
Yurimaguas	60,59	9962	14,03	5595,86	1,51	56,75	1,45	1,07	1,4	0,3	9	0,07	9842,62	278,44	26,46
Theobroma	52,39	10176	11,87	7377,31	1,37	25,96	1,38	1,06	1,31	0,08	13	0,02	10087,12	346,41	13,14
Pedro Peixoto	65,31	4728	31,85	2716,47	1,24	14,91	1,33	1,04	1,27	1,37	61	0,67	3469,71	381,38	8,08
Yaoundé	30,74	12839	5,52	5633,18	1,33	25,44	1,35	1,05	1,32	0,09	7	0,02	9373,77	194,71	18,71
Ambam	86,68	2643	75,62	4868,07	1,27	50,56	1,34	1,04	1,37	0,5	25	0,44	5058,88	481,84	10,07
Lampung	13,83	18841	1,69	1387,16	1,46	7,58	1,44	1,07	1,24	0	0	0	0	0	31,60

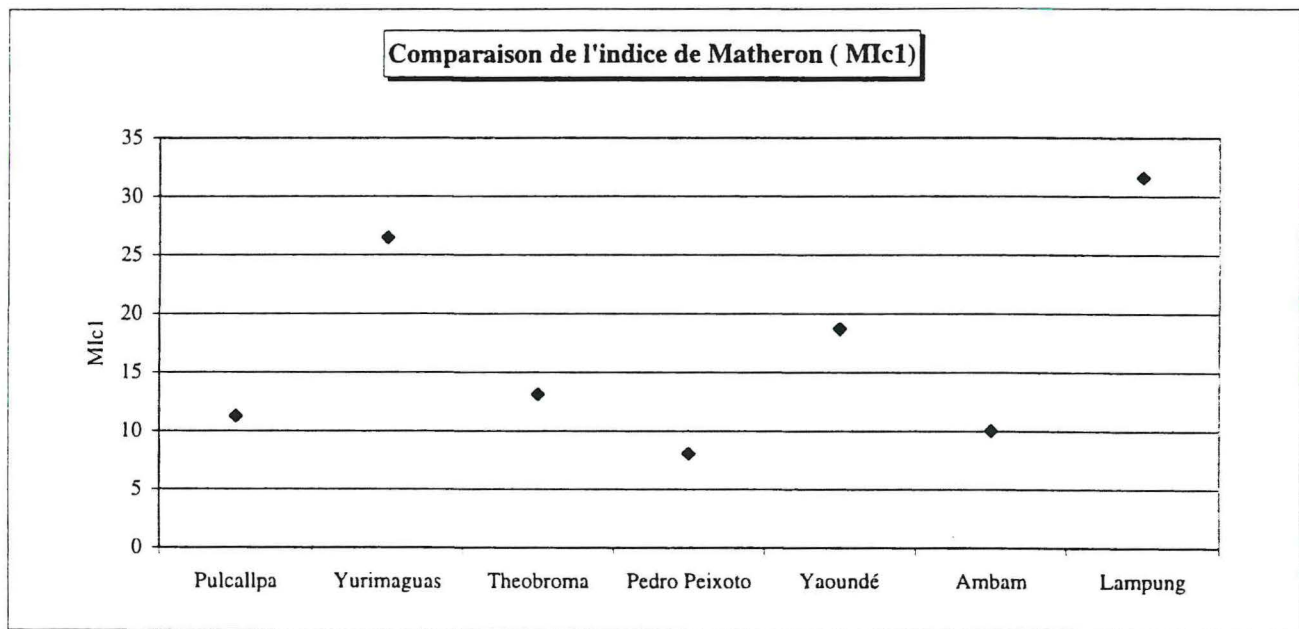
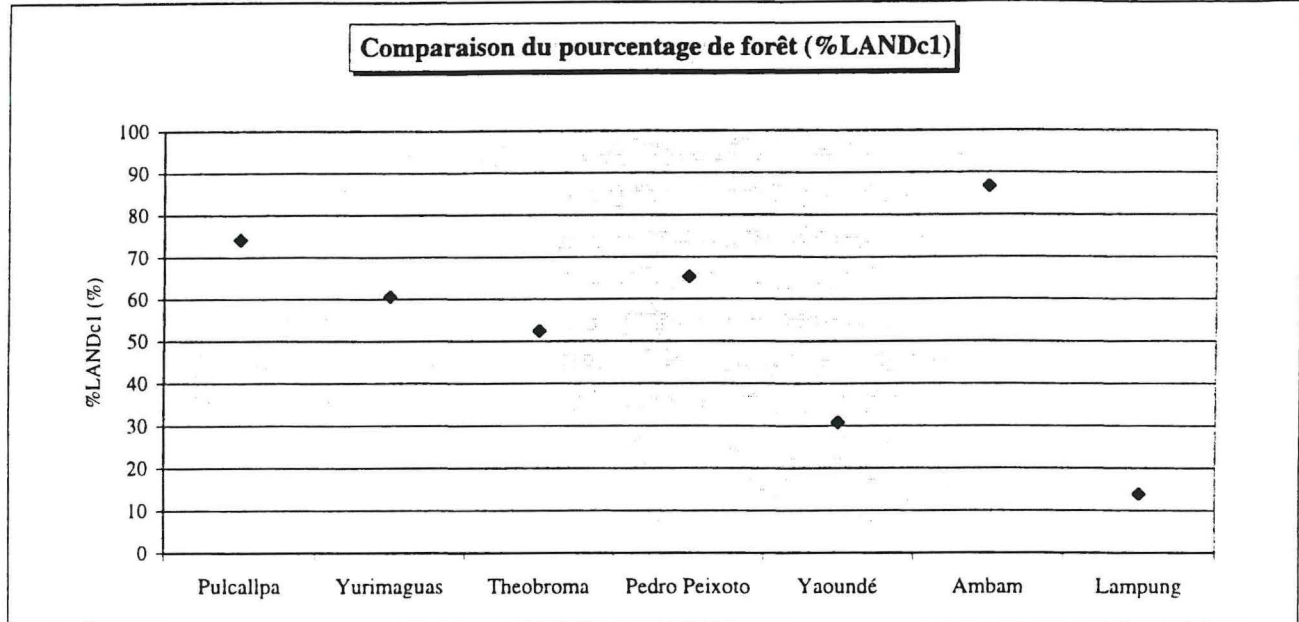
Indices calculés sur les patches de Domaine Agricole (classe 2)										
Percent of Landscape	Number of Patches	Mean Patch Size	Patch Size Coeficient of Variation	Mean Shape Index	Area-Weighted Mean Shape Index	Double Log Fractal Dimension	Mean Patch Fractal Dimension	Area-Weighted Mean Patch Fractal Dimension	Core Area Percent of Landscape	
%LANDc2	NPc2	MPSc2	PSCVc2	MSIc2	AWMSIc2	DLFDc2	MPFDc2	AWMPFDc2	C%LANDc2	
Pulcallpa	24,78	8751	6,53	3815,12	1,37	21,9	1,29	1,06	1,28	0
Yurimaguas	29,25	30908	2,18	3153,93	1,38	18,17	1,43	1,06	1,3	0
Theobroma	47,46	10093	10,84	7325,76	1,23	39,65	1,37	1,04	1,34	0,05
Pedro Peixoto	31,96	5391	13,67	4204,69	1,36	22,5	1,32	1,06	1,29	0
Yaoundé	48,07	8523	13,01	7544,47	1,35	76,46	1,31	1,05	1,4	0
Ambam	11,98	18439	1,5	2624,53	1,3	11,07	1,32	1,05	1,22	0
Lampung	61,38	3501	40,43	5753,72	1,4	80,65	1,42	1,06	1,41	0

Indices calculés sur tous les patches du paysage											
Largest Patch Index	Number of Patches	Mean Patch Size	Patch Size Standard Deviation	Patch Size Coeficient of Variation	Landscape Shape Index	Mean Shape Index	Area-Weighted Mean Shape Index	Double Log Fractal Dimension	Mean Patch fractal Dimension	Area-Weighted Mean Patch fractal Dimension	
LPIp	NPP	MPSP	PSSDp	PSCVp	LSIp	MSIp	AWMSIp	DFLDp	MPFDp	AWMPFDp	
Pulcallpa	44,8	15650	14,73	962,78	6534,25	60,3	1,36	31,11	1,29	1,05	1,32
Yurimaguas	32,38	43893	5,25	379,68	7227,26	129,1	1,41	40,59	1,4	1,06	1,35
Theobroma	38,25	20459	11,27	832,38	7385,18	57,83	1,3	32,42	1,37	1,05	1,33
Pedro Peixoto	18,1	11940	19,31	667,7	3457,32	42,55	1,3	16,98	1,27	1,05	1,27
Yaoundé	39,27	33036	6,98	539,81	7733,71	99,41	1,32	46,2	1,3	1,05	1,33
Ambam	82,02	22842	10,1	1252,96	12411,59	58,85	1,3	45,17	1,31	1,05	1,34
Lampung	59,7	23527	9,8	931,34	9502,31	75,25	1,44	51,26	1,42	1,07	1,31

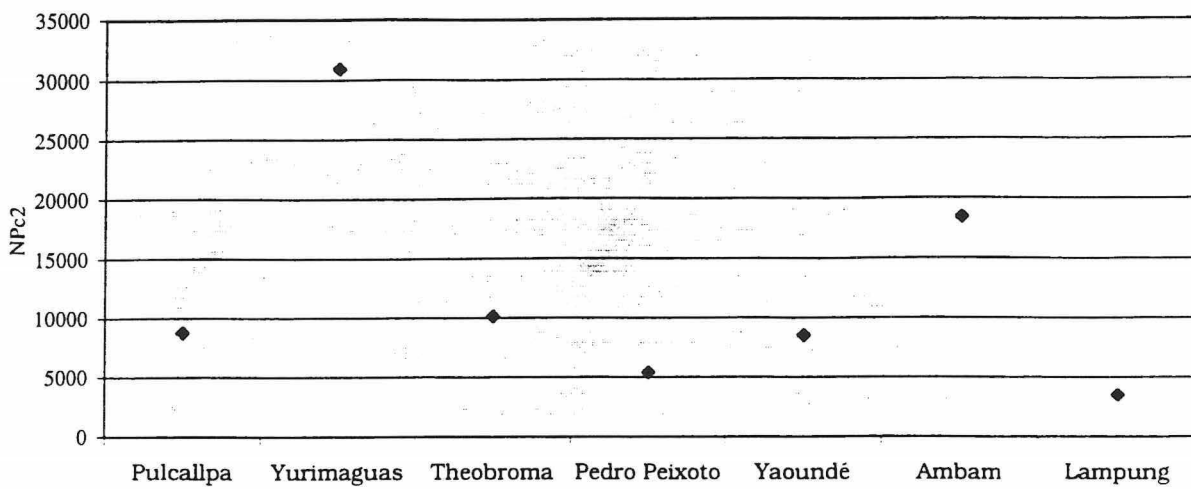
Les indices étudiés dans l'analyse sont "grisés".

**9. Graphes des indices sélectionnés calculés sur l'intégralité des images**

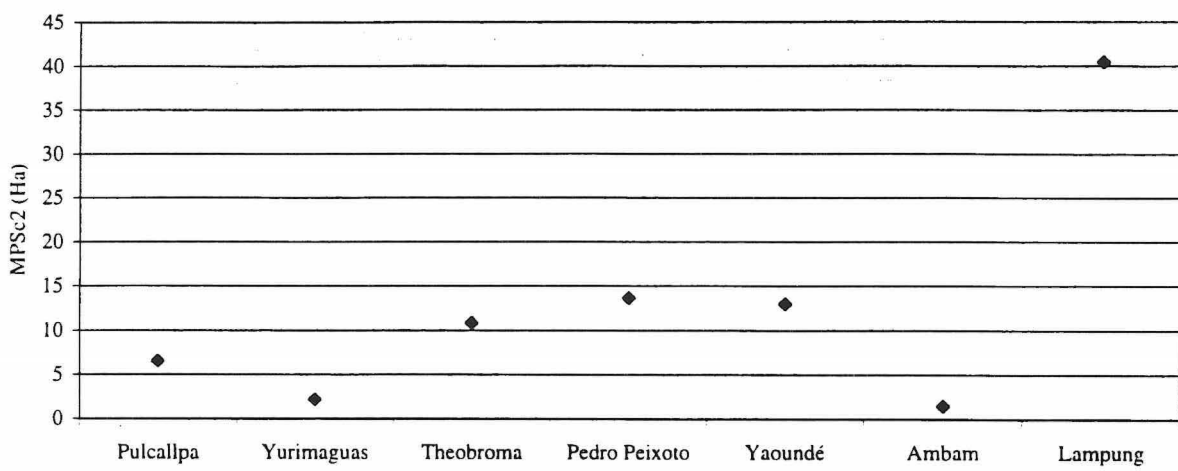
## Annexe 9



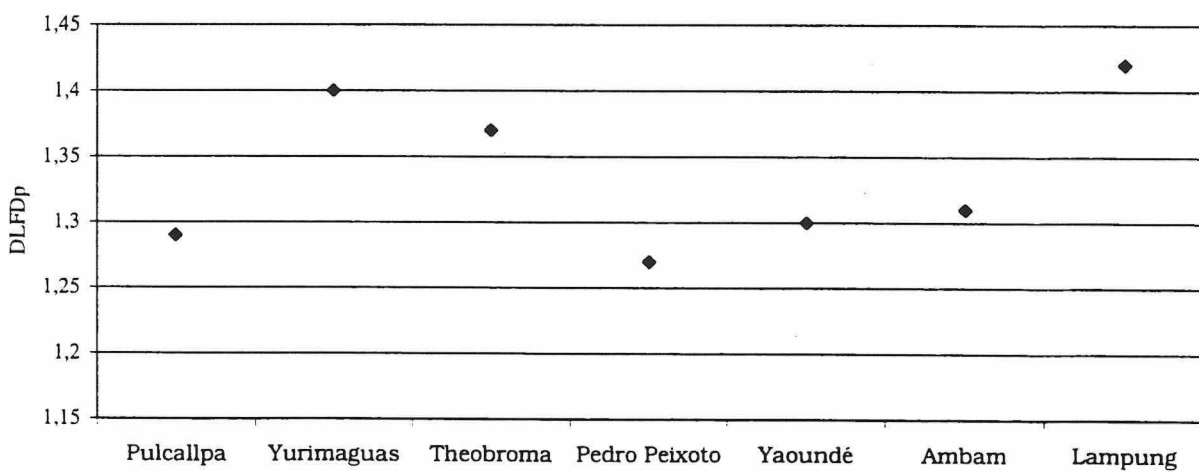
**Comparaison du nombre de patches de domaine agricole (NPc2)**



**Comparaison de la moyenne de taille des patches de domaine agricole (MPSc2)**



**Comparaison de la dimension fractale calculée sur le paysage (DLFDp)**

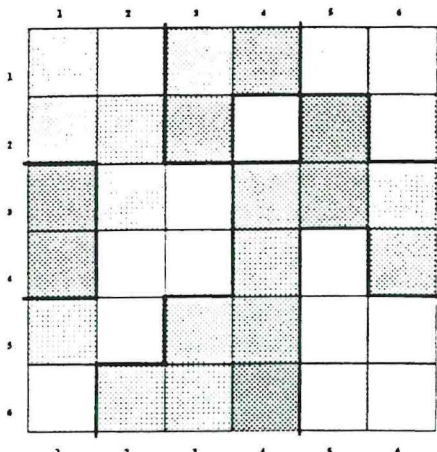
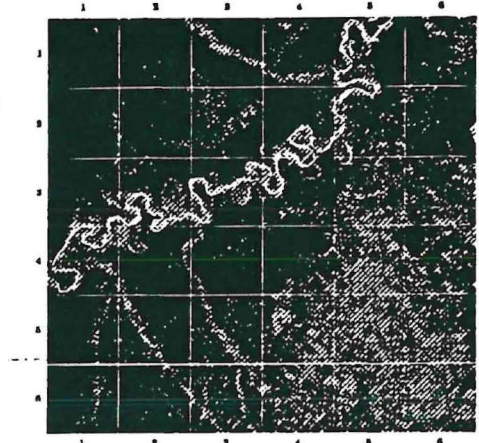


## 10. Tableaux et grilles de variabilité interne des sites

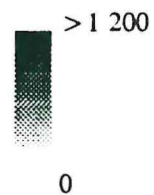
- Annexe 10a :** Tableau et grille de variabilité interne du site de Pucallpa.
- Annexe 10b :** Tableau et grille de variabilité interne du site de Yurimaguas.
- Annexe 10c :** Tableau et grille de variabilité interne du site de Pedro Peixoto.
- Annexe 10d :** Tableau et grille de variabilité interne du site de Theobroma.
- Annexe 10e :** Tableau et grille de variabilité interne du site de Ambam.
- Annexe 10f :** Tableau et grille de variabilité interne du site de Yaoundé.
- Annexe 10g :** Tableau et grille de variabilité interne du site de Lampung.

## Grilles de variabilité interne du site de Pucallpa

**Image  
du site**

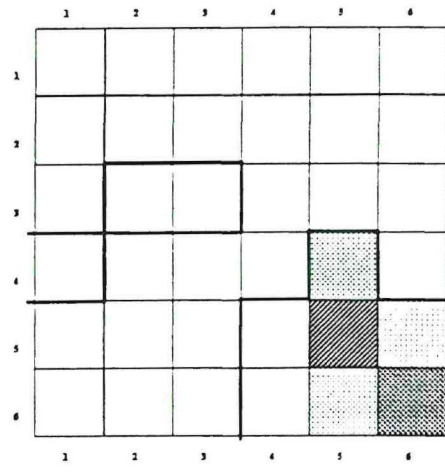
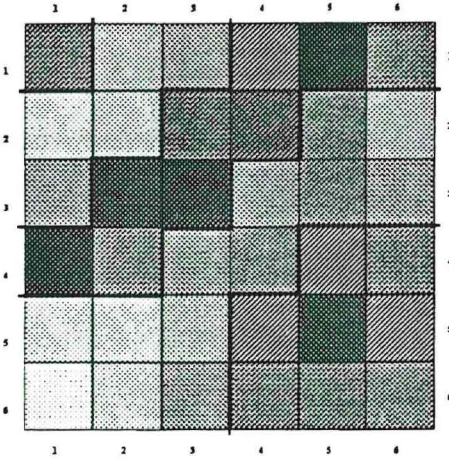


**NPc2**



**DLFDp**

1,47  
1,16

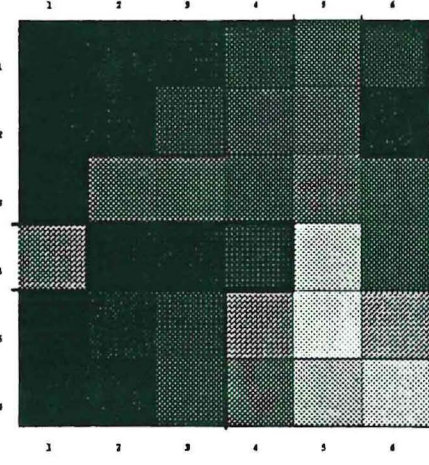
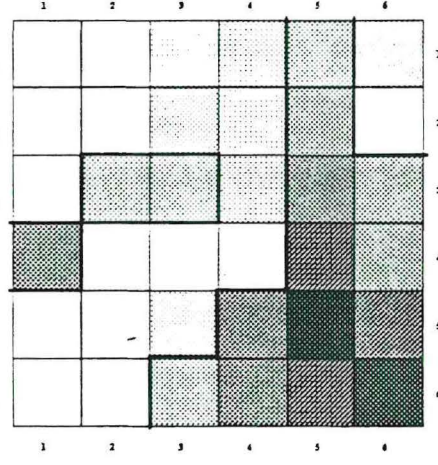


**MPSc2**



**MIc1**

50  
0

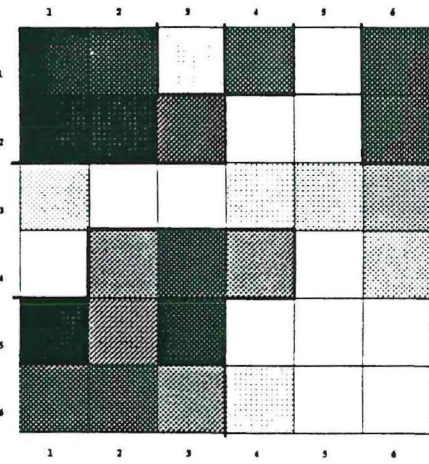
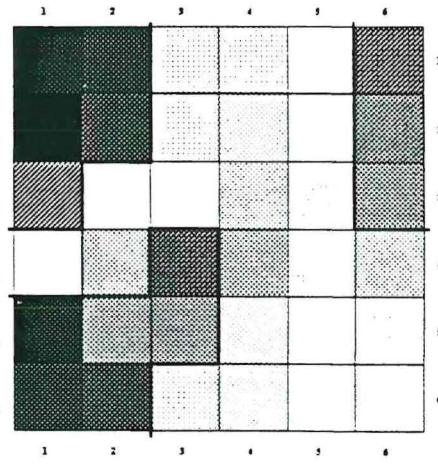


**%LANDc1**

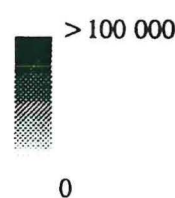


**MNNp**

160 m  
35 m



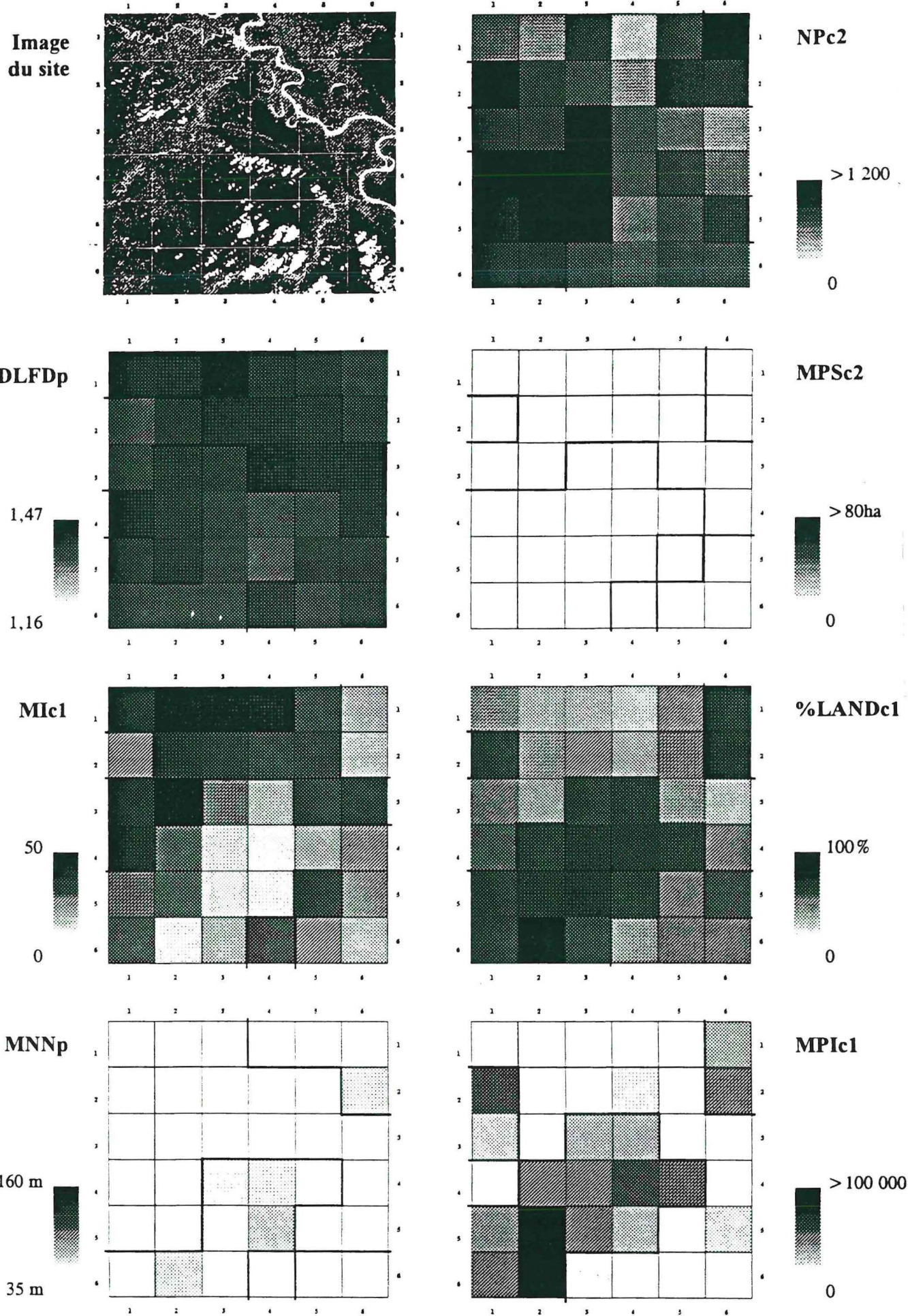
**MPIc1**



**Tableau de variabilité interne du site de Pucallpa**

<b>Indices</b>	<b>Coefficient de variation</b>	<b>Variabilité</b>
<b>Nombre de patches de domaine agricole (NPc2)</b>	31,3 %	Les zones les plus concentrées en patches de domaine agricole sont notamment les zones situées entre la rivière et la route.
<b>Dimension fractale DLFDp</b>	2,3 %	On remarque que l'indice fractal est plus élevé le long de la rivière Aguaytía et dans le quart sud-est (route).
<b>Pourcentage de forêt (%LANDc1)</b>	26,7 %	Les zones les plus forestières correspondent au sud-ouest et au nord-est.
<b>Moyenne de la taille des patches de domaine agricole (MPSc2)</b>	120, 8%	On observe une variabilité importante à l'intérieur de l'image, avec des petites valeurs dans les cellules les plus au nord-ouest et dans le sud-ouest. On a des valeurs moyennes pour les cellules correspondant au fleuve, et des valeurs un peu plus fortes, dans le quart sud-est, le long de la route.
<b>Indice de Matheron (MIc1)</b>	59,6 %	Les plus hautes valeurs sont localisées dans le sud-est de l'image et à l'ouest, le long du fleuve.
<b>Moyenne des distances au plus proche voisin (MNNp)</b>	37,6 %	Les valeurs les plus élevées sont localisées dans l'ouest (excepté les cellules correspondant au fleuve), et dans le nord-est.
<b>Moyenne des indices de proximité (MPIc1)</b>	78,1 %	Les indices sont plus élevés dans le nord-ouest et le quart sud-ouest.

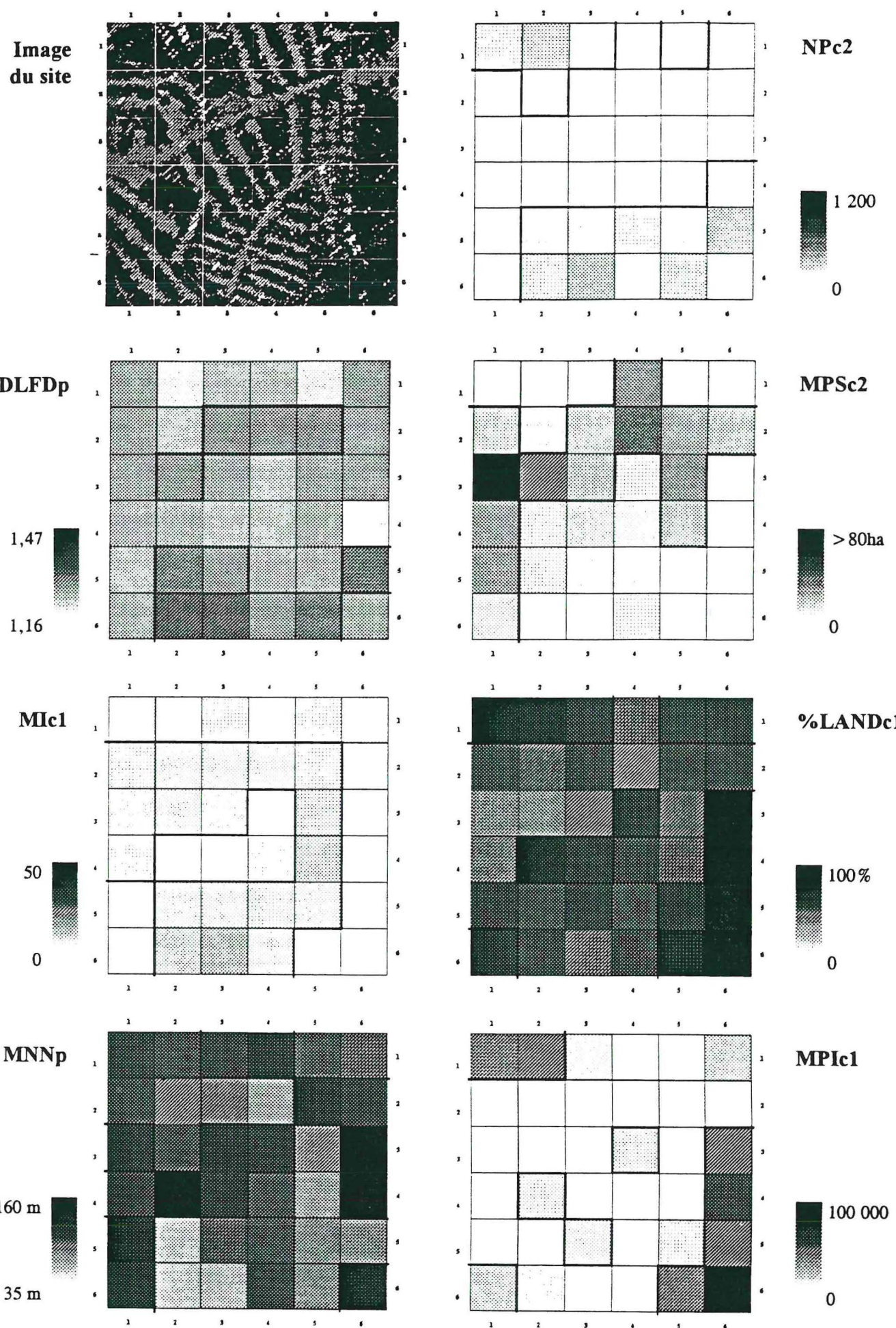
## Grilles de variabilité interne du site de Yurimaguas



**Tableau de variabilité interne du site de Yurimaguas**

<b>Indices</b>	<b>Coefficient de variation</b>	<b>Variabilité</b>
<b>Nombre de patches de domaine agricole (NPc2)</b>	28,9 %	Le nombre de patches de domaine agricole est plus grand dans le nord-est et le sud-ouest de l'image.
<b>Dimension fractale DLFDP</b>	2,1 %	Les valeurs les plus hautes se rencontrent sur les imagettes correspondant aux rivières (la dimension fractale est supérieure ou égale à 1,4 partout où on rencontre un cours d'eau).
<b>Pourcentage de forêt (%LANDc1)</b>	27,1 %	Le couvert forestier varie à l'intérieur de l'image entre 29% et 91%. Les pourcentages les plus faibles sont localisés près de la ville et des rivières, les zones fortement occupées par la forêt sont situées au centre de l'image. On observe un gradient descendant le long des rivières, au fur et à mesure que l'on s'éloigne de la ville. Ceci est moins net dans le cas de la rivière Huallaga.
<b>Moyenne de la taille des patches de domaine agricole (MPSc2)</b>	81,5 %	Les patches de domaine agricole du centre et du sud-ouest de l'image ont une taille moyenne inférieure à 2 ha alors que ceux du reste de l'image ont des dimensions supérieures allant jusqu'à 10 ha.
<b>Indice de Matheron (MIC1)</b>	38,0 %	Les fortes valeurs de l'indice sont localisées dans le nord-est de l'image qui correspond à l'emplacement de la ville de Yurimaguas, et le long du fleuve. La partie centrale de l'image présente de faibles valeurs. Le long des rivières, on remarque un gradient de l'indice avec la proximité à la ville de Yurimaguas.
<b>Moyenne des distances au plus proche voisin (MNNp)</b>	17,4 %	La variabilité interne est faible, comparée à celle des autres sites; cependant, on a des valeurs légèrement plus fortes dans le centre de l'image et dans le coin nord-est de l'image (cellules 51,61 et 62); les patches sont donc plus isolés des autres patches d'une même classe que dans le reste de l'image.
<b>Moyenne des indices de proximité (MPIc1)</b>	92,8 %	L'indice plus élevé dans le centre et l'est de l'image.

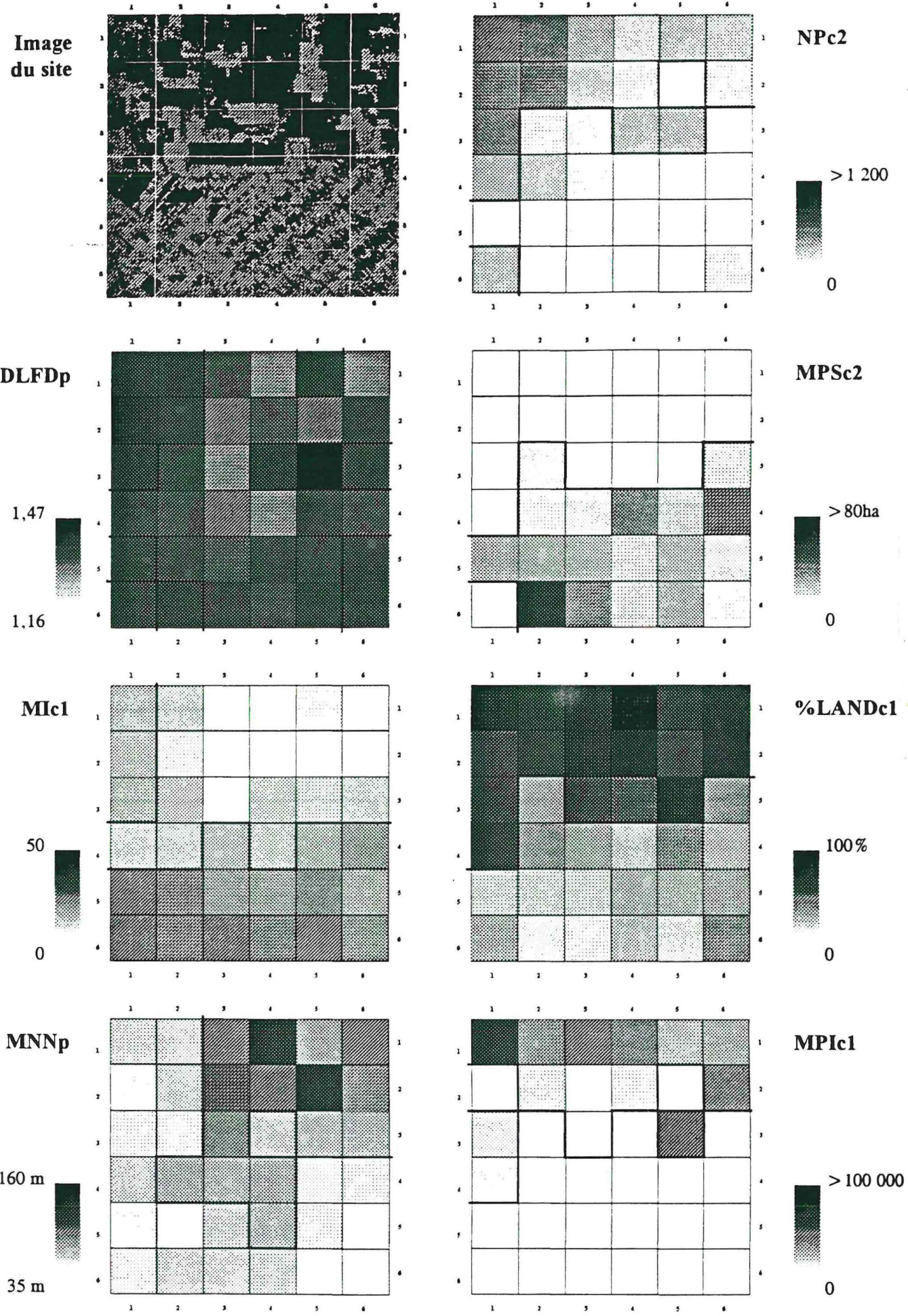
## Grilles de variabilité interne du site de Pedro Peixoto



**Tableau de variabilité interne du site de Pedro Peixoto**

<b>Indices</b>	<b>Coefficient de variation</b>	<b>Variabilité</b>
<b>Nombre de patches de domaine agricole (NPc2)</b>	45,9 %	Le sud et le nord-ouest ont plus de patches de domaine agricole que le reste de l'image.
<b>Dimension fractale DLFDp</b>	2,4 %	Les valeurs les plus importantes correspondent généralement aux emplacements des routes de premier ordre et des rivières.
<b>Pourcentage de forêt (%LANDc1)</b>	21,0 %	Le taux de couverture forestière varie entre 42 et 94%. Les cellules les plus à l'est ont un taux de couvert forestier proche de 95 %; les zones les moins boisées sont celles où passe une route primaire.
<b>Moyenne de la taille des patches de domaine agricole (MPSc2)</b>	81,9 %	On remarque une variation autour de la moyenne relativement importante : les faibles valeurs (< 5 ha) se trouvent à l'est et au nord ouest; les quelques hautes valeurs se rencontrent le long de la route principale.
<b>Indice de Matheron (MIC1)</b>	26,5 %	L'indice de Matheron varie relativement peu; les plus hautes valeurs sont localisées au niveau des axes routiers principaux et des cellules 53, 54, 55.
<b>Moyenne des distances au plus proche voisin (MNNP)</b>	20,3 %	Les plus fortes valeurs sont notamment localisées dans la rangée de cellules la plus à l'est.
<b>Moyenne des indices de proximité (MPIc1)</b>	101,0 %	L'indice est là aussi plus élevé dans les cellules 11, 21 et la rangée est.

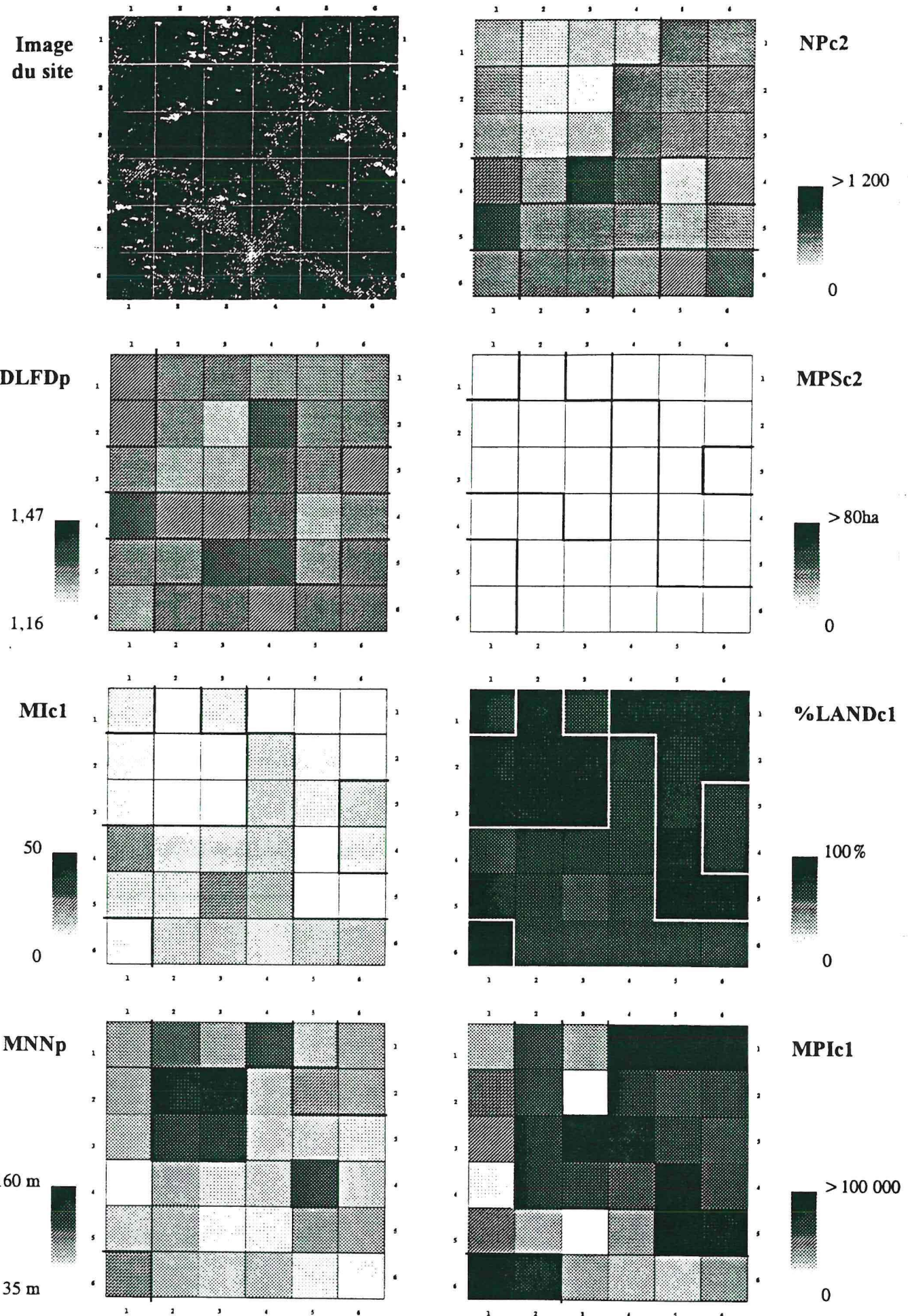
## Grilles de variabilité interne du site de Theobroma



**Tableau de variabilité interne du site de Theobroma**

<b>Indices</b>	<b>Coefficient de variation</b>	<b>Variabilité</b>
<b>Nombre de patches de domaine agricole (NPc2)</b>	51,9 %	La partie nord comprend un nombre supérieur de patches de domaine agricole à celui de la partie sud.
<b>Dimension fractale (DLFDp)</b>	2,2 %	Les valeurs de l'indice fractale sont élevées dans le nord-ouest, dans le sud-est et dans les cellules 43, 53, 63. La très forte valeur de la cellule 53 peut s'expliquer par la présence d'une parcelle venant d'être défrichée.
<b>Pourcentage de forêt (%LANDc1)</b>	41,2 %	Toute la partie nord de l'image a un pourcentage de forêt excédant 50 % alors que le couvert forestier représente moins de la moitié de la surface de la partie sud.
<b>Moyenne de la taille des patches de domaine agricole (MPSc2)</b>	86,7 %	On peut également déceler l'existence de deux zones nord et Sud, la seconde possédant les valeurs les plus élevées, au-dessus de la moyenne.
<b>Indice de Matheron (MICl1)</b>	41,4 %	On observe un gradient croissant nord/sud avec les plus fortes valeurs de l'indice (au-dessus de la moyenne) pour les cellules i3, et surtout i4 à i6 ( $i = 2..6$ ).
<b>Moyenne des distances au plus proche voisin (MNNp)</b>	26,8 %	Les distances les plus grandes sont localisées dans le nord-est.
<b>Moyenne des indices de proximité (MPIcl1)</b>	122,0 %	Les plus fortes valeurs sont situées dans le nord de l'image.

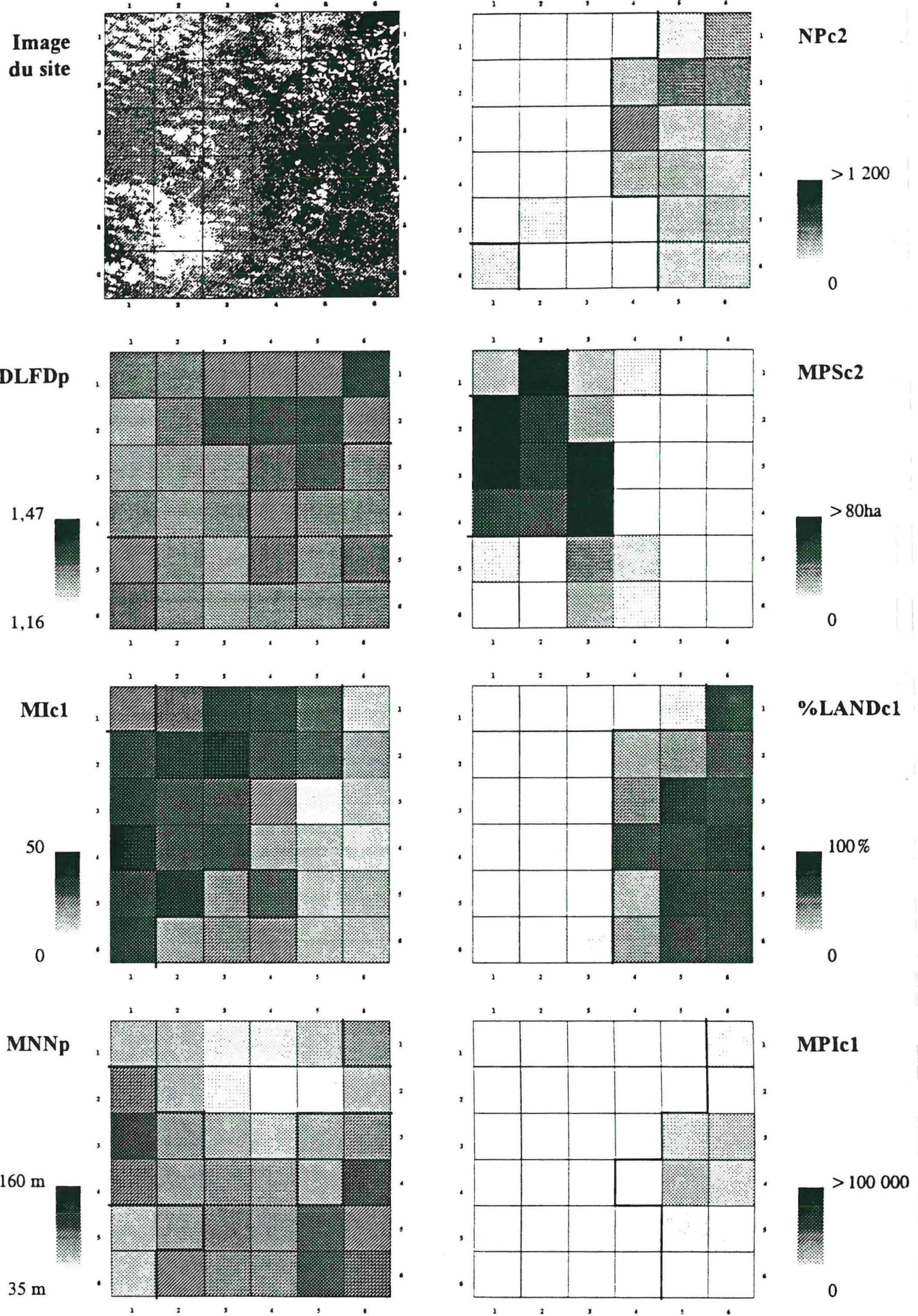
## Grilles de variabilité interne du site de Ambam



**Tableau de variabilité interne du site de Ambam**

<b>Indices</b>	<b>Coefficient de variation</b>	<b>Variabilité</b>
<b>Nombre de patches de domaine agricole (NPc2)</b>	28,5 %	Le quart nord-ouest de l'image comporte moins de patches de domaine agricole que dans le reste de l'image.
<b>Dimension fractale DLFDP</b>	1,5 %	La dimension fractale est plus élevée le long des axes routiers, elle varie cependant très peu au sein de l'image.
<b>Pourcentage de forêt (%LANDc1)</b>	8,9 %	Le pourcentage de forêt est relativement uniforme : il est compris entre 66 et 98%. Les cellules les plus à l'est ont un taux de couvert forestier proche de 95 %; les zones les moins boisées sont généralement celles où passent une route, et parfois les cellules avoisinantes. Les cellules correspondant à l'emplacement de la ville ont parmi les pourcentages les plus faibles (cellules 35, 36, 45). La cellule 14 a également un taux relativement bas (67 %); elle pourrait correspondre à l'emplacement d'un village.
<b>Moyenne de la taille des patches de domaine agricole (MPSc2)</b>	54,5 %	Le site possède une faible variabilité, par rapport aux autres sites, pour cet indice : la taille moyenne des patches de domaine agricole varie sur les cellules entre 0,26 et 3,87 ha. Les valeurs supérieures à 1,5 ha correspondent au trajet des routes.
<b>Indice de Matheron (MIC1)</b>	41,5 %	La variabilité dans l'image est un peu plus élevée, les valeurs les plus grandes (au-dessus de la moyenne) se trouvant le long des routes.
<b>Moyenne des distances au plus proche voisin (MNNP)</b>	29,1 %	En ce qui concerne la moyenne des distances au plus proche voisin, quelques cellules se distinguent avec des valeurs bien au-dessus des autres : les cellules 22, 23, 32, 34, 41 et 54. Les patches y sont isolées les uns des autres d'une distance de 140 m en moyenne.
<b>Moyenne des indices de proximité (MPIc1)</b>	49,0 %	L'indice est plus faible le long des routes.

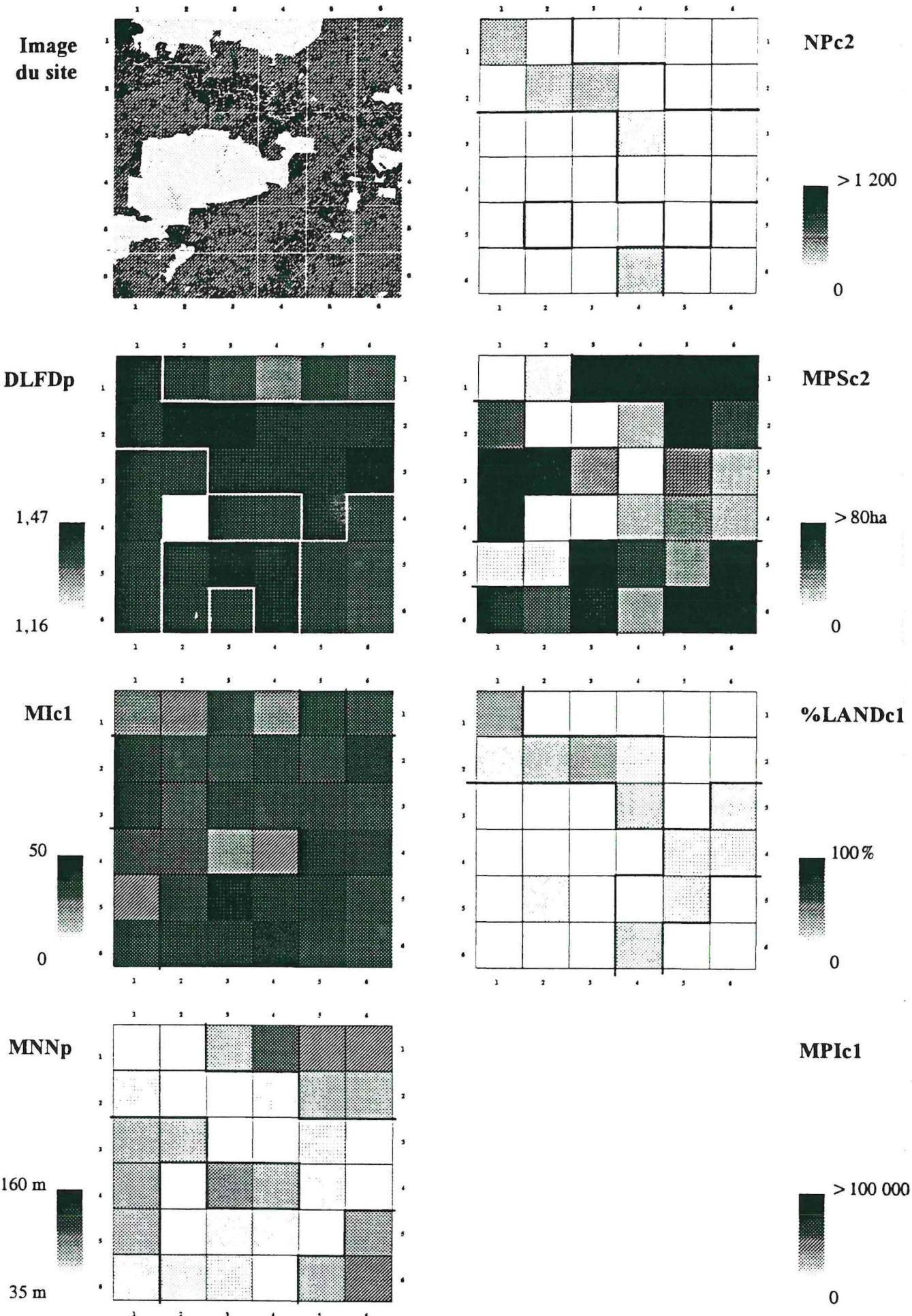
## Grilles de variabilité interne du site de Yaoundé



**Tableau de variabilité interne du site de Yaoundé**

<b>Indices</b>	<b>Coefficient de variation</b>	<b>Variabilité</b>
<b>Nombre de patches de domaine agricole (NPc2)</b>	65,14 %	La partie la plus à l'est comporte beaucoup plus de patches de domaine agricole que le reste de l'image.
<b>Dimension fractale DLFDp</b>	1,5 %	Les plus fortes valeurs de l'indice sont situées dans les zones de confrontation forêt/domaine agricole, savane/forêt et savane/domaine agricole. Les valeurs les plus élevées (>1.34) se trouvent dans la zone de confrontation forêt/savane.
<b>Pourcentage de forêt (%LANDc1)</b>	90,43 %	Toute la partie est de l'image a un taux de couvert forestier supérieur à 40% (par cellule) alors que la zone ouest, autour de Yaoundé possède un couvert très faible, inférieur à 30 %.
<b>Moyenne de la taille des patches de domaine agricole (MPSc2)</b>	246,9 %	On constate la présence de deux parties très distinctes Est/Ouest : les cellules numérotées de 41 à 66 ont toutes un indice inférieur à la moyenne; les cellules à l'ouest, si on exclue celles qui comportent de nombreux nuages ou qui correspondent à l'emplacement de la ville, ont toutes des valeurs d'indices très supérieures à la moyenne.
<b>Indice de Matheron (MIC1)</b>	30,8 %	Les plus faibles valeurs sont dans l'est de l'image, où la forêt est donc moins fragmentée.
<b>Moyenne des distances au plus proche voisin (MNNp)</b>	17,7 %	Les valeurs les moins élevées se trouvent dans le nord, là où la savane est présente.
<b>Moyenne des indices de proximité (MPIc1)</b>	154,8 %	

## Grilles de variabilité interne du site de Lampung



**Tableau de variabilité interne du site de Lampung**

<b>Indices</b>	<b>Coefficient de variation</b>	<b>Variabilité</b>
<b>Nombre de patches de domaine agricole (NPc2)</b>	90,7 %	La variabilité à l'intérieur de l'image est relativement élevée : le site comporte plus de patches de domaine agricole sur les zones correspondant aux rivières.
<b>Dimension fractale DLFDp</b>	3,6 %	Seuls quelques cellules de l'image de Lampung ont des valeurs très faibles par rapport aux autres (ex : cellule 24, 31).
<b>Pourcentage de forêt (%LANDc1)</b>	72,4 %	Les pourcentages de forêt les plus importants correspondent à l'emplacement des rivières; le couvert forestier peut alors atteindre près de 40% de la surface de la cellule.
<b>Moyenne de la taille des patches de domaine agricole (MPSc2)</b>	171,5 %	On remarque une grande variabilité interne de l'indice puisque suivant les cellules, la dimension des patches de domaine agricole varie entre 4,33 et 858,19 ha. Les plus faibles valeurs sont localisées le long des rivières.
<b>Indice de Matheron (MIc1)</b>	17,2 %	La variabilité pour cet indice dans l'image est relativement faible (comparée aux autres sites); seuls les cellules correspondants aux zones de plantation ont des indices moins élevés.
<b>Moyenne des distances au plus proche voisin (MNNp)</b>	26,4 %	Les valeurs les moins élevées sont sur les zones de rivières.
<b>Moyenne des indices de proximité (MPIc1)</b>	270,1 %	L'indice est plus important le long des rivières.

## **11. Caractéristiques spatiales des motifs de paysage identifiés sur les sites**

**Annexe 11a : Caractéristiques spatiales des motifs de paysage identifiés sur le site de Pucallpa.**

**Annexe 11b : Caractéristiques spatiales des motifs de paysage identifiés sur le de Yurimaguas.**

**Annexe 11c : Caractéristiques spatiales des motifs de paysage identifiés sur le site de Pedro Peixoto.**

**Annexe 11d : Caractéristiques spatiales des motifs de paysage identifiés sur le site de Theobroma.**

**Annexe 11e : Caractéristiques spatiales des motifs de paysage identifiés sur le site de Ambam.**

**Annexe 11f : Caractéristiques spatiales des motifs de paysage identifiés sur le site de Yaoundé.**

**Annexe 11g : Caractéristiques spatiales des motifs de paysage identifiés sur le site de Lampung.**

Les indices qui ont servi à l'identification de zones présentant des motifs spatiaux différents parce qu'ils comportent de grands coefficients de variation à l'intérieur de chaque image (par rapport aux autres sites) et rendent par conséquent le mieux compte de la variabilité interne de l'image, sont surlignés.

## Annexe 11a

### Caractéristiques spatiales des motifs de paysage identifiés sur le site de Pucallpa

#### Motif 1

Indices	Importance	Valeurs
<b>Nombre de patches de domaine agricole (NPc2)</b>	Faible	De 100 à 200
<b>Dimension fractale DLFDp</b>	Elevée	De 1,31 à 1,35
<b>Pourcentage de forêt (%LANDc1)</b>	Faible	De 20 à 50%
<b>Moyenne de la taille des patches de domaine agricole (MPSc2)</b>	Elevée	De 15 à 43 ha
<b>Indice de Matheron (MIc1)</b>	Très élevé	De 24 à 30
<b>Moyenne des distances au plus proche voisin (MNNp)</b>	Faible	De 50 à 60m
<b>Moyenne des indices de proximité (MPIc1)</b>	Faible	De 400 à 6000

#### Motif 2

Indices	Importance	Valeurs
<b>Nombre de patches de domaine agricole (NPc2)</b>	Moyen	De 210 à 310
<b>Dimension fractale DLFDp</b>	Fort	De 1,33 à 1,35
<b>Pourcentage de forêt (%LANDc1)</b>	Moyen	De 55 à 75%
<b>Moyenne de la taille des patches de domaine agricole (MPSc2)</b>	Elevée	De 6 à 10 ha
<b>Indice de Matheron (MIc1)</b>	Fort	De 13 à 20
<b>Moyenne des distances au plus proche voisin (MNNp)</b>	Très faible	De 40 à 60 m
<b>Moyenne des indices de proximité (MPIc1)</b>	Faible	5 000 à 9 000

#### Motif 3

Indices	Importance	Valeurs
<b>Nombre de patches de domaine agricole (NPc2)</b>	Faible	De 100 à 250
<b>Dimension fractale DLFDp</b> (sauf cellule 11, parcourue par une petite rivière)	Faible	De 1,23 à 1,29
<b>Pourcentage de forêt (%LANDc1)</b>	Elevé	> 90%
<b>Moyenne de la taille des patches de domaine agricole (MPSc2)</b>	Faible	De 0,5 à 1,5 ha
<b>Indice de Matheron (MIc1)</b>	Très faible	De 3 à 6
<b>Moyenne des distances au plus proche voisin (MNNp)</b>	Forte	De 80 à 160m
<b>Moyenne des indices de proximité (MPIc1)</b>	Fort	De 50 000 à 9 000

**Motif 4**

Indices	Importance	Valeurs
<b>Nombre de patches de domaine agricole (NPc2)</b>	Elevé	De 260 à 320
<b>Dimension fractale DLFDp</b>	Moyen	1,28 et 1,32
<b>Pourcentage de forêt (%LANDc1)</b>	Elevé	De 80 et 90%
<b>Moyenne de la taille des patches de domaine agricole (MPSc2)</b>	Faible	De 3 à 3,5 ha
<b>Indice de Matheron (MIC1)</b>	Faible	De 8 à 12
<b>Moyenne des distances au plus proche voisin (MNNp)</b>	Faible	Environ 60m
<b>Moyenne des indices de proximité (MPIc1)</b>	Fort	20 000 à 60 000

## Caractéristiques spatiales des motifs de paysage identifiés sur le site de Yurimaguas

### Motif 1

Indices	Importance	Valeurs
<b>Nombre de patches de domaine agricole (NPc2)</b>	Faible	De 380 à 900
<b>Dimension fractale DLFDp</b>	Elevée	De 1,4 à 1,46
<b>Pourcentage de forêt (%LANDc1)</b>	Faible	De 25 à 55%
<b>Moyenne de la taille des patches de domaine agricole (MPSc2)</b>	Elevée	De 2,5 à 10 ha
<b>Indice de Matheron (MIC1)</b>	Elevé	De 35 à 50
<b>Moyenne des distances au plus proche voisin (MNNp)</b>	Faible	De 38 à 50 m
<b>Moyenne des indices de proximité (MPIc1)</b>	Faible	De 550 à 30 000

### Motif 2

Indices	Importance	Valeurs
<b>Nombre de patches de domaine agricole (NPc2)</b>	Elevé	De 900 à 1 200
<b>Dimension fractale DLFDp</b>	Faible	De 1,37 à 1,39
<b>Pourcentage de forêt (%LANDc1)</b>	Elevé	De 65 à 90%
<b>Moyenne de la taille des patches de domaine agricole (MPSc2)</b>	Très faible	De 0,2 à 2 ha
<b>Indice de Matheron (MIC1)</b>	Faible	De 10 à 27
<b>Moyenne des distances au plus proche voisin (MNNp)</b>	Elevée	De 50 à 70m
<b>Moyenne des indices de proximité (MPIc1)</b>	Elevée	55 000 à 90 000

### Motif 3

Indices	Importance	Valeurs
<b>Nombre de patches de domaine agricole (NPc2)</b>	Très élevé	1 100 à 1 700
<b>Dimension fractale DLFDp</b>	Faible	De 1,39 à 1,44
<b>Pourcentage de forêt (%LANDc1)</b>	Elevé	De 65 à 80%
<b>Moyenne de la taille des patches de domaine agricole (MPSc2)</b>	Très faible	0,6 à 1,6 ha
<b>Indice de Matheron (MIC1)</b>	Faible	De 20 à 30
<b>Moyenne des distances au plus proche voisin (MNNp)</b>	Faible	De 40 à 60 m
<b>Moyenne des indices de proximité (MPIc1)</b>	Elevée	35 000 à 90 000

## Annexe 11c

### Caractéristiques spatiales des motifs de paysage identifiés sur le site de Pedro Peixoto

#### Motif 1

Indices	Importance	Valeurs
<b>Nombre de patches de domaine agricole (NPc2)</b>	Elevée	De 200 à 330
<b>Dimension fractale DLFDP</b>	faible à moyen	De 1,2 à 1,31
<b>Pourcentage de forêt (%LANDc1)</b>	Elevé	De 80 à 95%
<b>Moyenne de la taille des patches de domaine agricole (MPSc2)</b>	Très faible	De 0,5 à 6 ha
<b>Indice de Matheron (MIC1)</b>	Faible	De 4 à 7
<b>Moyenne des distances au plus proche voisin (MNNP)</b>	Moyen à fort	De 80 à 160m
<b>Moyenne des indices de proximité (MPIc1)</b>	Elevée	45 000 à 105 000

#### Motif 2

Indices	Importance	Valeurs
<b>Nombre de patches de domaine agricole (NPc2)</b>	Faible	< 150
<b>Dimension fractale DLFDP</b>	Faible	De 1,25 et 1,28
<b>Pourcentage de forêt (%LANDc1)</b>	Faible	De 40 à 62%
<b>Moyenne de la taille des patches de domaine agricole (MPSc2)</b>	Elevée	De 20 à 80 ha
<b>Indice de Matheron (MIC1)</b>	Moyen	De 7 à 14
<b>Moyenne des distances au plus proche voisin (MNNP)</b>	Moyenne	De 100 à 140m
<b>Moyenne des indices de proximité (MPIc1)</b>	Faible	1 700 à 15 000
Les cellules 53 et 54 ont les indices de Matheron les plus forts.		

#### Motif 3

Indices	Importance	Valeurs
<b>Nombre de patches de domaine agricole (NPc2)</b>	Faible	< 160
<b>Dimension fractale DLFDP</b>	Faible	De 1,24 à 1,3
<b>Pourcentage de forêt (%LANDc1)</b>	Moyen	De 55 à 80%
<b>Moyenne de la taille des patches de domaine agricole (MPSc2)</b>	Moyenne	De 15 à 20 ha
<b>Indice de Matheron (MIC1)</b>	Moyenne	De 6 à 11
<b>Moyenne des distances au plus proche voisin (MNNP)</b>	Moyenne	De 100 à 150m
<b>Moyenne des indices de proximité (MPIc1)</b>	Faible	6 000 à 26 000

**Motif 4**

Indices	Importance	Valeurs
<b>Nombre de patches de domaine agricole (NPc2)</b>	Elevé	De 150 à 250
<b>Dimension fractale DLFDp</b>	Faible	De 1,22 à 1,33
<b>Pourcentage de forêt (%LANDc1)</b>	Moyen	De 55 à 70%
<b>Moyenne de la taille des patches de domaine agricole (MPSc2)</b>	Faible	De 8 à 15 ha
<b>Indice de Matheron (MIC1)</b>	Moyen à fort	De 8 à 16
<b>Moyenne des distances au plus proche voisin (MNNp)</b>	Moyen à fort	De 70 à 130m
<b>Moyenne des indices de proximité (MPIc1)</b>	Faible	6 000 à 26 000

## Caractéristiques spatiales des motifs de paysage identifiés sur le site de Theobroma

### Motif 1

Indices	Importance	Valeurs
Nombre de patches de domaine agricole (NPc2)	Faible	De 90 à 250
Dimension fractale DLFDp	Faible	De 1,31 à 1,36
Pourcentage de forêt (%LANDc1)	Faible	< 45%
Moyenne de la taille des patches de domaine agricole (MPSc2)	Elevée	De 14 à 55 ha
Indice de Matheron (MIC1)	Elevé	De 15 à 26
Moyenne des distances au plus proche voisin (MNNp)	Faible	De 50 à 80m
Moyenne des indices de proximité (MPIc1)	Faible	De 350 à 4 000

### Motif 2

Indices	Importance	Valeurs
Nombre de patches de domaine agricole (NPc2)	Elevé	De 200 à 450
Dimension fractale DLFDp	Variable	De 1,31 à 1,47
Pourcentage de forêt (%LANDc1)	Elevé	De 55 à 95%
Moyenne de la taille des patches de domaine agricole (MPSc2)	Faible	De 1 à 15 ha
Indice de Matheron (MIC1)	Faible	De 4 à 14
Moyenne des distances au plus proche voisin (MNNp)	Elevée	De 70 à 130m
Moyenne des indices de proximité (MPIc1)	Elevée	4 000 à 55 000

L'indice de Matheron est un peu plus élevé dans les cellules où des parcelles sont entrain d'être défrichées

### Motif 3

Indices	Importance	Valeurs
Nombre de patches de domaine agricole (NPc2)	Elevé	De 500 à 620
Dimension fractale DLFDp	Elevée	De 1,37 à 1,39
Pourcentage de forêt (%LANDc1)	Elevé	De 60 à 80%
Moyenne de la taille des patches de domaine agricole (MPSc2)	Faible	De 2 à 5 ha
Indice de Matheron (MIC1)	Moyen	De 10 à 17
Moyenne des distances au plus proche voisin (MNNp)	Faible	De 55 à 70m
Moyenne des indices de proximité (MPIc1)	Variable	7 000 à 71 000

## Caractéristiques spatiales des motifs de paysage identifiés sur le site de Ambam

### Motif 1

Indices	Importance	Valeurs
<b>Nombre de patches de domaine agricole (NPc2)</b>	faible	De 210 à 450
<b>Dimension fractale DLFDp</b>	Faible	De 1,24 à 1,3
<b>Pourcentage de forêt (%LANDc1)</b>	Elevé	>95%, nuages exclus
<b>Moyenne de la taille des patches de domaine agricole (MPSc2)</b>	Faible	< 1ha
<b>Indice de Matheron (MIC1)</b>	Très faible	De 3 à 7
<b>Moyenne des distances au plus proche voisin (MNNp)</b>	Elevée	De 85 à 150 m
<b>Moyenne des indices de proximité (MPIc1)</b>	Elevée	73 000 à 138 000

### Motif 2

Indices	Importance	Valeurs
<b>Nombre de patches de domaine agricole (NPc2)</b>	Elevé	De 400 à 710
<b>Dimension fractale DLFDp</b>	Fort	De 1,31 à 1,35
<b>Pourcentage de forêt (%LANDc1)</b>	Faible	De 65 à 85%
<b>Moyenne de la taille des patches de domaine agricole (MPSc2)</b>	Elevé	De 1,5 à 4 ha
<b>Indice de Matheron (MIC1)</b>	Fort	>11
<b>Moyenne des distances au plus proche voisin (MNNp)</b>	Faible	De 55 à 85 m
<b>Moyenne des indices de proximité (MPIc1)</b>	Faible	17 000 à 90 000

### Motif 3

Indices	Importance	Valeurs
<b>Nombre de patches de domaine agricole (NPc2)</b>	NOMBREUX	De 450 à 910
<b>Dimension fractale DLFDp</b>	Moyen	De 1,29 à 1,32
<b>Pourcentage de forêt (%LANDc1)</b>	Moyen	De 85 à 95%
<b>Moyenne de la taille des patches de domaine agricole (MPSc2)</b>	Faible	De 0,5 à 1,5 ha
<b>Indice de Matheron (MIC1)</b>	Moyen	De 7 à 13
<b>Moyenne des distances au plus proche voisin (MNNp)</b>	Moyen	De 65 à 95
<b>Moyenne des indices de proximité (MPIc1)</b>	Elevée	De 50 000 à 100 000

- La cellule 31 est difficile à classer, car de nombreux nuages l'obstruent, et leurs ombres semblent avoir été classées en domaine agricole.

On peut également noter que toutes les cellules qui comprennent des tronçons de routes ont des indices fractals plus élevés que la moyenne de l'image.

## Annexe 11f

### Caractéristiques spatiales des motifs de paysage identifiés sur le site de Yaoundé

#### Motif 1

Indices	Importance	Valeurs
<b>Nombre de patches de domaine agricole (Npc2)</b> (sauf quand il y a de nombreux nuages)	Faible	De 28 à 150
<b>Dimension fractale DLFDP</b>	Faible à moyen	De 1,27 à 1,33
<b>Pourcentage de forêt (%LANDc1)</b>	Très faible	De 0 à 30%
<b>Moyenne de la taille des patches de domaine agricole (MPSc2)</b>	Elevée	>15 ha
<b>Indice de Matheron (MIc1)</b>	Fort	De 27 à 40
<b>Moyenne des distances au plus proche voisin (MNNp)</b>	Elevée	De 70 à 110m
<b>Moyenne des indices de proximité (MPIc1)</b>	Elevée	De 1 à 500

#### Motif 2

Indices	Importance	Valeurs
<b>Nombre de patches de domaine agricole (NPc2)</b>	Elevé	De 350 à 650
<b>Dimension fractale DLFDP</b>	Moyenne	1,3 à 1,33
<b>Pourcentage de forêt (%LANDc1)</b>	Elevé	De 60 à 80%
<b>Moyenne de la taille des patches de domaine agricole (MPSc2)</b>	Faible	De 3 à 7 ha
<b>Indice de Matheron (MIc1)</b>	Faible	<20
<b>Moyenne des distances au plus proche voisin (MNNp)</b>	Elevée	De 90 à 110m
<b>Moyenne des indices de proximité (MPIc1)</b>	Elevée	9 000 à 41 000

#### Motif 3

Indices	Importance	Valeurs
<b>Nombre de patches de domaine agricole (NPc2)</b>	Elevé	De 550 à 600
<b>Dimension fractale DLFDP</b>	Elevée	De 1,32 à 1,36
<b>Pourcentage de forêt (%LANDc1)</b>	Moyen	De 40 à 75%
<b>Moyenne de la taille des patches de domaine agricole (MPSc2)</b>	Faible	< 6 ha
<b>Indice de Matheron (MIc1)</b>	Faible à fort	De 10 à 30
<b>Moyenne des distances au plus proche voisin (MNNp)</b>	Faible à moyen	De 50 à 90 m
<b>Moyenne des indices de proximité (MPIc1)</b>	Elevée	4 000 à 20 000

**Motif 4**

Indices	Importance	Valeurs
<b>Nombre de patches de domaine agricole (NPc2)</b>	Moyen à fort	200 à 400
<b>Dimension fractale DLFdp</b>	Forte	1,32 - 1,33
<b>Pourcentage de forêt (%LANDc1)</b>	Faible	De 30 à 60%
<b>Moyenne de la taille des patches de domaine agricole (MPSc2)</b>	Faible à moyen	De 5 à 20 ha
<b>Indice de Matheron (MIC1)</b>	Moyen	De 20 à 27
<b>Moyenne des distances au plus proche voisin (MNNp)</b>	Elevée	Environ 90 m
<b>Moyenne des indices de proximité (MPIc1)</b>	Faible	1 8000 à 14 000

**Motifs 5**

Indices	Importance	Valeurs
<b>Nombre de patches de domaine agricole (NPc2)</b>	faible à moyen	De 210 à 600
<b>Dimension fractale DLFdp</b>	Elevée	1,32 à 1,34
<b>Pourcentage de forêt (%LANDc1)</b>	Très faible	De 10 à 25%
<b>Moyenne de la taille des patches de domaine agricole (MPSc2)</b>	Elevée	De 10 à 30 ha
<b>Indice de Matheron (MIC1)</b>	Très fort	De 35 à 45
<b>Moyenne des distances au plus proche voisin (MNNp)</b>	Faible	De 50 à 70m
<b>Moyenne des indices de proximité (MPIc1)</b>	Faible	200 à 800

## Caractéristiques spatiales des motifs de paysage identifiés sur le site de Lampung

### Motif 1

Indices	Importance	Valeurs
Nombre de patches de domaine agricole (NPc2)	Variable	De 2 à 130
Dimension fractale DLFDp	Moyenne	1,4 - 1,41
Pourcentage de forêt (%LANDc1)	Faible	<5%
Moyenne de la taille des patches de domaine agricole (MPSc2)	Faible	De 10 à 25 ha
Indice de Matheron (MIC1)	Très faible	De 21 à 30
Moyenne des distances au plus proche voisin (MNNp)	Elevée	De 60 à 90 m
Moyenne des indices de proximité (MPIc1)	Faible	De 120 à 1 200

### Motif 2

Indices	Importance	Valeurs
Nombre de patches de domaine agricole (NPc2)	Faible	De 100 à 400
Dimension fractale DLFDp	Elevée	De 1,42 à 1,45
Pourcentage de forêt (%LANDc1)	Elevé	De 20 à 40%
Moyenne de la taille des patches de domaine agricole (MPSc2)	Faible	De 4 à 20 ha
Indice de Matheron (MIC1)	Elevé	De 35 à 45
Moyenne des distances au plus proche voisin (MNNp)	Faible	De 40 à 60 m
Moyenne des indices de proximité (MPIc1)	Faible à élevée	De 200 à 12 200

### Motif 3

Indices	Importance	Valeurs
Nombre de patches de domaine agricole (NPc2)	Faible	< 50
Dimension fractale DLFDp	Souvent faible	De 1,3 à 1,42
Pourcentage de forêt (%LANDc1)	Faible	De 3 à 12%
Moyenne de la taille des patches de domaine agricole (MPSc2)	Très élevée	De 80 à 860 ha
Indice de Matheron (MIC1)	Elevé	De 30 à 40
Moyenne des distances au plus proche voisin (MNNp)	Elevé	De 70 à 110m
Moyenne des indices de proximité (MPIc1)	Très faible	De 8 à 300

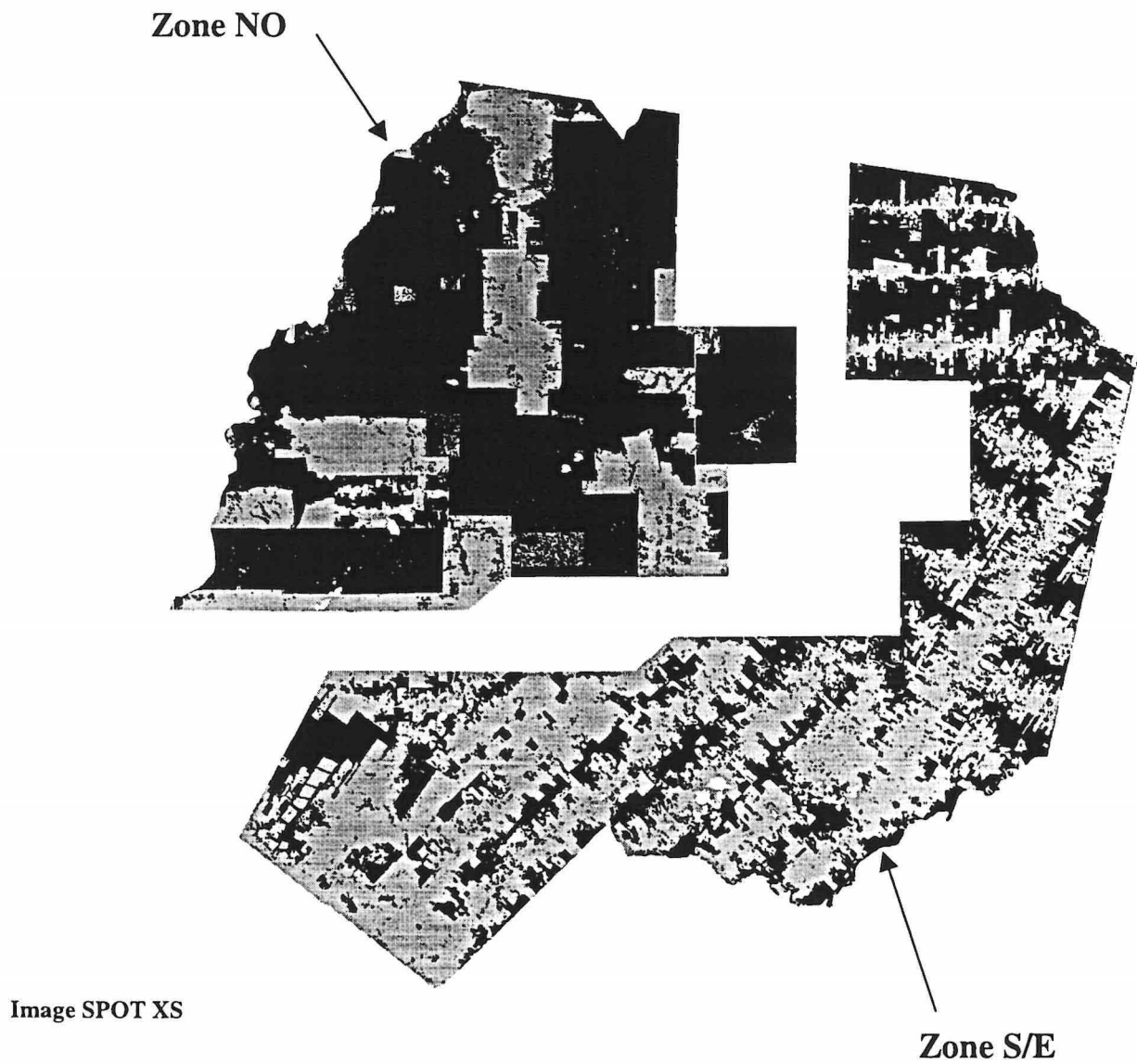
- Le motif 4 est intermédiaire. Il a les mêmes caractéristiques que le motif 3 mais la distance au plus proche voisin est plus faible (entre 50 et 60 m) : les fragments de forêt sont moins distants. Il est localisé sur des zones soit de rivière soit proche d'une rivière. La forêt est plus présente que dans le type 3 (entre 8 et 14%)

ÉTUDE SPATIO-TEMPORELLE DU  
SITE DE THEOBROMA

---

**12. Stratification de l'image du *municipio* de Theobroma pour  
l'analyse temporelle**

Stratification du *municipio* de Theobroma  
d'après l'image de 1996



Forêt

Domaine agricole

Nuages



**13. Tableau des indices calculés sur l'intégralité de l'image entre  
1973 et 1996**

Tableau des indices calculés sur l'intégralité de l'image du Municipio de Theobroma entre 1973 et 1996

Indices calculés sur les patches de "forêt" (classe 1)																			
Date	Percent of Landscape	Number of Patches	Mean Patch Size	Patch Size Coefficient of Variation	Mean Shape Index	Area-Weighted Mean Shape Index	Double Log Fractal Dimension	Mean Patch Fractal Dimension	Area-Weighted Mean Patch Fractal Dimension	Core Area Percent of Landscape	Number of Core Areas	Mean Core Area Per Patch	Patch Core Coefficient of variation	Mean Nearest-Neighbor Distance	Nearerst-neighbor Standard Deviation	Nearest-Neighbor Coefficient of Variation	Mean Proximity Index	Interspersion and juxtaposition Index	Maburon Index
	%LANDc1	NPc1	MPSc1	PSCVc1	MSIc1	AWMSIc1	DLFdc1	MPFDc1	AWMPFDc1	C%LANDc1	NCAc1	MCA1c1	CACV1c1	MNNc1	NNSDc1	NNCVc1	MP1c1	IJ1c1	M1c1
1973	99,09	3	55086,66	141,42	2,06	2,38	1,05	1,13	1,08	83,29	2	46305,81	141,42	33,33	18,86	56,57	I30183	87,53	4,84
1978	96,46	177	908,96	1325,56	1,49	4,85	1,36	1,08	1,15	72,26	3	680,91	1326,65	55,34	50,69	91,59	I378000	61,37	10,83
1987	78,49	1506	86,93	3603,2	1,5	14,68	1,47	1,08	1,26	33,78	28	37,41	3843,09	70,03	69,36	99,04	479199,28	17,06	44,97
1993	66,1	2632	41,89	4251,7	1,54	16,17	1,44	1,08	1,27	21,23	20	13,45	5050,41	67,77	72,74	107,34	269606,19	10,41	74,55
1994	62,86	2880	36,4	4262,56	1,55	17,36	1,45	1,08	1,28	15,59	23	9,03	5289,42	66,8	71,77	107,44	215000	9,07	87,19
1996	55,15	3642	25,26	4697,14	1,55	18,98	1,43	1,09	1,29	6,39	38	2,93	5955,39	70,31	77,54	110,28	158059,17	5,79	100,97
Indices calculés sur les patches de "Domaine Agricole" (Classe 2)																			
Date	Number of Patches	Mean Patch Size	Patch Size Coefficient of Variation	Mean Shape Index	Area-Weighted Mean Shape Index	Double Log Fractal Dimension	Mean Patch Fractal Dimension	Area-Weighted Mean Patch Fractal Dimension	Core Area Percent of Landscape	Mean Nearest-Neighbor Distance	Nearest-neighbor Standard Deviation	Nearest-Neighbor Coefficient of Variation	Mean Proximity Index	Interspersion and juxtaposition Index					
	NPc2	MPSc2	PSCVc2	MSIc2	AWMSIc2	DLFdc2	MPFDc2	AWMPFDc2	C%LANDc2	MNNc2	NNSDc2	NNCVc2	MP1c2	IJ1c2					
1973	13	57,46	207,28	1,75	2,48	1,22	1,08	1,12	0	1431	3487,85	243,74	14,61	0					
1978	106	48,3	232,17	1,97	3,83	1,33	1,1	1,17	0	383,17	1361,19	355,24	934,93	12,65					
1987	472	74,35	746,94	1,87	10,62	1,36	1,1	1,26	0	100,66	182,41	181,22	18247,83	7,59					
1993	748	74,55	1297,07	1,77	19,22	1,4	1,09	1,3	0,08	66,46	107,67	162	84667,66	7,03					
1994	1048	58,36	1809,97	1,72	24,19	1,4	1,09	1,32	0,08	91,21	181,32	198,79	118663,86	6,52					
1996	1659	44,62	2993,26	1,6	30,72	1,4	1,08	1,33	0,1	100,65	171,71	170,6	187314,31	8,68					
Indices calculés sur tous les patches du paysage (toutes classes confondues)																			
Date	Largest Patch Index	Number of Patches	Mean Patch Size	Patch Size Standard Deviation	Patch Size Coefficient of Variation	Landscape Shape Index	Mean Shape Index	Area-Weighted Mean Shape Index	Double Log Fractal Dimension	Area-Weighted Mean Patch Fractal Dimension	Mean Nearest-Neighbor Distance	Nearest-Neighbor Standard Deviation	Nearest-Neighbor Coefficient of Variation	Mean Proximity Index	Shannon's Diversity Index				
	LPIp	NPp	MPSp	PSSDp	PSCVp	LSp	MSIp	AWMSIp	DFLDp	AWMPFDp	MNNp	NNSDp	NNCVp	MP1p	CONTAGp				
1973	99,08	77	2166,05	18708,18	863,7	2,46	1,42	2,37	1,14	1,08	518,2	1521,3	293,55	59666,91	97,07				
1978	96,38	344	484,84	8654,04	1784,91	5,49	1,61	4,8	1,24	1,15	208,2	785,34	377,25	709327,69	91,39				
1987	72,77	2039	81,8	2705,11	3307,06	20,51	1,58	13,77	1,36	1,26	85,4	129,8	151,94	358161,19	71,17				
1993	54,7	3441	48,47	1621,54	3345,43	31,18	1,59	17,12	1,4	1,28	72,4	99,46	137,3	224626,12	63,74				
1994	49,84	3989	41,81	1425,39	3409,09	35,55	1,59	19,79	1,41	1,29	77,5	123,67	159,57	186403,44	62,15				
1996	42,87	5362	31,11	1227,98	3947,82	38,68	1,56	24,11	1,4	1,3	82,9	124,36	150,1	165313,23	60,32				

Les indices étudiés dans l'analyse sont sélectionnés en grisé.

**14. Tableau des indices calculés sur les deux zones de l'image  
entre 1973 et 1996**

**Tableau des indices calculés sur les deux zones du Municipio de Theobroma entre 1973 et 1996**

		Indices calculés sur les patches de forêt (classe 1)																																						
Année	Percent of Landscape %LANDc1	Number of Patches NPc1		Patch Density PDc1		Mean Patch Size MPSc1		Patch Size Coefficient of Variation PSCVc1		Mean Shape Index MSIc1		Area-Weighted Mean Shape Index AWMSIc1		Double Log Fractal Dimension DLFDc1		Mean Patch Fractal Dimension MPFDc1		Area-Weighted Mean Patch Fractal Dimension AWMPFDc1		Core Area Percent of Landscape C%LANDc1		Number of Core Areas NCAC1		Mean Core Area Per Patch MCAc1		Patch Core Area Coefficient of Variation CACVc1		Mean Nearest-Neighbor Distance MNNe1		Nearest-Neighbor Standard Deviation NNSDc1		Nearest-Neighbor Coefficient of Variation NNCVc1		Mean Proximity Index MPIc1		Interspersion and Juxtaposition Index IJc1		Matheron Index MIc1		
		S/E	NO	S/E	NO	S/E	NO	S/E	NO	S/E	NO	S/E	NO	S/E	NO	S/E	NO	S/E	NO	S/E	NO	S/E	NO	S/E	NO	S/E	NO	S/E	NO	S/E	NO									
1973	98,6	99,6	3	1	0	0	29499	76763	141,4	0	2,23	1,75	2,89	1,75	1,08	*	1,14	1,05	1,1	1,05	71	80	2	1	21363	61377	141	0	33	*	19	*	57	*	819412	0	97	*	2,55	1,58
1978	94,0	99,3	173	5	0,19	0,01	488	15308	1310	200	1,5	1,61	6,17	1,91	1,39	1,08	1,08	1,07	1,18	1,06	53	78	4	1	277	11963	1311	200	56	36	51	20	92	55	712700	816783	47	94	5,98	1,76
1987	68,1	90,6	1238	283	1,38	0,37	49	247	2461	1673	1,51	1,51	13,38	4,79	1,46	1,41	1,08	1,08	1,26	1,15	9	55	32	2	7	150	2960	1679	70	72	68	81	97	113	132687	262985	12	37	23,86	5,64
1993	52,7	81,7	2045	631	2,28	0,82	23	100	2387	2468	1,57	1,5	12,39	7,94	1,43	1,47	1,08	1,08	1,26	1,2	2	40	16	8	1	49	3577	2510	68	71	71	86	105	121	48903	249927	8	19	39,01	10,76
1994	49,5	78,4	2188	754	2,44	0,98	20	80	2382	2694	1,57	1,49	13,66	10,57	1,43	1,49	1,08	1,08	1,27	1,23	1	30	14	12	0	31	3359	2744	67	69	71	81	106	118	44352	237215	7	15	44,15	11,93
1996	41,2	71,4	2606	1091	2,9	1,42	14	50	1994	3212	1,57	1,51	10,57	13,98	1,41	1,5	1,09	1,08	1,25	1,26	0	13	7	31	0	9	3654	3302	72	71	79	86	110	121	16998	206928	5	8	48,31	19,41

		Indices calculés sur les patches de domaine agricole (classe 2)																														
Année	Number of Patches NPc2	Patch Density PDc2		Mean Patch Size MPSc2		Patch Size Coefficient of Variation PSCVc2		Mean Shape Index MSIc2		Area-Weighted Mean Shape Index AWMSIc2		Double Log Fractal Dimension DLFDc2		Mean Patch Fractal Dimension MPFDc2		Area-Weighted Mean Patch Fractal Dimension AWMPFDc2		Core Area Percent of Landscape C%LANDc2		Mean Nearest-Neighbor Distance MNNe2		Nearest-neighbor Standard Deviation NNSDc2		Nearest-Neighbor Coefficient of Variation NNCVc2		Mean Proximity Index MPIc2		Interspersion and Juxtaposition Index IJc2				
		S/E	NO	S/E	NO	S/E	NO	S/E	NO	S/E	NO	S/E	NO	S/E	NO	S/E	NO	S/E	NO	S/E	NO	S/E	NO	S/E	NO	S/E	NO	S/E	NO			
1973	13	0	0,01	*	57	0	207	0	1,75	*	2,48	*	1,22	*	1,08	*	1,12	*	0	0	1431	*	3488	*	244	*	15	*	0	*	0	*
1978	103	4	0,11	0,01	48	56	238	105	1,97	1,74	3,89	2,44	1,33	1,42	1,1	1,08	1,17	1,12	0	0	200	6110	292	5685	146	93	962	0	13,05	0	8,6	1,45
1987	376	117	0,42	0,15	75	60	758	412	1,87	1,84	11,53	4,62	1,37	1,32	1,1	1,1	1,27	1,19	0	0	102	144	181	336	178	233	19949	2666	8,6	5,87	1,45	1,45
1993	520	272	0,58	0,35	81	51	1294	684	1,76	1,78	21,23	6,6	1,4	1,37	1,09	1,1	1,32	1,21	0	0,17	66	99	101	343	153	346	102863	9292	7,34	5,87	1,45	1,45
1994	652	451	0,73	0,59	69	36	1643	838	1,73	1,7	25,85	7,13	1,39	1,39	1,09	1,09	1,33	1,22	0	0,17	73	114	115	240	157	211	135220	7949	6,89	5,36	1,45	1,45
1996	833	887	0,93	1,15	63	25	2515	1289	1,58	1,63	32,5	8,99	1,35	1,44	1,08	1,09	1,34	1,24	0,01	0,21	68	133	87	230	128	173	245005	11186	8,73	8,6	1,45	1,45

		Indices calculés sur tous les patches du paysage																												
Année	Largest Patch Index LPip	Number of Patches NPp		Mean Patch Size MPSp		Patch Size Standard Deviation PSSDp		Patch Size Coefficient of Variation PSCVp		Landscape Shape Index LSIp		Mean Shape Index MSIp		Area-Weighted Mean Shape Index AWMSIp		Double Log Fractal Dimension DFLDp		Area-Weighted Mean Patch fractal Dimension AWMPFDp		Mean Nearest-Neighbor Distance MNNeP		Nearest-Neighbor Standard Deviation NNSDp		Nearest-Neighbor Coefficient of Variation NNCVp		Mean Proximity Index MPIp		Contagion Index CONTAGp		
		S/E	NO	S/E	NO	S/E	NO	S/E	NO	S/E	NO	S/E	NO	S/E	NO	S/E	NO	S/E	NO	S/E	NO	S/E	NO	S/E	NO	S/E	NO			
1973	99	100	59	19	1521	4056	11421	17137	751	423	3	2	1,45	1,39	2,88	1,74	1,17	1,08	1,1	1,05	536	459	1729	316	322	69	41721	27	96	98
1978	94	99	319	27	281	2854	4708	14449	1674	506	7	2	1,62	1,47	6,02	1,91	1,26	1,13	1,18	1,06	135	1218	228	3107	168	247	386832	151275	87	98
1987	45	90	1657	418	54	184	1084	3399	2003	1844	24	6	1,59	1,59	12,73	4,77	1,37	1,32	1,26	1,16	83	109	123	217	148	200	103663	178797	64	83
1993	27	80	2608	921	34	84	676	2048	1964	2447	34	11	1,60	1,58	16,47	7,67	1,4	1,38	1,29	1,21	71	87	93	211	131	243	58857	173976	59	74
1994	29	77	2883	1223	31	63	683	1706	2195	2707	37	14	1,60	1,57	19,69	9,81	1,4	1,4	1,3	1,23	72	91	96	171	133	188	64242	149179	58	71
1996	51	69	3482	1996	26	39	810	1216	3144	3150	37	18	1,57	1,56	23,3	12,53	1,38	1,44	1,3	1,26	74	102	92	175	125	172	71335	118077	59	67

Les indices étudiés dans l'analyse sont sélectionnés en grisé.